

JAERI-M

8 2 4 0

超プルトニウム元素の大規模製造  
(群分離法検討資料・I)

1979年5月

館 盛 勝 一

日本原子力研究所  
Japan Atomic Energy Research Institute

この報告書は、日本原子力研究所が JAERI-M レポートとして、不定期に刊行している研究報告書です。入手、複製などのお問合せは、日本原子力研究所技術情報部（茨城県那珂郡東海村）あて、お申しこしください。

JAERI-M reports, issued irregularly, describe the results of research works carried out in JAERI. Inquiries about the availability of reports and their reproduction should be addressed to Division of Technical Information, Japan Atomic Energy Research Institute, Tokai-mura, Naka-gun, Ibaraki-ken, Japan.

超プルトニウム元素の大規模製造  
(群分離法検討資料・I)

日本原子力研究所アイソトープ事業部製造部  
館 盛 勝 一

(1979年4月16日受理)

原子炉内中性子利用による超プルトニウム元素の製造は、原子炉周辺の各種技術と化学分離法との結合によって遂行されてきた。本調査資料は、主として後者に関心を持ってまとめたものである。すなわち、Pu, Am, Cm 等のアクチノイド元素と核分裂生成物の混合体から、主として Pu, Am および Cm を分離回収する方法は、再処理高レベル廃液に含まれるそれらの元素を大量の核分裂生成物から分離回収する言わゆる群分離法にも応用できる可能性がある。そのような観点から、こゝでは、各国で行われた比較的スケールの大きい超プルトニウム元素製造を歴史的にあるいは化学分離プロセスに的を絞ってまとめた。最後に、それらの方法の群分離法への適応性についても検討を加えた。

Separation methods used for large-scale production of transplutonium elements - Literature survey of the chemical processes of partitioning transplutonium elements in the high-level liquid wastes of fuel reprocessing ( I )-

Shoichi TACHIMORI  
Division of Radioisotope Production,  
Radioisotope Center, JAERI

(Received April 16, 1979)

The production of transplutonium elements by fission reactor in countries of the world is by combination of reactor technology and chemical engineering. A review is made of the chemical processes for production of transplutonium elements on a large scale from neutron-irradiated actinoids; first, historical progress of the production in macro quantities of transplutonium elements in the world, and then the principal processes developed in respective countries and organizations. Finally, these methods are discussed with emphasis placed on the possibility of application to the partitioning of high-level liquid wastes in fuel reprocessing.

KEY WORDS: Transplutonium Elements, Large-Scale Production, Americium, Curium, Californium, Solvent Extraction, Ion Exchange, Lanthanoids, Waste Partitioning.

## 目 次

はじめに .....	1
1. 総 論 .....	2
2. 化学分離法 .....	17
2.1 米 国 .....	17
2.1.1 ANL 計画 .....	17
2.1.2 サバンナリバー計画 .....	17
2.1.3 ORNL 計画 .....	25
2.1.4 Rocky Flats Plant .....	41
2.1.5 アルゴンヌ国立研究所 .....	49
2.2 ソ連邦 .....	51
2.3 European Atomic Energy Community (Euratom) .....	55
2.3.1 Mol 原子力研究所 .....	55
2.3.2 European Transuranium Institute .....	55
2.4 西ドイツ .....	61
2.5 フランス .....	71
2.6 日 本 .....	79
3. まとめ .....	81
むすび .....	88
謝 辞 .....	88
引用文献 .....	84

## Contents

Preface .....	1
1. Introduction .....	2
2. Separation methods .....	17
2.1 USA .....	17
2.1.1 The ANL Program .....	17
2.1.2 The Savannah River Program .....	17
2.1.3 The ORNL Program .....	25
2.1.4 Rocky Flats Plant .....	41
2.1.5 Argonne National Laboratory .....	49
2.2 USSR .....	51
2.3 European Atomic Energy Community (Euratom) .....	55
2.3.1 Centre d'Etudes de l'Energie Nucleaire C.E.N.(Mol) ..	55
2.3.2 European Transuranium Institute (Karlsruhe) .....	55
2.4 West Germany .....	61
2.5 France .....	71
2.6 Japan .....	79
3. Summary discussion .....	81
Conclusive remarks .....	88
Acknowledgment .....	88
References .....	84

## はじめに

核燃料サイクルで発生する多様でかつ大量の放射性廃棄物の処理処分の問題は、原子力エネルギー利用が進むにつれ、益々緊要な課題となっている。中でも、極めて寿命が長く、危険性の大きい超ウラン元素の発生は、問題の解決を困難なものにしている。

製造部では、再処理高レベル廃液（HLW）中に含まれるアクチノイド元素（特にPu, Am, Cm）および長寿命FP核種（<sup>137</sup>Cs, <sup>90</sup>Sr）の群分離処理法の開発を行っているが、その化学処理法は、簡潔性、効率性、確実性、安定性、経済性、そして安全性等の面で極めて厳しい条件が要求される。例えば、化学処理に伴なうriskの増大は、群分離処理不要論の根拠ともなり得る。

そういう理由から、諸外国でも多種類の化学分離法が開発、検討されており、特定の方法に結論が絞られていないのが現状である。HLW処理の困難性の1つにその化学組成の複雑さが挙げられる。HLWの中にはイオン状態ばかりではなく、沈殿、コロイド状態で存在する元素もある。

しかしながら、欧米における精力的努力から推察して、1980年代前半には、何らかの評価、すなわち、有力な化学プロセスの判定、あるいは研究開発を続行する必要性の有無等の提起がなされるであろう。

同様に我国においても、近い将来、現在行っている有機リン酸エステルによる溶媒抽出法およびイオン交換法を基本に、諸外国における他の方法をも、比較、評価しなければならない。欧米諸国では、今迄にすでに高レベル放射性物質をプラント規模で取扱った豊富な経験を有し、そこから得られた教訓は分離法の比較評価および群分離システムの実用性評価に生かされるであろう。他方、我国はその面では残念ながら遅れている。

以上の認識の上に立ち、今後の検討に役立てる事を目的に、過去において、原子力分野である程度大きなスケールで実施されたことのある化学分離法（主として超プルトニウム元素）を調査し、本資料を作成した。

すなわち、第Ⅰ編では、超プルトニウム元素の大量製造を目的として各国で開発された分離プロセスについて述べる。また、第Ⅱ編では、主として高レベル廃液の処理目的を絞り、かつ、分離法を分類しながら群分離プロセスとして提案されているものも含めてまとめる。

第Ⅰ編で述べる超プルトニウム元素製造法は、もちろん、HLWの処理といくつかの点で異なる。例えば、試料の組成（Pu, 希土類元素、超Pu元素、ターゲットマトリックス物質）、必要な収率と純度等は明らかに異なる。しかしながら、アクチノイド元素を分離するという共通の目的と、高レベルの放射線吸収を伴なう事、遠隔操作が必要な事、溶媒抽出法等共通の分離手段が多い等、参考になる面も多いと考えられる。

## 1. 総 論

超プルトニウム元素 (TPE) を得る方法には、加速器による荷電粒子反応、核爆発による中性子吸収反応、原子炉による中性子吸収反応等の利用がある。TPEを大量に得るために、原子炉で<sup>239</sup>Puを照射する方法がとられている。こゝでは、原子炉によるTPEの製造についてのみ述べる。

Fig. 1-1 に<sup>239</sup>Puに始まるTPE生成経路を示した。各ルートの矢印の下には中性子吸収反応断面積:  $\sigma_n$  (バーン) を記した。また核分裂反応断面積:  $\sigma_f$  も核種の右上方に矢印で記した。<sup>239</sup>Puは熱中性子を吸収すると、核分裂をする (742 b) か、<sup>240</sup>Puになる (271 b)。かくして、<sup>239</sup>Puを原子炉で照射すると、<sup>239</sup>Pu および<sup>241</sup>Pu の大きい  $\sigma_f$  によって<sup>242</sup>Pu が生成する迄に 90 ~ 95 % の Pu 元素が損失する。核分裂反応は発熱量が大きいことから、まず、熱除去効率の大きい Pu-Al 合金を比較的低い熱中性子束 ( $3 \times 10^{14} \text{ n} \cdot \text{cm}^{-2} \cdot \text{sec}^{-1}$ ) の原子炉で照射し (~40 KW/g), 核分裂を十分終えてから<sup>242</sup>Pu rich の Puを回収し、そのPuをターゲットとして高い中性子束 (~ $10^{16} \text{ n} \cdot \text{cm}^{-2} \cdot \text{sec}^{-1}$ ) の原子炉で照射する。その際のターゲットにはPuO<sub>2</sub> が用いられる。PuO<sub>2</sub> は高中性子束での長時間照射に耐える。

Fig. 1-2 には<sup>239</sup>Puを照射した時の Pu の同位体組成変化およびTPEの生成量を示す。<sup>1), 2)</sup> また、<sup>3), 4)</sup> <sup>242</sup>Pu の照射量 (時間) と種々のTPE生成量の関係を Fig. 1-3, Tab. 1-1 に示した。これらの図表からわかるように、例えば 10 g の<sup>242</sup>Pu を 1 年間照射しても得られる Cm 以上の元素の量は 1 mg 以下と極めて少ない。そこで、照射済み Pu ターゲットから分離した Am (<sup>243</sup>Am が多い)<sup>1)</sup> および Cm (<sup>244</sup>Cmが多い) を再度照射すれば、Cf, Es, Fm 等の重い TPE が多く得られる (Figs. 1-4, 1-5)。<sup>252</sup>Cf を再照射すれば比較的重い Fm が多く生成する (Fig. 1-6)。

<sup>241</sup>Am ( $T_{1/2} = 433$  年) は、<sup>241</sup>Pu の  $\beta^-$  壊変 ( $T_{1/2} = 14.3$  年) により生成するので、大量の Pu を生産貯蔵している施設では、Puの精製あるいは<sup>241</sup>Am の製造のために分離が行われている。例えば<sup>241</sup>Pu 10 g を 10 年間放置すると 4 g の<sup>241</sup>Am が生成する。米国の ERDA 関連施設 (Rocky Flats, Hanford, Los Alamos, Savannah River) では、このような<sup>241</sup>Amを年間 5 ~ 10 kg 分離している。<sup>241</sup>Am を  $10^{14} \text{ n} \cdot \text{cm}^{-2} \cdot \text{sec}^{-1}$  の原子炉で ~ $10^{21} \text{ n} \cdot \text{cm}^{-2}$  遼照射すると、<sup>242</sup>Cm に富んだ Cm が得られる (Fig. 1-7)。<sup>242</sup>Cm は比出力が  $120 \text{ Wg}^{-1}$  と高いので原子力電池用熱源として極めて有用である。

TPEの製造で知られる高中性子束炉には、オークリッジ国立研究所 (ORNL) の High Flux Isotope Reactor (HFIR,  $\phi_{th} = 3 \times 10^{15} \text{ n} \cdot \text{cm}^{-2} \cdot \text{sec}^{-1}$ ), サバンナリバー研究所の Pu 生産炉における High Flux Lattice ( $\phi_{th} = 5 \times 10^{16} \text{ n} \cdot \text{cm}^{-2} \cdot \text{sec}^{-1}$ ) およびソ連の原子炉科学研究所 (NIIAR) の SM-2原子炉 ( $\phi_{th} = 5 \times 10^{16} \text{ n} \cdot \text{cm}^{-2} \cdot \text{sec}^{-1}$ ) がある。Fig. 1-8, 1-9 に HFIR および SRP の High Flux Lattice の図を示す。<sup>5), 6)</sup>

原子炉によるTPEの製造実験は米国において開始された。すなわち、1944年 Fermi らは<sup>239</sup>Pu (CW サンプル) の長時間照射を Hanford 炉において行った。次いで、1948年から1950年にかけてアルゴンヌ国立研究所 (ANL) のグループが ANL, Hanford, Chalk River など

の原子炉で Pu の照射を行った。これらの実験では、中性子束が  $10^{13}$  オーダと低かったため、  
 $^{244}\text{Cm}$  までの核種の生成が確認されたにとどまった。1952年9月、Idaho にて MTR ( $\phi_{th} = 3 \times 10^{14} \text{n} \cdot \text{cm}^{-2} \cdot \text{sec}^{-1}$ ) が完成すると、ANL グループは Bk, Cf 等の重元素の製造計画を開始した。最初に Pu-Al 合金ターゲット (ナプキン環) が照射された。約 8 g の  $^{239}\text{Pu}$  の照射で ~200 mg の  $^{244}\text{Cm}$ , 100 mg の  $^{243}\text{Am}$ , 10  $\mu\text{g}$  の  $^{249}\text{Bk}$ , 20  $\mu\text{g}$  の  $^{252}\text{Cf}$  そして極微量の  $^{253},^{254}\text{Es}$  と  $^{254},^{255}\text{Fm}$  が得られた。続いて 1956 年 12 月から Pu-Al 合金 (shim rod) が装荷され、78 g の  $^{239}\text{Pu}$  の 2 年間照射により 1.3 g の  $^{243}\text{Am}$  と 0.7 g の Cm が製造され、ローレンス放射線研究所 (LRL) に送られた。LRL は 1958 年に  $^{241}\text{Am}$  約 10 g をアイダホの MTR 炉に装荷し、数年間照射後化学分離を行った。照射済  $^{241}\text{Am}$  の一部は Euratom に送られた。<sup>5), 9), 10)</sup>

1959 年、USAEC は超プルトニウム元素製造計画を作成し、それに沿ってサバンナリバー (SRP) の生産炉では 8.5 kg の  $^{239}\text{Pu}$  の照射が開始された (Transplutonium-I)。<sup>11)</sup> 1961 年からは約 12 kg の  $^{239}\text{Pu}$  が続いて装荷された (Transplutonium-II)。Fig. 1-10 には、1952 年から現在に到る米国の主な TPE 生産計画を示した。図の最下段には、核爆発による製造計画も併せて載せてある。

1964 年、上記約 20 kg の照射済 Pu から約 930 g の  $^{242}\text{Pu}$ , 300 g の  $^{243}\text{Am}$  と 330 g の  $^{244}\text{Cm}$ <sup>12)</sup> の混合液が分離回収された (S.R. Lab.)。この Am-Cm 溶液の一部は ORNL の Curium Recovery Facility (CRF) に送られ、SNAP 用熱源に供するために 1964 年から 1965 年にかけて 35 g の  $^{244}\text{Cm}$ <sup>13)</sup> と 30 g の  $^{243}\text{Am}$  が分離された。この ORNL - キュリウム計画では、上記の他にアイダホの MTR と ORNL の ORR で照射した  $^{241}\text{AmO}_2$ -Al サーメットから 25 g の  $^{242}\text{Cm}$  も製造している。

1963 年から、SRP において SNAP 用熱源に用いる  $^{244}\text{Cm}$  を 3 kg 以上製造するための 2 つのキャンペーンが実施された。それらは、それぞれ Cm-I, Cm-II と呼ばれている。Fig. 1-11<sup>2), 14)</sup> に計画の概略を示した。Cm-II のために、high flux lattice の実験が行われ、最高  $5.4 \times 10^{15} \text{n} \cdot \text{cm}^{-2} \cdot \text{sec}^{-1}$  の中性子束密度が得られた (1965 年)。Table 1-2 にて、Cm-I, Cm-II で処理された Pu および Am, Cm の量とそれらの同位体組成を示した。Cm-II で分離回収された  $^{252}\text{Cf}$  の量は約 8.8 mg であった。

米国では、 $^{252}\text{Cf}$  の有用性が認識されると共に、その大量製造 (グラム量) と利用および市場の拡大を目指す計画が立案され、それに沿って ORNL にて HFIR と Transuranium Processing Plant (TRU) が建設され、1966 年から、HFIR でのターゲット照射と TRU における製造運転が開始された。

一方、SRP でも上記計画に合わせて Cf-I キャンペーンが開始された (1969 年)。すなわち、Pu 生産炉に新たに high flux lattice (Cf-I) が組まれ、Cm-II で得られた試料 ( $^{242}\text{Pu}$ : 7.6 kg,  $^{248}\text{Am}$ : 640 g,  $^{244}\text{Cm}$ : 680 g) が 16 ヶ月間照射された。その結果、約 2 g の  $^{252}\text{Cf}$  が生成したと見積られている。そのうちの 1 部 (約 0.7 g) は TRU に送られ分離された。残りは SRP の通常の低中性子束部で引き続き照射しながら  $^{252}\text{Cf}$  の減衰を補償し、需要に応じてターゲットを取り出し、TRU で分離された (1976 年迄の需要を満す)。

SRP では、その他に Cf 製造用原料 (核種) を得る目的で Pu Burning Program を開始した。<sup>11)</sup> すなわち、 $^{239}\text{Pu}$  を通常の生産炉で長期間照射し、 $^{242}\text{Pu}$ ,  $^{243}\text{Am}$ ,  $^{244}\text{Cm}$  を大量に製造した。以上

の様にして、SRPには<sup>252</sup>Cf 製造用の原料核種が種々の形態で大量に蓄積されている。Table 1-3 に 1975 年現在の Cm 元素の貯蔵量 (Cf-I で得られたものも含む) を示す。同様に、分離されていない他の原料核種 (低品位) の量も Table 1-4 に示した。

HFR では、SRP で得られた良質 (質量の大きな) の Cm をターゲットとして用いることにより、効率良く Cf, Es, Fm を得ている。良質の Cm 貯蔵量から推定された<sup>252</sup>Cf の生産量は、合計 40~125 g となっている。

米国では、1971 年 2 月から<sup>252</sup>Cf の販売供給を開始した。TRU における各種 TPE の生産量を Table 1-5 に示す。製品としての<sup>252</sup>Cf は、最大 1000 ppm の<sup>244</sup>Cm と、Cf と同量のアクチノイド及び希土類元素を含み、非放射性元素の含有量は Cf の約 4 倍となっている。Cf の同位体組成は時間と共に変化するが、1 例では、<sup>252</sup>Cf : 79 wt. %, <sup>250</sup>Cf : 14 wt. %, <sup>251</sup>Cf : 4 wt. %, <sup>249</sup>Cf : 2 wt. % となっている。<sup>252</sup>Cf の需要は増加しつゝあるが、TRU の<sup>252</sup>Cf 处理容量は 1.5~2.0 g/年とされている。

SRP では<sup>252</sup>Cf の製造量を増加する目的で、新たな化学プラント、Multipurpose Processing Facility (MPPF) を建設した。この施設は、20 g/年の<sup>252</sup>Cf 处理容量を有する。

High flux キャンペーン方式による TPE 製造はコストも高くついており、SRP では、共鳴エネルギー領域の中性子による TPE 生成を利用し、通常の生産炉を多目的に使用しながら TPE を製造する方法を開発し、低コストの<sup>252</sup>Cf を生産している。

ソ連では、NIIAR において MIR 原子炉 ( $\phi_{th} = 3 \times 10^{14} n \cdot cm^{-2} \cdot sec^{-1}$ )<sup>16), 17)</sup> と SM-2 戸とによるミリグラム量の<sup>252</sup>Cf の製造が行われた。すなわち、MIR で<sup>239</sup>Pu を照射し、得られた<sup>242</sup>Pu,<sup>241, 242</sup>Am, <sup>244</sup>Cm (合計 200 g) の酸化物 - Al サーメットを SM-2 で照射した。化学処理は、Kurchatov 原子力研究所で行われ、数百 μg の<sup>249</sup>Bk, 数 μg の<sup>253</sup>Es も分離された。

ユーラトムでは、米国の MTR で 5 年間照射した ( $5.3 \times 10^{22} nvt$ )<sup>18)</sup> 2.5 g の<sup>241</sup>Am (サーメットスラッグ 50 g) を譲り受け、1965 年にベルギーの Mol 研究所で化学分離を行った。その結果、25 μg の<sup>252</sup>Cf と 0.7 μg の<sup>249</sup>Bk を回収した。

フランスでは、約 21 g の<sup>239</sup>Pu を含む Pu-Al 合金をサクレーの EL-3 原子炉 ( $\phi_{th} = 8 \times 10^{18} n \cdot cm^{-2} \cdot sec^{-1}$ )<sup>19)</sup> で 3.5 年間照射し ( $5 \times 10^{21} nvt$ ), 2.5 年間冷却後、1966 年から Fontenay-aux-Roses<sup>20), 21)</sup> で化学処理した。その結果、150 mg の Am と 15 mg の<sup>244</sup>Cm が分離された。

西ドイツの Karlsruhe 研究所では、Actinide-Project が立案され、約 4 年間開発研究が進められたが、途中で中止した。しかしながら、Pu と Am の原子炉での照射および溶解、化学分離法の開発等でいくつかの成果を上げた。

以上が欧米における主な超プルトニウム製造計画であるが、我国においては大規模な計画は現在迄見当らない。原研の上野らは、少量の<sup>241</sup>Am を JMTR ( $\phi_{th} = 2 \times 10^{14} n \cdot cm^{-2} \cdot sec^{-1}$ )<sup>22), 23)</sup> で約 1 年間照射し、<sup>252</sup>Cf, <sup>249</sup>Bk 等を検出した。

次節では、これらの各国で試された結果について、化学分離法に注目しながらやや詳細に述べる。

TABLE I-1  
Production of High Mass Nuclides by Irradiation of  $^{242}\text{Pu}$   
at a Flux of  $3 \times 10^{15} \text{ n}/(\text{cm}^2\text{-sec})$

Fluence, $10^{22} \text{ n/cm}^2$	Days	Atoms Produced per Atom Irradiated							
		$242_{\text{pu}}$	$244_{\text{pu}}$	$241_{\text{Am}}$	$242_{\text{Am}}$	$243_{\text{Am}}$	$242_{\text{Cm}}$	$243_{\text{Cm}}$	$244_{\text{Cm}}$
0	0	1.00	0	0	0	0	0	0	0
2	77	0.566	$0.173^{-2}\text{a}$	$0.547^{-7}$	$0.106^{-8}$	0.154	$0.868^{-7}$	$0.133^{-8}$	0.226
4	154	0.290	$0.284^{-2}$	$0.121^{-6}$	$0.237^{-8}$	0.113	$0.432^{-6}$	$0.746^{-8}$	0.395
6	232	0.131	$0.349^{-2}$	$0.139^{-6}$	$0.274^{-8}$	0.646 $^{-1}$	$0.770^{-6}$	$0.138^{-7}$	0.421
8	309	$0.542^{-1}$	$0.384^{-2}$	$0.124^{-6}$	$0.243^{-8}$	0.313 $^{-1}$	$0.935^{-6}$	$0.170^{-7}$	0.358
10	386	$0.214^{-1}$	$0.400^{-2}$	0.941 $^{-7}$	$0.185^{-8}$	0.135 $^{-1}$	$0.920^{-6}$	$0.170^{-7}$	0.265
12	463	$0.834^{-2}$	$0.405^{-2}$	$0.644^{-7}$	$0.127^{-8}$	0.549 $^{-2}$	$0.789^{-6}$	$0.146^{-7}$	0.178
14	540	$0.330^{-2}$	$0.402^{-2}$	$0.410^{-7}$	$0.808^{-9}$	0.219 $^{-2}$	$0.614^{-6}$	$0.115^{-7}$	0.111
16	617	$0.134^{-2}$	$0.397^{-2}$	$0.247^{-7}$	$0.488^{-9}$	0.883 $^{-3}$	$0.445^{-6}$	$0.834^{-8}$	0.665 $^{-1}$
18	694	$0.572^{-3}$	$0.388^{-2}$	$0.144^{-7}$	$0.285^{-9}$	0.367 $^{-3}$	$0.306^{-6}$	$0.575^{-8}$	0.385 $^{-1}$
20	772	$0.255^{-3}$	$0.378^{-2}$	$0.821^{-8}$	$0.162^{-9}$	0.159 $^{-3}$	$0.202^{-6}$	$0.380^{-8}$	0.218 $^{-1}$

a. Exponents are powers of ten by which number is to be multiplied.

TABLE 1-1 ( continued )

$10^{22} \text{ n/cm}^2$	Fluence, Days	Atoms Produced per Atom Irradiated									
		247 Cm	248 Cm	249 Cm	249 Bk	250 Cf	251 Cf	252 Cf	254 Es	257 Fm <sup>b</sup>	259 Md <sup>c</sup>
0	0	0	0	0	0	0	0	0	0	0	0
2	77	0.100 <sup>-3</sup>	0.270 <sup>-4</sup>	0.164 <sup>-6</sup>	0.805 <sup>-9</sup>	0.125 <sup>-6</sup>	0.288 <sup>-7</sup>	0.142 <sup>-6</sup>	0.108 <sup>-11</sup>	0.1 <sup>-16</sup>	0.1 <sup>-20</sup>
4	154	0.554 <sup>-3</sup>	0.346 <sup>-3</sup>	0.232 <sup>-5</sup>	0.123 <sup>-7</sup>	0.194 <sup>-5</sup>	0.459 <sup>-6</sup>	0.495 <sup>-5</sup>	0.636 <sup>-10</sup>	0.6 <sup>-15</sup>	0.6 <sup>-19</sup>
6	232	0.116 <sup>-2</sup>	0.120 <sup>-2</sup>	0.826 <sup>-5</sup>	0.450 <sup>-7</sup>	0.710 <sup>-5</sup>	0.169 <sup>-5</sup>	0.280 <sup>-4</sup>	0.429 <sup>-9</sup>	0.4 <sup>-14</sup>	0.4 <sup>-18</sup>
8	309	0.172 <sup>-2</sup>	0.254 <sup>-2</sup>	0.178 <sup>-4</sup>	0.981 <sup>-7</sup>	0.155 <sup>-4</sup>	0.371 <sup>-5</sup>	0.815 <sup>-4</sup>	0.136 <sup>-8</sup>	0.1 <sup>-13</sup>	0.1 <sup>-17</sup>
10	386	0.215 <sup>-2</sup>	0.420 <sup>-2</sup>	0.297 <sup>-4</sup>	0.165 <sup>-6</sup>	0.261 <sup>-4</sup>	0.625 <sup>-5</sup>	0.169 <sup>-3</sup>	0.295 <sup>-8</sup>	0.3 <sup>-13</sup>	0.3 <sup>-17</sup>
12	463	0.242 <sup>-2</sup>	0.598 <sup>-2</sup>	0.426 <sup>-4</sup>	0.237 <sup>-6</sup>	0.375 <sup>-4</sup>	0.901 <sup>-5</sup>	0.284 <sup>-3</sup>	0.513 <sup>-8</sup>	0.5 <sup>-13</sup>	0.5 <sup>-17</sup>
14	540	0.253 <sup>-2</sup>	0.769 <sup>-2</sup>	0.550 <sup>-4</sup>	0.307 <sup>-6</sup>	0.486 <sup>-4</sup>	0.117 <sup>-4</sup>	0.418 <sup>-3</sup>	0.772 <sup>-8</sup>	0.8 <sup>-13</sup>	0.8 <sup>-17</sup>
16	617	0.254 <sup>-2</sup>	0.920 <sup>-2</sup>	0.660 <sup>-4</sup>	0.369 <sup>-6</sup>	0.585 <sup>-4</sup>	0.141 <sup>-4</sup>	0.557 <sup>-3</sup>	0.105 <sup>-7</sup>	0.11 <sup>-12</sup>	0.11 <sup>-16</sup>
18	694	0.246 <sup>-2</sup>	0.105 <sup>-1</sup>	0.751 <sup>-4</sup>	0.421 <sup>-5</sup>	0.668 <sup>-4</sup>	0.160 <sup>-4</sup>	0.692 <sup>-3</sup>	0.132 <sup>-7</sup>	0.13 <sup>-12</sup>	0.13 <sup>-16</sup>
20	772	0.233 <sup>-2</sup>	0.114 <sup>-1</sup>	0.822 <sup>-4</sup>	0.461 <sup>-6</sup>	0.731 <sup>-4</sup>	0.176 <sup>-4</sup>	0.814 <sup>-3</sup>	0.156 <sup>-7</sup>	0.16 <sup>-12</sup>	0.16 <sup>-16</sup>

b. Estimated by assuming  $1 \times 10^{-5}$  atoms  $257_{\text{Fm}}$  produced per atom  $254_{\text{Es}}$  produced.

c. Estimated by assuming  $1 \times 10^{-4}$  atoms  $259_{\text{Md}}$  produced per atom  $257_{\text{Fm}}$  produced.

Table 1-2

The isotopic compositions of the Pu, Am and Cm processed in the Cm-I and Cm-II campaigns (Atom-%).

	Cm-I	Cm-II		Cm-I	Cm-II
Plutonium	* 65.4 kg	* 9.7 kg	Curium	* 130 g	* 5.9 kg
Pu-238	-	0.156 %	Cm-242	~ 30 %	0.40 %
239	22.4 %	0.025	244	~ 70	94.97
240	49.9	1.19	245	-	0.70
241	15.1	0.102	246	-	3.8
242	12.6	98.17	247	-	0.063
244	-	0.180	248	-	0.060
Americium					
	* 1.1 kg	* 2.7 kg			
Am-241					
	36 %	< 1 %			
Am-243					
	64	> 99			

\* Quantities of actinides processed.

Table 1-3

USAEC stockpile of high-grade  $^{252}\text{Cf}$  intermediates (normalized to FY 1975 irradiation campaign).

Nuclide	Grams
$^{244}\text{Cm}$	1413.4
$^{245}\text{Cm}$	24.2
$^{246}\text{Cm}$	817.6
$^{247}\text{Cm}$	25.2
$^{248}\text{Cm}$	57.9
	2338.3
( $\bar{A} = 244.84$ )	

Table 1-4

Backup stockpile of low-grade  $^{252}\text{Cf}$  intermediates (unseparated).

Nuclide	Grams
Pu (55% $^{242}\text{Pu}$ )	59,400
$^{241}\text{Am}$	526
$^{243}\text{Am}$	5,176
$^{244}\text{Cm}$	2,364
$^{246}\text{Cm}$	47

Table 1-5 Production of key isotopes at TRU.

Fiscal Year	$^{242}\text{Pu}$ (g)	$^{243}\text{Am}$ (g)	$^{244}\text{Cm}$ (g)	$^{249}\text{Bk}$ (mg)	$^{252}\text{Cf}$ (mg)	$^{253}\text{Es}$ (μg)	$^{257}\text{Fm}$ (pg)
67	87	25	134	0.34	5.6	14	0
68	0	188	212	0.05	0.5	0	0
69	15	5	57	2.2	15	98	0.07
70	8	13	72	7.6	52	369	0.19
71	10	3	439	37	284	714	0.72
72	16	3	350	66	513	945	0.85
73	5	4	240	49	428	1551	1.25
74	0	2	87	39	386	2169	1.5
75	0	3	104	75	717	3750	1.9
76	0	2	50	29	277	1700	0.7
77				82	781	3500	1.5
Total	141	248	1745	387	3459	14810	8.7

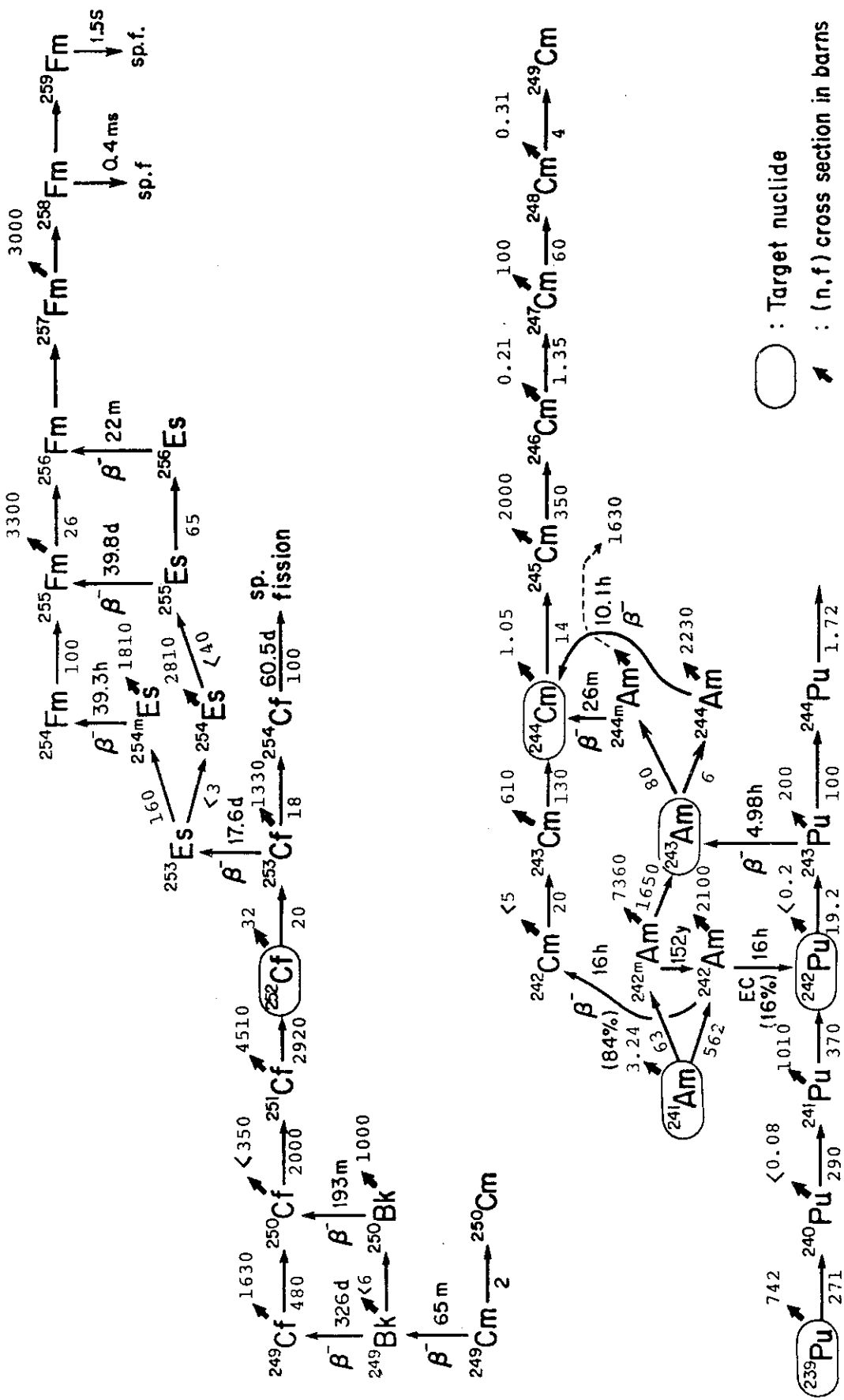


Fig. 1-1 Principal production routes showing buildup to higher isotopes and losses where fission occurs

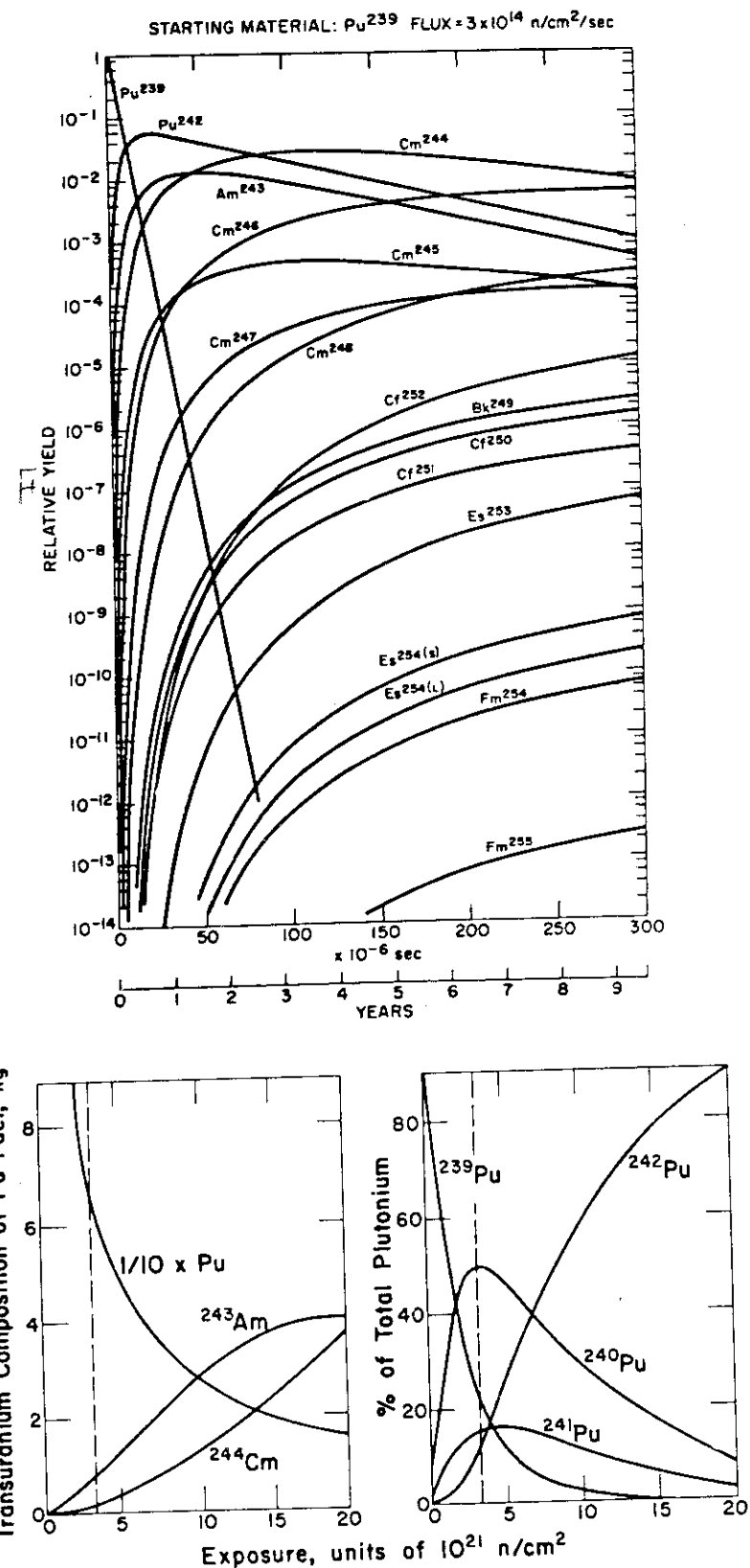


Fig. 1-2 Yield of isotopes from irradiation of  $^{239}\text{Pu}$ .

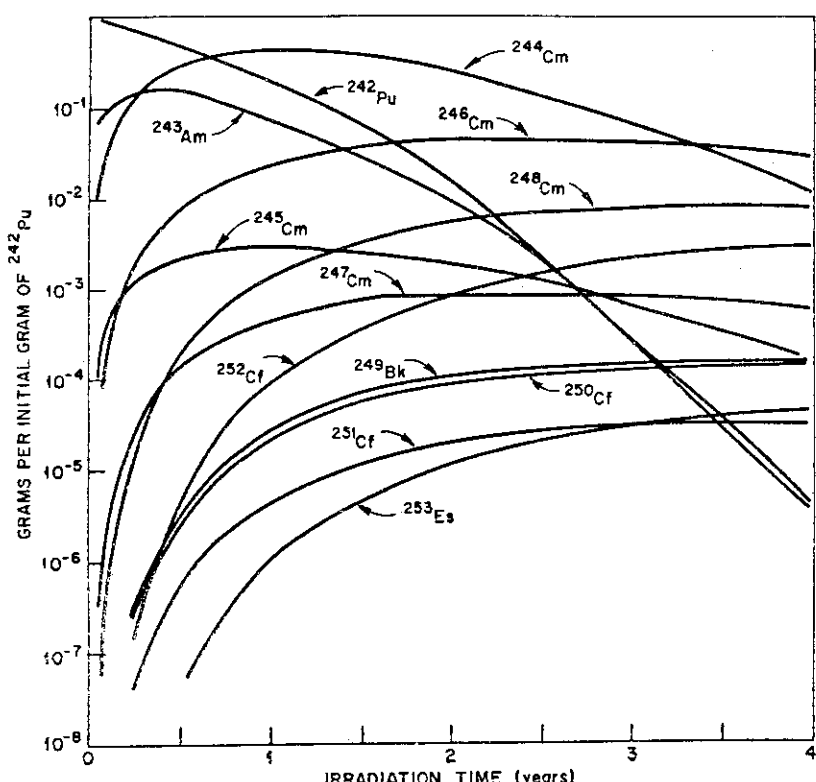


Fig. 1-3 Transplutonium elements produced by irradiation of  $^{242}\text{Pu}$  in the High Flux Isotope Reactor.

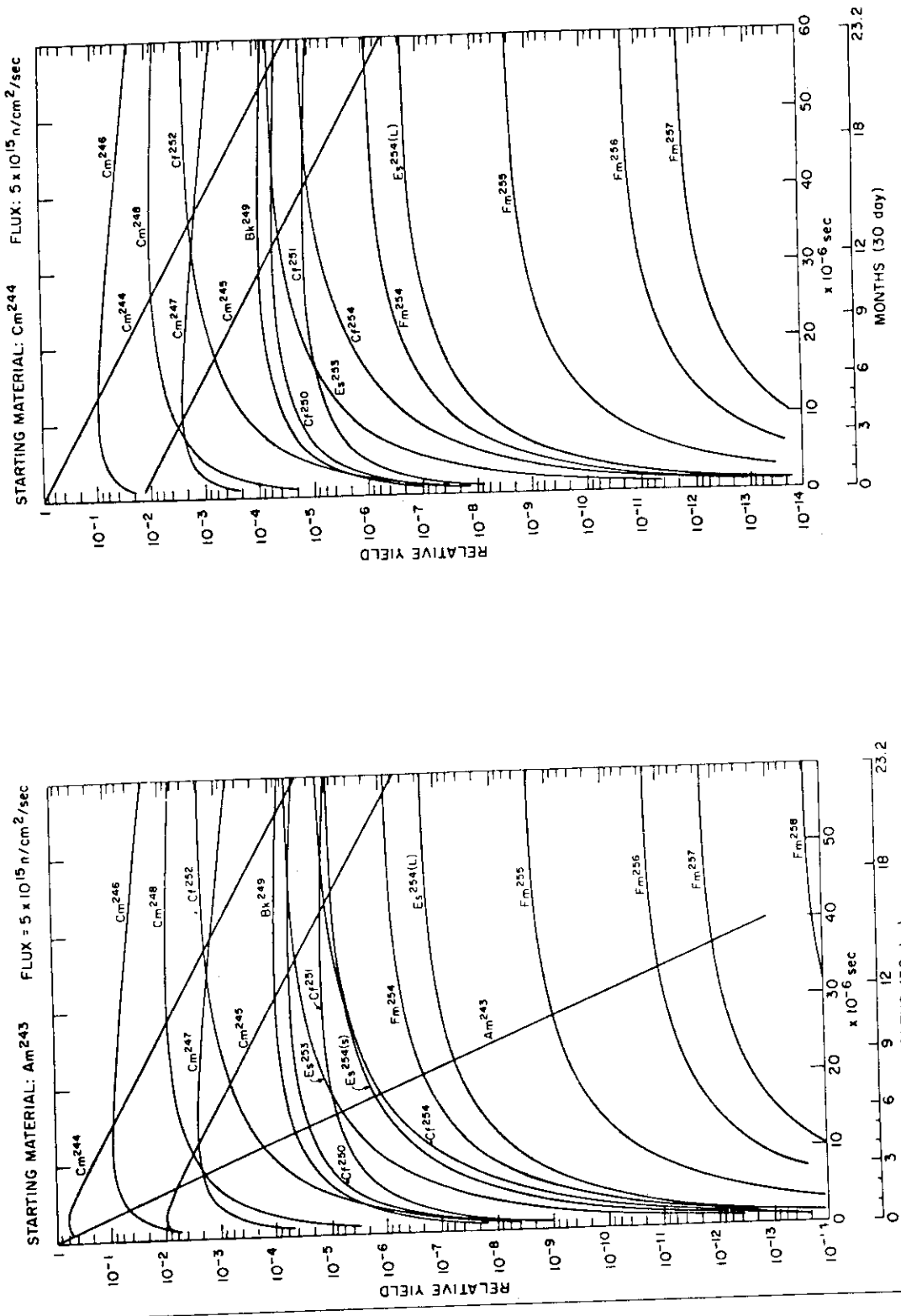


Fig. 1-5 Yield of isotopes from irradiation of  $244\text{Cm}$ .

Fig. 1-4 Yield of isotopes from irradiation of  $243\text{Am}$ .

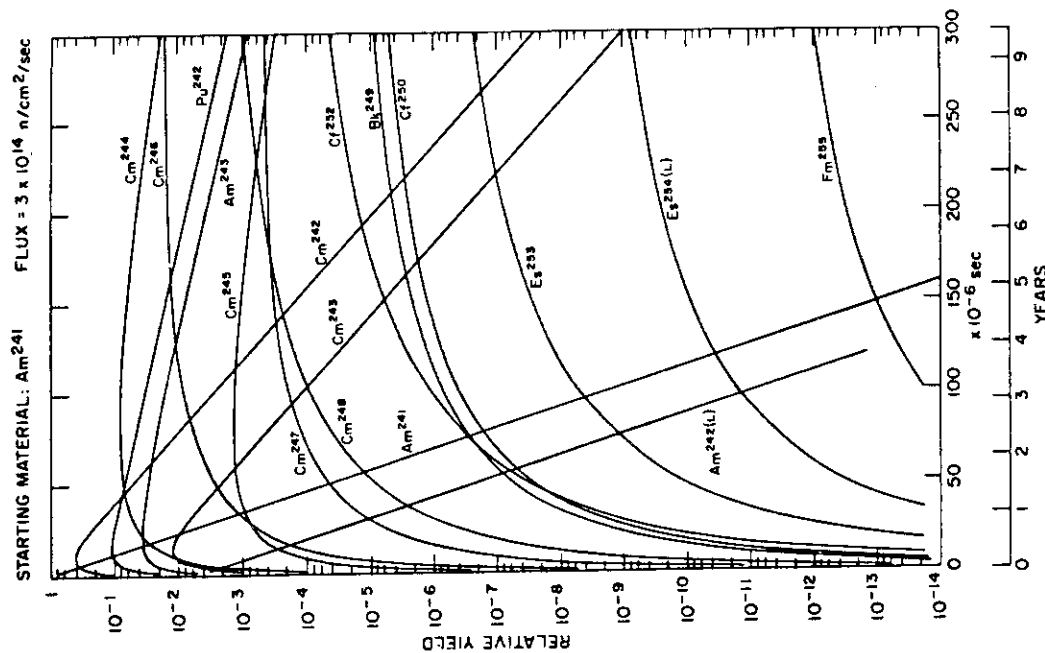


Fig. 1-7 Yield of isotopes from irradiation of  $^{241}\text{Am}$ .

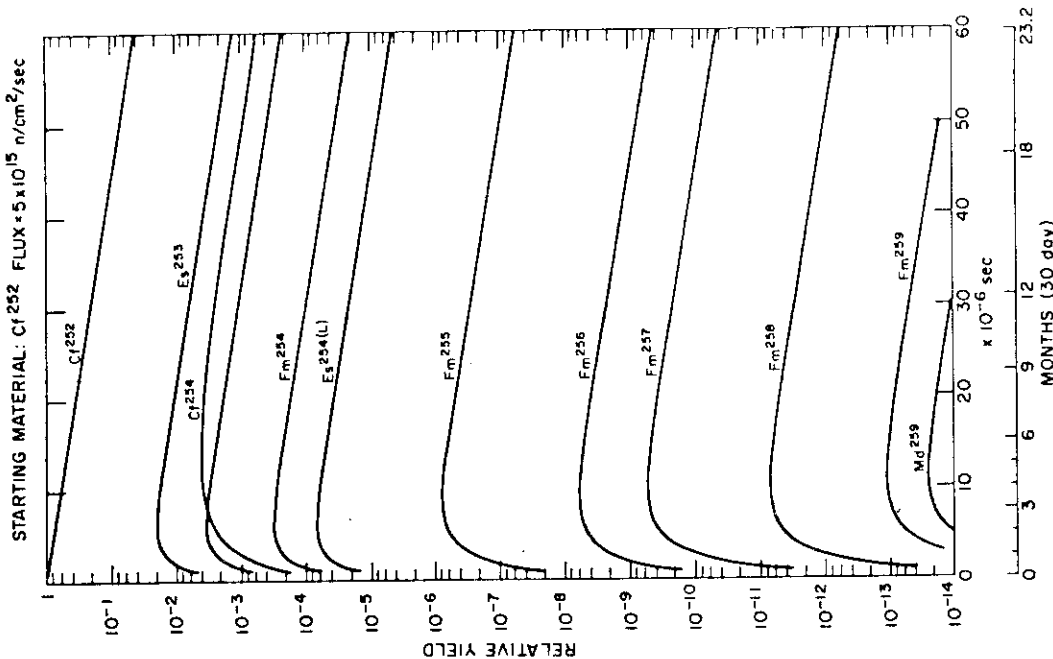


Fig. 1-6 Yield of isotopes from irradiation of  $^{252}\text{Cf}$ .

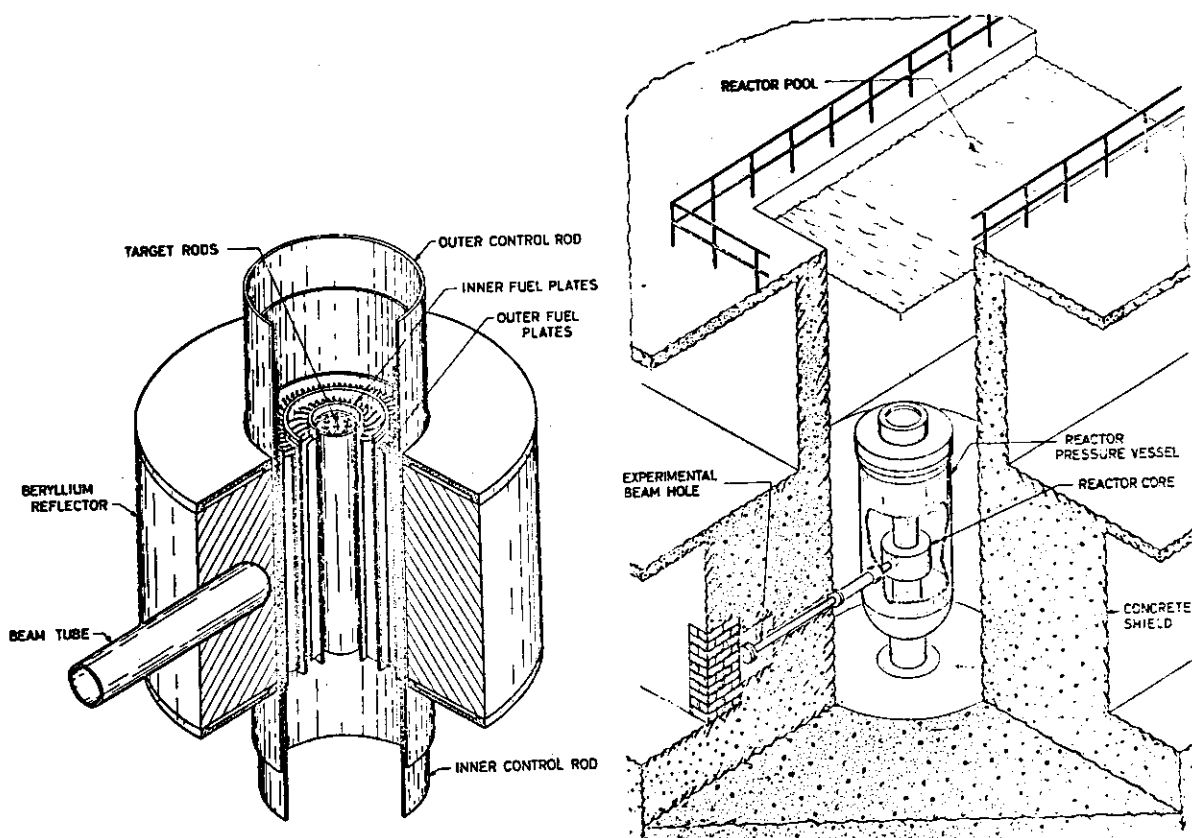


Fig. 1-8 HFIR core, vessel and shield.

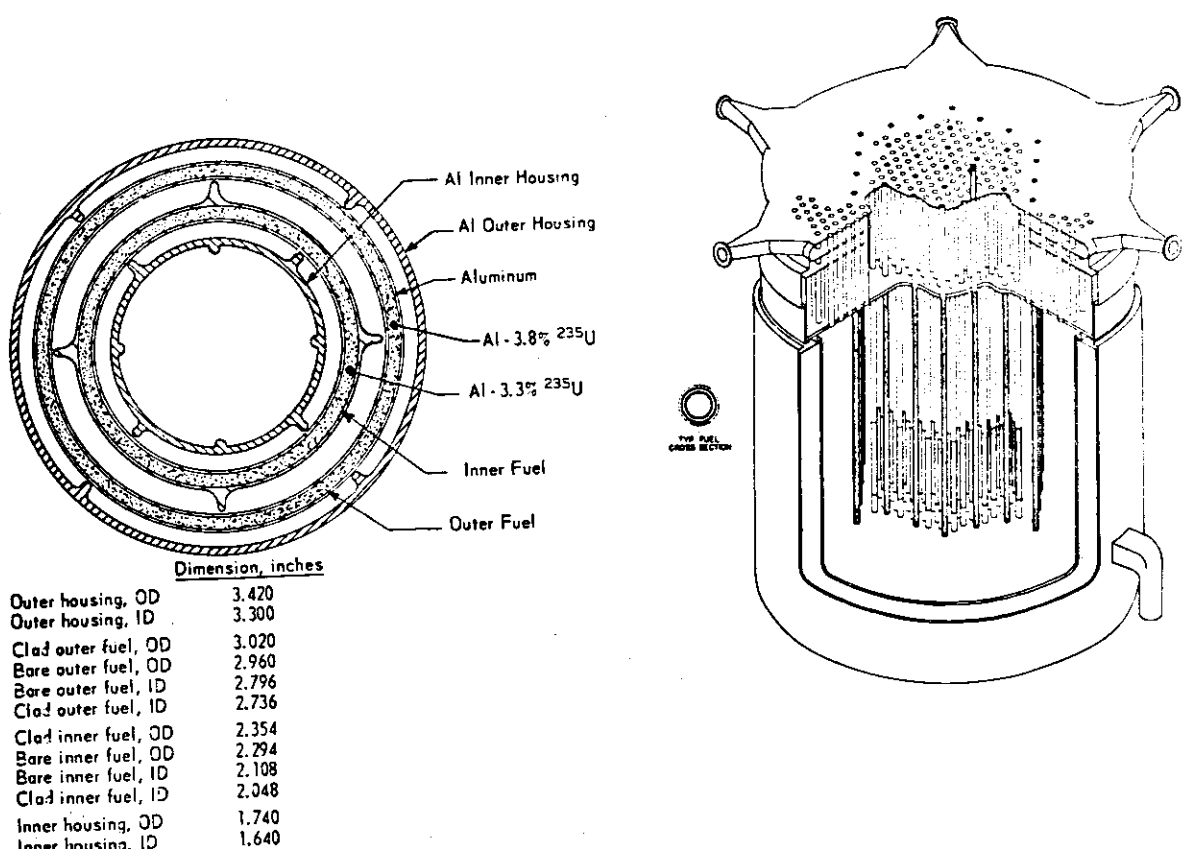


Fig. 1-9 High Flux Demonstration Lattice in a Savannah River Reactor and cross section of fuel assembly.

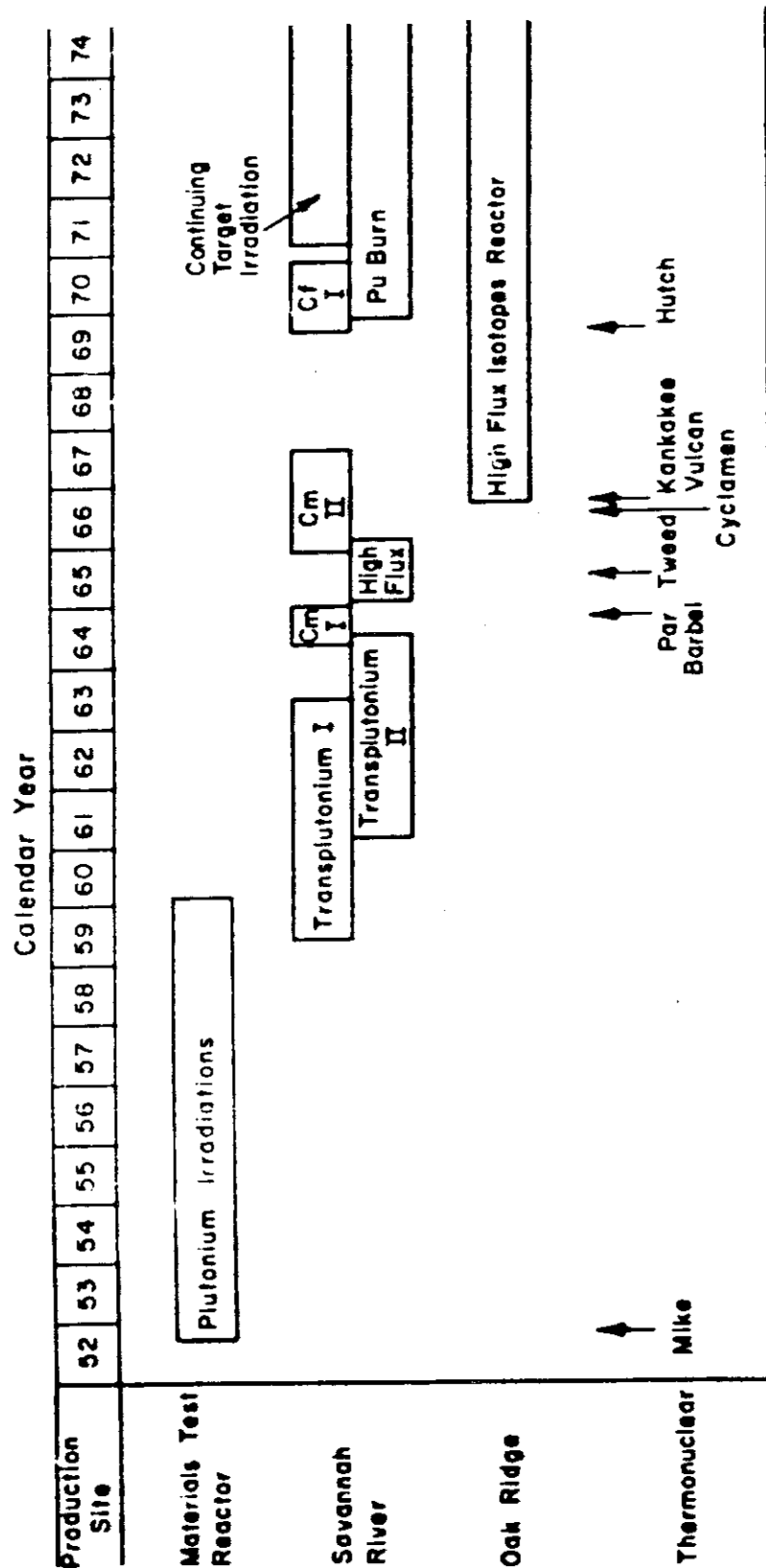


Fig. 1-10 Principal transplutonium production programs of the USA.

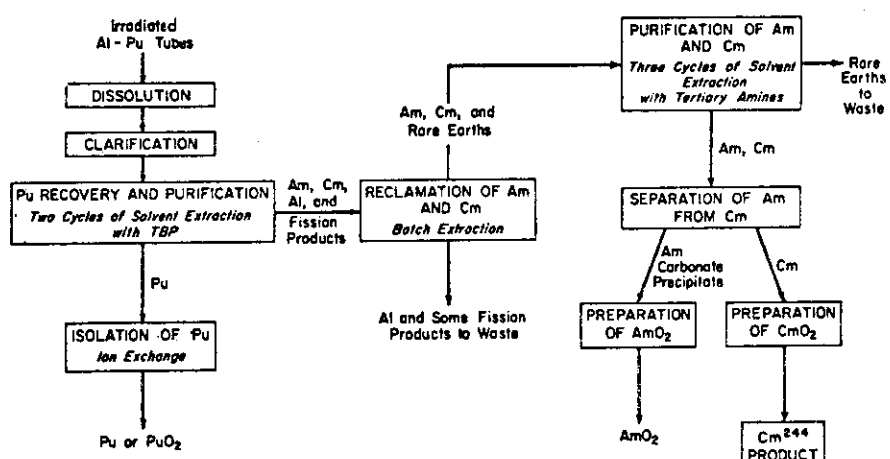
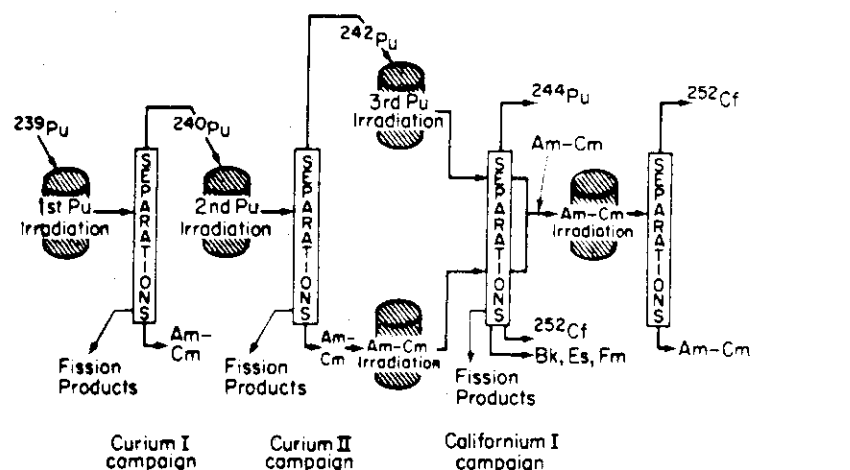


Fig. 1-11 Outline of the transplutonium elements production programme and the curium separation process at Savannah River Plant.

## 2. 化学分離法

### 2.1 米国

#### 2.1.1 ANL 計画

ANL グループが初期の頃に用いた分離法は、 UCRL で開発された陰イオン交換樹脂-HCl を主体とした方法であるが、 アイダホの MTR による中性子束  $10^{14}$  オーダーでの  $^{239}\text{Pu}$  照射が可能になると、 熱除去効率の大きな Pu-Al 合金、 Al 被覆のターゲットが用いられ、 そのために、 多量の Al を Pu から分離する必要性が生じた。そこで、 まずターゲット (Al) を  $\text{NaOH}-\text{NaNO}_3$  溶液で溶解し、 Al 以外の元素を水酸化物沈殿として回収した。その後の処理法は、 ナプキン環ターゲットと Shim rod の場合とでは異なるが、 Fig. 2-1 に後者の場合の分離スキームを示す。前者の場合には、 クエン酸等を溶離剤とした陽イオン交換法により TPE の相互分離を行っている。

#### 2.1.2 サバンナリバー計画

前節でも述べたように、 SRP には大量の  $^{239}\text{Pu}$  を照射できる原子炉、 高中性子束を出す Lattice、 再処理施設、 hot cave を有するラボ (SRL) そして現在では MPPF がそろっているので、 米国の TPE 生産計画では常に先駆的役割りを果してきた。

1959 年に始まる Transplutonium - I および - II では、 約 20kg の  $^{239}\text{Pu}$  が照射された。ターゲット溶解は、 沸騰した  $\text{NaOH}-\text{NaNO}_3$ 、 次いで  $\text{HNO}_3-\text{KF}$  溶液で行われた。Pu は陰イオン交換樹脂に吸着、 回収された。Am-Cm-RE フラクションは、 double sulfate ( $\text{M}_2(\text{SO}_4)_3 \cdot \text{Na}_2\text{SO}_4 \cdot \chi \text{H}_2\text{O}$ ) 沈殿法あるいは TBP バッチ抽出法によって分離され、 硝酸溶液として ORNL (12), (24), (25) に送られた。

1963 年からの Cm-I, Cm-II キャンペーンでは、 化学処理の第 1 段階は SRP の TBP 抽出プラントで行われた。すなわち、 照射済 Pu-Al 合金は硝酸水銀と KF を触媒として硝酸で溶解し、 Pu は 30 % TBP (Cm-II では Pu の量が少ないので 3.5 % TBP) で抽出分離された。TPE-RE は、 50 % TBP - ケロシン (Ultrasene) による 2 サイクルバッチ抽出で  $0.4 \text{ M H}^+ - 6.0 \text{ M NO}_3^-$  溶液から抽出し、 希硝酸で逆抽出した。Am-Cm の平均抽出率は、 Cm-I で 95 %, Cm-II では 99.6 % であった。以上の分離プロセスを Fig. 2-2 に示す。Cm-I における TPE-RE 濃縮液の分離後 1 年冷却時の組成および放射線発熱量を Table 2-1 および 2-2 にそれぞれ示した。

TPE と RE の分離について考える場合、 両者の混合比も重要な因子であるが、 Cm-I, - II では、 それらはそれぞれ RE/TPE(モル比) 17 および 5 であった。

抽出工程における溶媒の吸収線量は、 Cm-I では  $20 \text{ Wh l}^{-1}$  / バッチで、 全部で 19 バッチ行われたので、 リサイクルで繰り返し使用された溶媒 (TBP) の全吸収線量は約  $500 \text{ Wh l}^{-1}$  にも達し、 エマルジョンが発生した。Cm-II では、 バッチ数は 2 に減少され、 遠心分離法の採用によって TBP の吸収線量は格段に減少させられた。

Cm-IIで得られたTPE-RE 溶液は、その後SRLのホットケーブに移送され、更に精製された。TPEとREの相互分離にはイオン交換クロマトグラフィーあるいは、Tramex 抽出法が試みられた。<sup>14)</sup>前者では、原液中に多量に含まれているAl, Hg, Fe を30% TBPで除去し (Fig. 2-3)、その後、約1.6 kg の<sup>244</sup>Cm を含む溶液を40バッチに分けて処理した (1バッチには<sup>244</sup>Cmと<sup>243</sup>Amを約100 g 含む)。Fig. 2-4には、用いられた加圧型イオン交換カラム装置図を、また、Fig. 2-5には、DTPA溶離液による置換クロマトグラフィーの溶離曲線を示した。

SRLで行われたTramex法のプロセスをFig. 2-6に示した。Tramex法はTRUでも採用されたが、後で述べるようにいくつかの問題点を有し、SRPにおけるCf-I キャンペーンでは全面的に陽イオン交換クロマトグラフィーに置きかえられた。

Cf-I以降の<sup>252</sup>Cf 製造のために、SRPの化学処理プラントに隣接してMPPFが建設されたが、そのマニュプレータセルの中心に陽イオン交換カラムが組込まれた。

照射ターゲットがPuを多量に含む場合には、化学処理プラントでTBP抽出によるPuの分離、前処理が行われる。残りのTPE-RE溶液あるいはPu含有量の少ない照射済ターゲットはMPPF<sup>28)</sup>で処理される。MPPFにおける化学分離フローシートをFig. 2-7に示す。そこでは上記SRPからのTPE-RE溶液あるいはMPPFで溶解した酸化物ターゲット溶液をイオン交換クロマトグラフィー用に調製し、Dowex 50 W-X<sub>6</sub>樹脂カラムに通す。この段階におけるREとTPEのモル比は大よそ2:1である。両者の分離は0.05 M DTPA (NH<sub>4</sub>OH, PH 6.0)溶液による置換クロマトグラフィー (Zn<sup>2+</sup>バリアーアイオン) により行う。超キュリウム元素は、DTPA, Zn<sup>2+</sup>等を除去後、NH<sub>4</sub><sup>+</sup>形Dowex 50 W-X 8 加圧カラムで0.4 α-hydroxyisobutyric acid (AHIBA) 溶液 (pH 3.4 ~ 5.0) で溶解、分離される。分離されたCf, Bkはそれぞれイオン交換樹脂に吸着させてから直接仮焼して酸化物に変えられる。Am, Cmはシュウ酸塩沈殿-仮焼法によりターゲットに加工される。

1974年秋、SRPでは貯蔵してあった約63 kg のPu (PuO<sub>2</sub>: 52.3 %が<sup>242</sup>Pu) から<sup>241</sup>Amの<sup>29)</sup>分離精製を行った。これは、Puの再照射のために行われ、生成している<sup>241</sup>Amは約775 g と見積られた。

全てのプロセスは、照射済UからPuを抽出するための抽出ライン、Fキャニオン、Pu回収施設等を備えた221-F建屋で行われた。

PuO<sub>2</sub>は15 M HNO<sub>3</sub>-KF溶液で溶解後、Al(NO<sub>3</sub>)<sub>3</sub>を添加、4.5 M HNO<sub>3</sub>溶液 (28000 ℥) に調製され、1サイクルの30% TBP抽出でPuが回収された。残液は蒸発-酸回収の後、2 M HNO<sub>3</sub>溶液 (2630 ℥)に調製された。この溶液はAm以外に約6.5 g のPu、0.5 Ci のFP等を含む。次に0.5 M HNO<sub>3</sub>溶液に希釈 (10,400 ℥) しDowex 50WX-12カラムに通す。Pu、不純物陽イオン等は(NH<sub>4</sub>)<sub>2</sub>SO<sub>4</sub>-H<sub>2</sub>SO<sub>4</sub>溶液で洗浄除去された。Amを5 M HNO<sub>3</sub>で溶離し、~1.5 M HNO<sub>3</sub>に希釈してから0.8 M シュウ酸溶液を加えて約60分間シュウ酸塩沈殿を熟成する。ここで約3%のAmが溶液中に残った。AmO<sub>2</sub>に仮焼後、約720 g がORNLに送られた。全収率は95%以上、約1.5%のPuと、0.05%のCaが含まれていた。

Table 2-1  
 Actinides and Fission Products in  
 Solvent Extraction Concentrate  
 (About 1 year cooling)

<u>Actinide</u>	<u>kg</u>	<u>Moles</u>	<u>Lanthanide</u>	<u>Moles</u>
$^{241}\text{Am}$	0.05	0.21	La	20.5
			Ce	41.6
$^{242}\text{Am}$	0.001	-	Pr	19.1
			Nd	59.9
$^{243}\text{Am}$	1.7	7.00	Pm	0.78
			Sm	16.6
$^{242}\text{Cm}$	0.02	0.08	Eu	2.87
			Gd	5.72
$^{244}\text{Cm}$	0.7	2.87	Tb	0.03
			Dy	0.01
$^{245}\text{Cm}$	0.004	<u>0.02</u> <u>10.2</u>		<u>-</u> <u>167</u>

Total An+Ln = 177 moles

Table 2-2  
 Decay Heats of Actinides and Fission Products in  
 Solvent Extraction Concentrate  
 (About 1 year cooling)

<u>Actinide</u>	<u><math>\alpha</math> Heat, watts</u>	<u>Fission Product</u>	<u><math>\beta</math> Heat, watts</u>	<u><math>\gamma</math> Heat, watts</u>
$^{241}\text{Am}$	5	$^{91}\text{Y}$	31	0
$^{243}\text{Am}$	10	$^{95}\text{Zr}$	3	19
$^{242}\text{Cm}$	2400	$^{95}\text{Nb}$	3	37
$^{244}\text{Cm}$	2000	$^{103}\text{Ru}$	0	3
		$^{106}\text{Ru}$	27	0
		$^{106}\text{Rh}$	2188	509
		$^{141}\text{Ce}$	1	1
		$^{144}\text{Ce}$	654	321
		$^{144}\text{Pr}$	7296	603
		$^{147}\text{Pm}$	51	0
		$^{154}\text{Eu}$	20	120
Total $\alpha$	<u>4400</u>		<u>10,270</u>	<u>1610</u>

Total heat from  $\alpha+\beta+\gamma$  = 16,300 watts

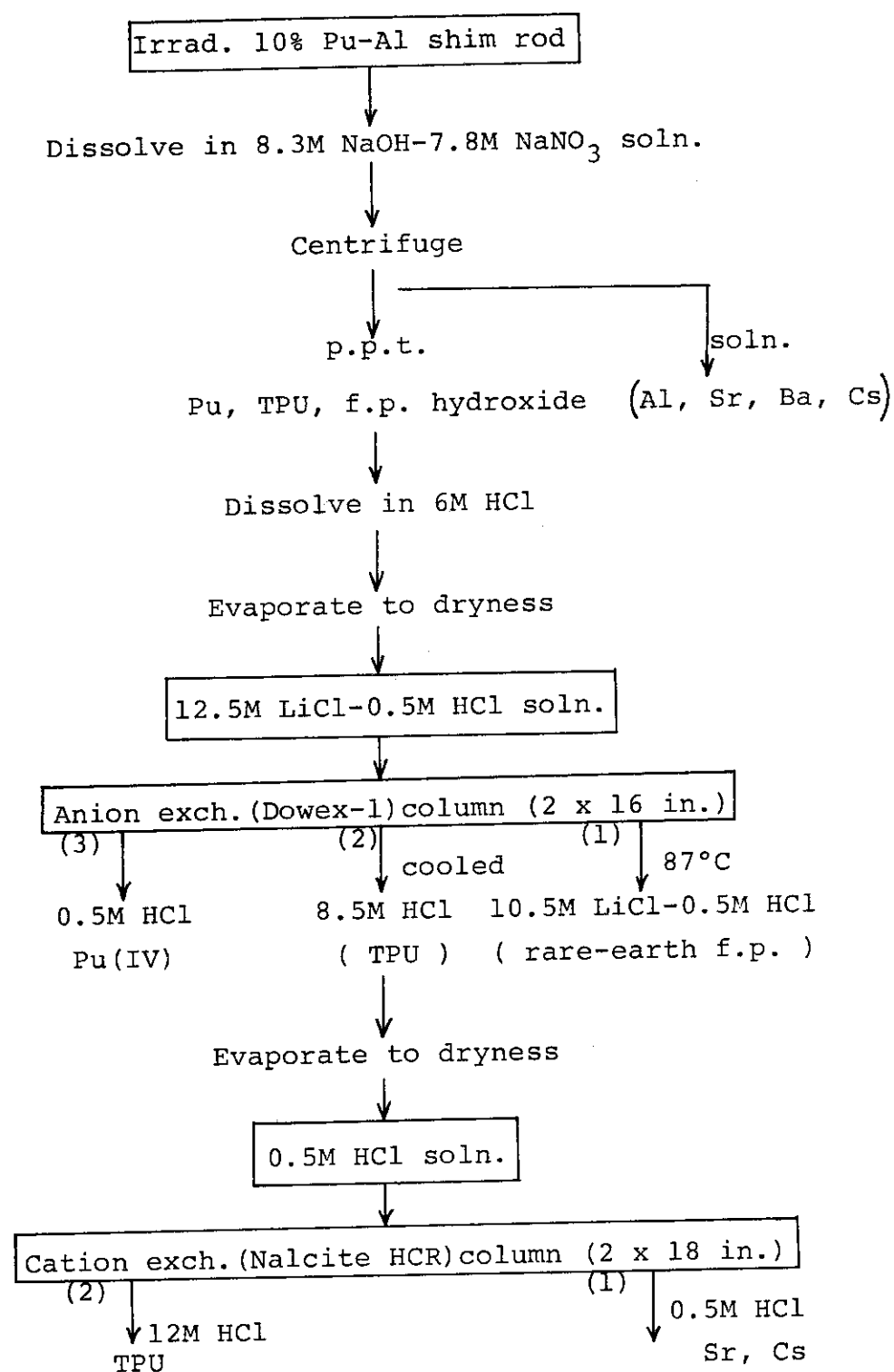


Fig. 2-1 Separation scheme for transplutonium elements from an irradiated Pu-Al shim rod.

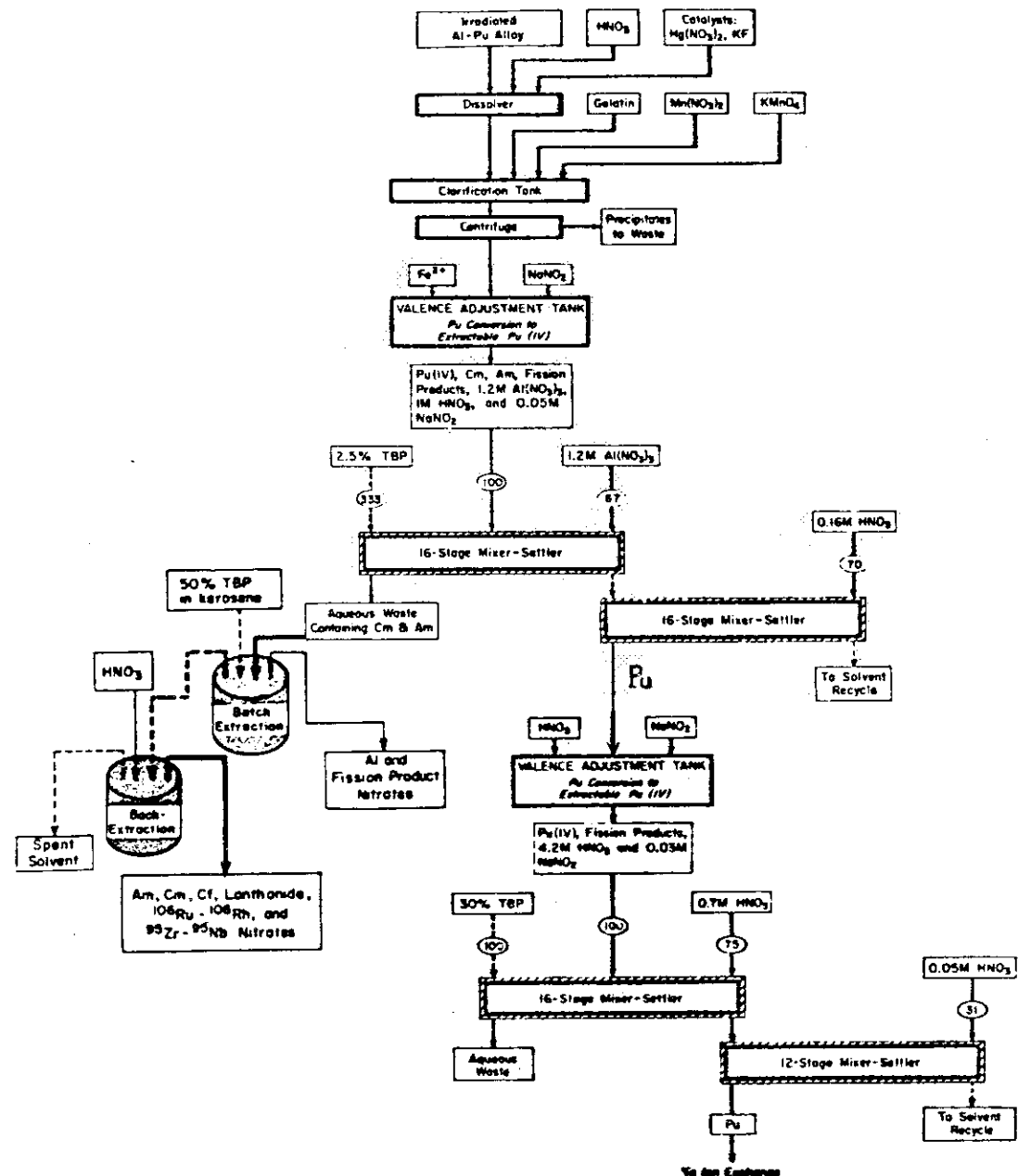


Fig. 2-2 Dissolution of Al-Pu fuel elements and recovery of plutonium by solvent extraction.

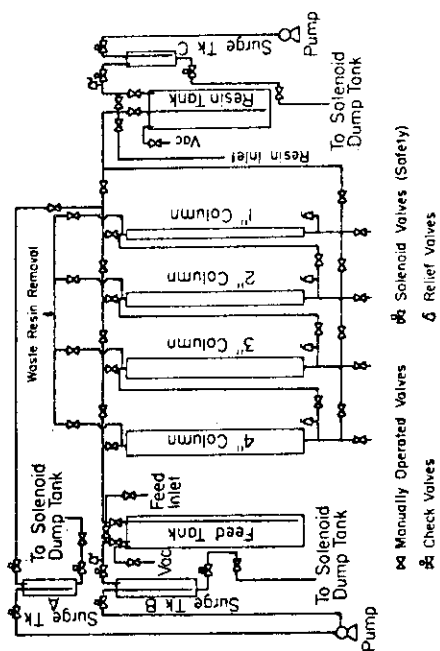


Fig. 2-4 Flow diagram for columns.

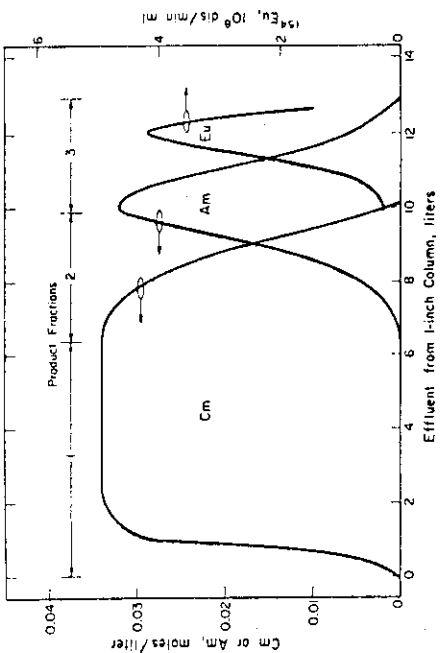


Fig. 2-5 Typical elution diagram.

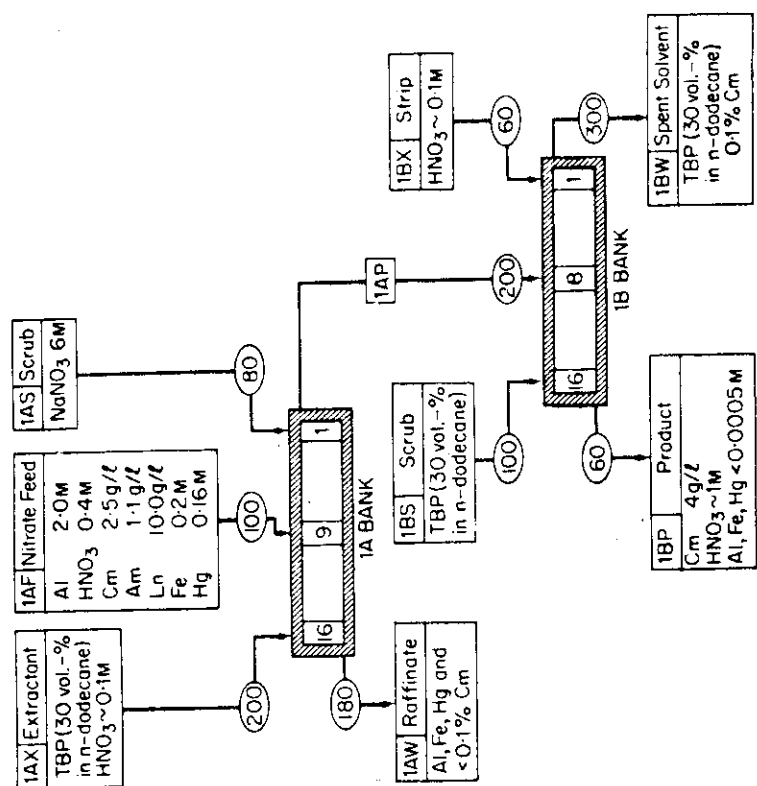


Fig. 2-3 Curium feed preparation with 30% TBP.

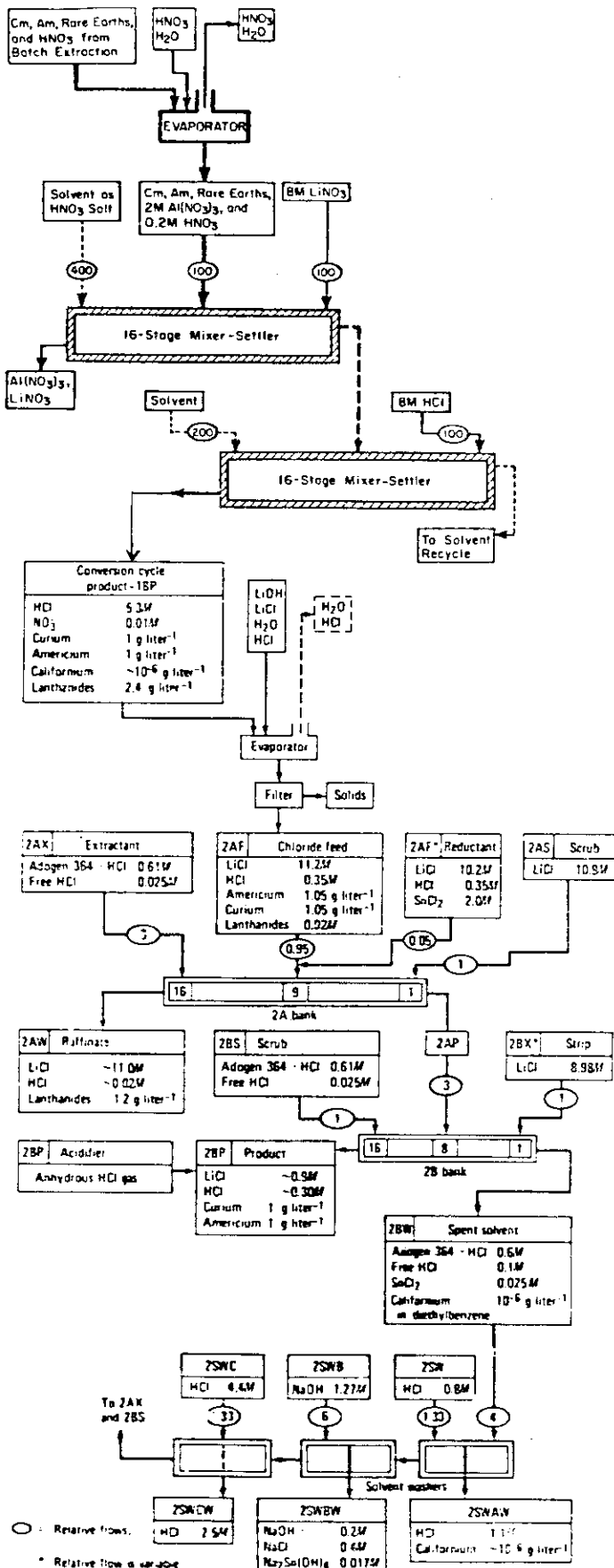


Fig. 2-6 Recovery of americium and curium at SRP.

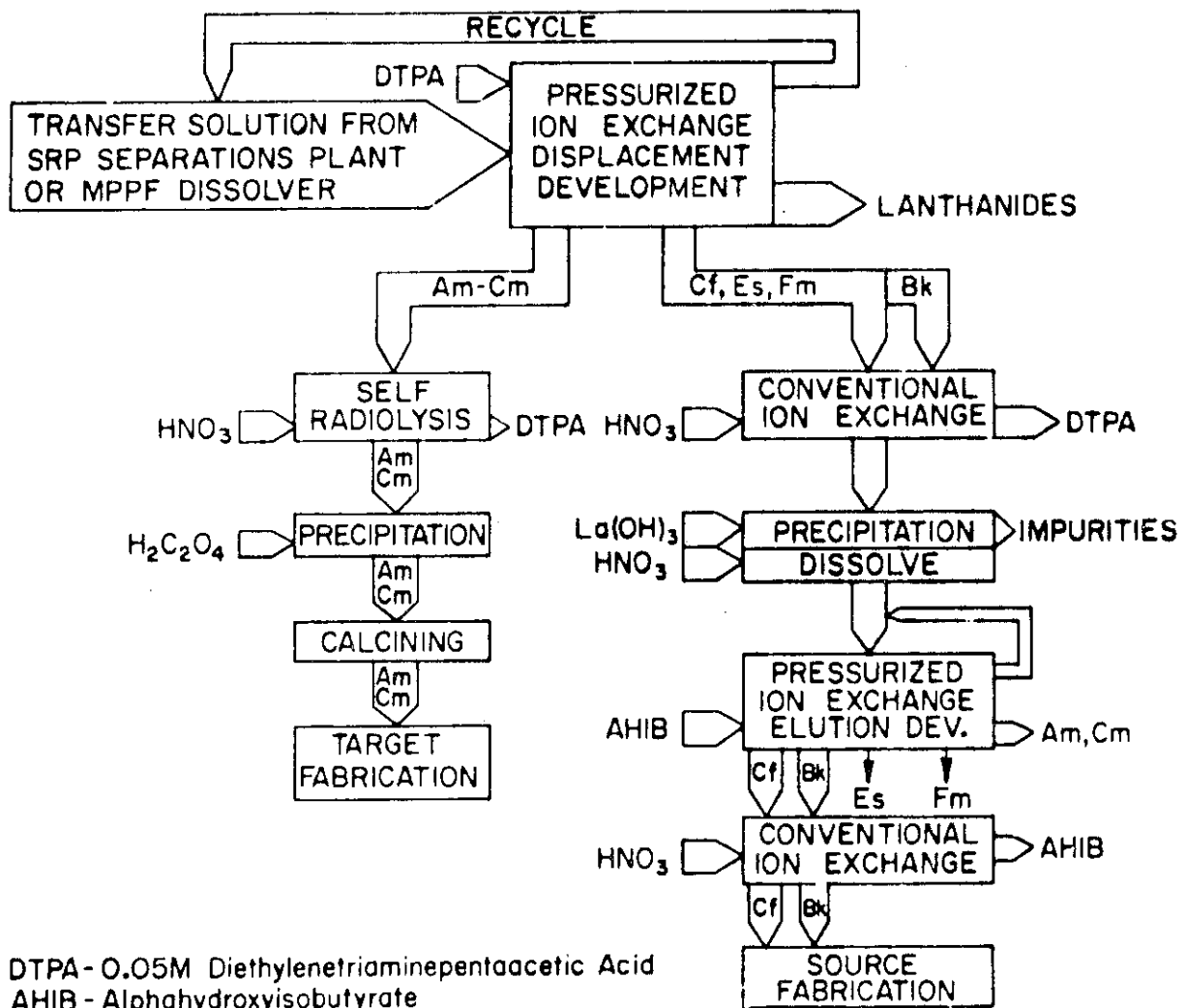


Fig. 2-7 Transplutonium separations flow sheet.

## 2.1.3 ORNL 計画

ORNLに於ける最初のTPE製造は、1964年11月からCRFで開始されたCurium計画である。CRFは、TRUの建設に先立って、そこで採用する予定の化学分離法を高レベルで試験する目的で4507建屋を改造して作られた試験プラントである。TRUにおける化学分離で主体となるのはTPEとREの分離のためのTramex法である。Tramexでは硝酸根の混入が両グループの分離を悪くする事が知られている。他方、その前のPuの除去には、抽出法あるいは陰イオン交換法とも硝酸系が適している。そこで、Tramexの前には、硝酸系から塩酸系への転換プロセスが必要となる。SRPにおけるCm-IIでは、Fig. 2-6に示したようにTramexの前に、同じ第三級アミン抽出剤を用いる言わゆるClanex法(Co-Lanthanide-Actinide-Nitrate Extraction)が採用された。CRFでは、このClanex法とともにジ2エチルヘキシルリン酸(DEHPA)を用いるDapex法(Di-Alkyl-Phosphate Extraction)も検討された。CRFにおける主な分離プロセスをFig. 2-8に示す。<sup>30)</sup>また、Clanex法とDapex法をFig. 2-9, 2-10に、CRFにおけるTramexプロセスをFig. 2-11にそれぞれ示す。HFIRで照射したAmO<sub>2</sub>-AlサーメットはHClに溶解できるので硝酸-塩酸転換プロセスは不必要であるが、Dapexでは、Alの除去も出来るので一部はそのプロセスを通している。Clanexに比してDapex法は相分離も良く、フィードの条件設定も厳しくないので運転上は優れている。得られた<sup>242</sup>Cmは、硝酸溶液として移送され、<sup>244</sup>CmはLiCl系陰イオン交換法により更に精製された。<sup>243</sup>Amは、炭酸塩沈殿法でCmから分離された。

TRUで行われた分離法は多岐にわたる。すなわち、Fig. 2-12は1964年頃に考えられていた処理法であるが、その後、様々な改良、変更が加えられた。以下にそれらの主なものを述べる。

## &lt;ターゲット溶解&gt;

全てのターゲットは6M NaOH-3M NaNO<sub>3</sub>でAlを溶解される。アクチノイドとFPの沈殿の溶解では、Puを多量に含む場合(Puの燃焼率70%以下)にはHNO<sub>3</sub>-HFが用いられる。TRUの装置は、Tramex法でHCl-LiCl系になるので全体としてZircaloy-2、タンタル合金が使われているが、これらはF<sup>-</sup>によって腐食されるので溶解槽はSUSを用いる。F<sup>-</sup>はその後NaOHを加え沈殿法により除かれる。蒸留法によるHFの除去も検討された。水酸化物沈殿は硝酸により溶解され、陰イオン交換法によりPuが除去される。一方、Puの含有率の低いターゲットでは、アクチノイド-FP沈殿は6M HClか15.8M HNO<sub>3</sub>で溶解される(溶解槽の材質: Zircaloy-2、タンタル合金製)。

## &lt;Puの分離&gt;

陰イオン交換カラム法(Plurix法)と抽出法(Pubex法)が検討された。前者では、硝酸系(7~9M HNO<sub>3</sub>)でPermutit SK樹脂にPu(IV)を吸着させる方法と、塩酸系で6~8M HCl溶液からPu(IV)を吸着させる方法がある。塩酸系では、PuのIII価への還元が起り易く、酸化剤を入れるとジルカロイの腐食が生ずるためTRUでは採用されなかった。Pubex法はPlutonium Batch Extractionの略で、1M DEHPA-DEBによりPu(IV)を抽出する。逆抽出は有機相にDi-tert-butylhydroquinone(DBHQ)と2-Ethylhexanolを加えてPu(IV)をIII価に還元することにより8M HClで行うことが出来る。Fig. 2-13にPubex法の概略を示した。この方法にはZrが除去できるという利点がある。

<sup>33)</sup>

## &lt;Tramex 前処理 : Nitrate→Chloride 転換法&gt;

こゝでは前に述べたDapex法とほとんど同じCleanex 法が採用された。すなわちフィード溶液の酸性度を 0.1 M以下に調節してから 1 M DEHPA-Amsco 125-82でTPE-RE を抽出し, 0.03 M HCl で有機相のNO<sub>3</sub><sup>-</sup> を洗浄除去する。次に 2M HClでTPE-RE を逆抽出する。この場合フィードが塩酸系ならば名が示すようにTPE-RE のclean up (すなわち, Na, Fe, Zr等の不純物除去) として働く。硝酸系から塩酸系への転換法として, その他にNaOHによる水酸化物沈殿法, 溶液濃縮による硝酸根の蒸留法等も検討された。

## &lt;Tramex 法&gt;

この方法は, Tertiary Amine Extraction の略で後述のLiCl 系陰イオン交換樹脂法を描出法に応用 (樹脂→アミン描出済) する事によりMooreによって提案された。前に述べたように Tramex 法は, SRPのCm-II, ORNL のCRFすでに採用されている。こゝでは放射線効果について述べる。<sup>35)</sup>

TRUにおけるTramex プロセスでは, 放射性溶液の放射能Power密度は 5~30 W l<sup>-1</sup> であるので塩酸系溶液ではH<sup>+</sup>の還元によりH<sub>2</sub>ガスが発生する。酸濃度は, 0.0007 当量/Wh の割合で減少し, 酸性度が 0.1 N 以下になるとある種の金属は加水分解により沈殿する。Baybarzはこの放射線分解を妨害するにはメタノールを加えれば良いと提案したが, 必ずしも効果的ではなく, 12 時間毎に 12N HCl を補充する方法がとられている。SRLではHClガスを吹込む方式をとった。塩酸溶液では放射線によって酸化剤が生成し, Pu をIV 価あるいはVI 価に酸化する。さらに悪い事には, Ce もIV 価に酸化されてTPEと共に抽出される。SRLではSnCl<sub>2</sub>を加えてCe の酸化を押えたが, 後には有機相にDBHQ (~ 0.05 M) を加える方式を採用した。更に, 酸化剤は塩化系において装置の構造材であるZircaloy-2 を腐食し (30 W l<sup>-1</sup> のHCl中で 1.5mm/yr), 溶出したZr は加水分解でポリマーを形成し, Tramex プロセスを防害した。そこでZircaloy -2 をタンタルに変えたり, Pubex法で Zr を除去する方法が考えられた。

## &lt;TPFの粗分離&gt;

Tramex プロセスでTPEを REから分離した後, 更にTPEの相互分離するためにいくつかの方法が検討された。LiCl系陰イオン交換カラム法 (Liclix 法) はTPEをAm-Cm, Bk (-Cm), Cf (-Bk) の三つのフラクションに分離する (Fig. 2-14)。また, 2-ethylhexylphenyl phosphonic acid : 2-EH [φP] Aによる抽出法 (Pharex process) はTPEをAm-Cm と Bk-Cf フラクションに分離できる (Fig. 2-15)。Pharex 法は, 後に 10~100ppm のZr の混入により両フラクションの分離が極めて低下する事が発見され, それに代わるものとして DEHPA によるHepex法が考えられた (Fig. 2-16)。

## &lt;TPEの分離精製法&gt;

加圧カラムによる陽イオン交換クロマトグラフィーは主としてCf の分離精製のために検討された (Cefix 法)。<sup>33)</sup> この方法はCampbell らによって開発され, アンモニアで pH を調整した AHIBA 溶液を溶離剤として用いる。Fig. 2-17 にはSUSカラムによる硝酸系の分離図を示した。<sup>34)</sup> 分離は塩酸系で行う事もできる。Fig. 2-18 に分離例を示す。高い分離度を得るには溶離開始前にアンモニウム塩をカラムに流して, 原液中の過剰の酸によって失ったNH<sub>4</sub><sup>+</sup> を樹脂に補給しなければならない。溶離においては最初にFm-Es フラクションが溶出する。各フラクションの始

点と終点は  $\alpha$  線検知器により知る事ができる。

Bk の精製は Bk を  $\text{BrO}_3$  で 4 倍に酸化し 1 M DEHPA で抽出する方法 (Berkex 法) が考えられた。抽出された Bk (IV) は 8 M  $\text{HNO}_3$  - 0.1 M  $\text{H}_2\text{O}_2$  によって Bk (III) に還元され逆抽出される (Fig. 2-19<sup>33)</sup>)。Berkex プロセスで得られた Bk 中に含まれる  $\alpha$  核種は検出感度以下である。

TRU では通常 Am-Cm は分離することなく酸化物ターゲットとして HFIR にリサイクルする。しかしながら一部は需要に応じて分離精製される。Am, Cm の分離法としては、Am (V) の複塩沈殿法が検討された。その場合、 $\text{Li}^+$ ,  $\text{Cl}^-$ ,  $\text{Ni}^{2+}$  を除去後、0.5 M  $\text{HNO}_3$  溶液とし、5 M  $\text{K}_2\text{CO}_3$  溶液に加えて Am-Cm を炭酸塩にする。溶液を次に 0.1 M  $\text{K}_2\text{S}_2\text{O}_8$ <sup>41)</sup> に調製し 80°C で 3 時間熟成すると Am (III) は V 倍に酸化され、不溶性の  $\text{K}_5\text{AmO}_2(\text{CO}_3)_3$  を形成する。このプロセス 1 回では Am は 2% の Cm を含んでいるので、必要に応じて繰り返される。Cm は、 $\text{NaOH}$  によって水酸化物沈殿として回収、シュウ酸塩沈殿法を経て  $\text{CmO}_2$  として得られる (Fig. 2-20)。

以上述べたもの以外にも多くの分離法が検討されたが、最後に最近 TRU において定常化されている分離法を述べる。Fig. 2-21<sup>42)</sup> には、HFIR ターゲットと SRP の Cf-I 計画で得られたターゲットの処理プロセスを並べて示した。両者の相異点には、HFIR ターゲットの処理の方が全体としてのプロセスが簡単であるという事がある。Cf-I ターゲットは Pu, 特に中性子/陽子比が大きく、加速器用ターゲットとして利用価値が高い  $^{244}\text{Pu}$  ( $T_{1/2} = 7.6 \times 10^7$  年) を多量に含むので、2 サイクルの Pubex と 3 サイクルの 隅イオン交換法により精製し、Y-12 プラントへ移送して同位体濃縮が行われた。また、HFIR ターゲットに含まれる RE の量が少ないので Tramex プロセスが省略できる。Tramex プロセスから陰イオン交換に移る際に、溶液中にアミン抽出剤が少量残留している。そこで溶液をジエチルベンゼンで洗浄し、その有機相にアミンとともに移ったアクチノイドを回収するプロセスも追加された。Fig. 2-22<sup>42), 43)</sup> と 2-23<sup>43)</sup> には、それぞれ HFIR および Cf-I ターゲットからの TPE の分離精製工程を示した。Cf-I ターゲットでは、冷却期間が長いので  $^{253}\text{Es}$  ( $T_{1/2} \approx 20$  日) はほとんどなくなっているが、高純度の  $^{254}\text{Es}$  が回収できる。再照射のための Cm (-Am) の酸化物は、HFIR ターゲットでは樹脂に吸着させてからその樹脂を仮焼して製造し、Cf-I ターゲットではシュウ酸塩沈殿としてから仮焼している。

1970 ~ 1973 年迄は、Cf-I ターゲットの処理が行われたが 1974 年からは HFIR ターゲットのみが処理されている。<sup>15)</sup> Cf フラクションからは純度の良い  $^{248}\text{Cm}$  ( $T_{1/2} = 3.5 \times 10^5$  年、約 3% の  $^{246}\text{Cm}$  ( $\leftarrow {}^{250}\text{Cf}$ ) を含む) と  $^{253}\text{Es}$  ( $T_{1/2} = 20$  日) が得られる。 $^{248}\text{Cm}$  は  $^{252}\text{Cf}$  ( $T_{1/2} = 2.65$  年) の娘核種で比放射能が非常に低いため化学的に有用である。 $^{253}\text{Es}$  は  $^{253}\text{Cf}$  ( $T_{1/2} = 17$  日) の娘核種で TRU の隣りにある TURF の Californium Facility (Cm free) で回収されていたが、後に TRU で回収できるように改良され、製造量も 50% up となった。TRU では、Tramex プロセスに装置運転上、あるいは化学上のトラブルが起り、連続運転はしばしばバッチ方式に変更されている。

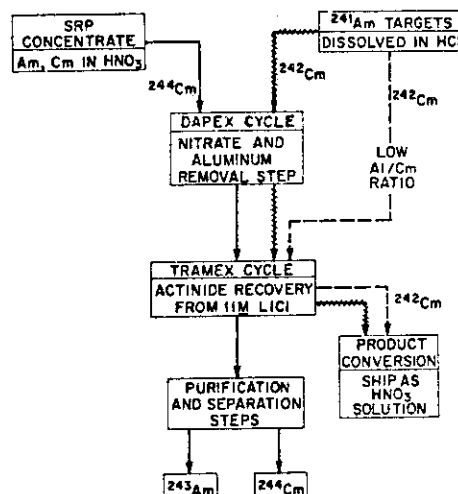


Fig. 2-8 Outline of Am-Cm separation process at the Curium Recovery Facility.

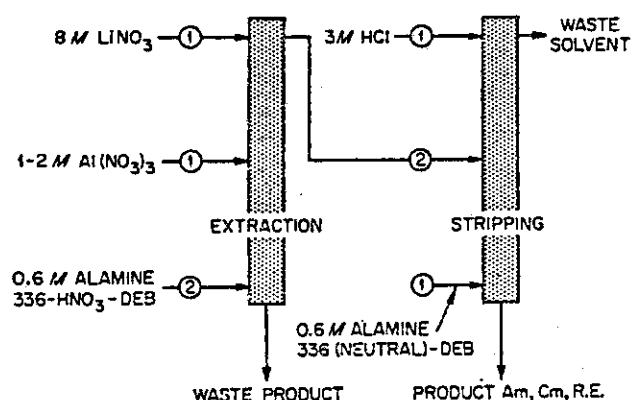


Fig. 2-9 Flowsheet for Clancex process.

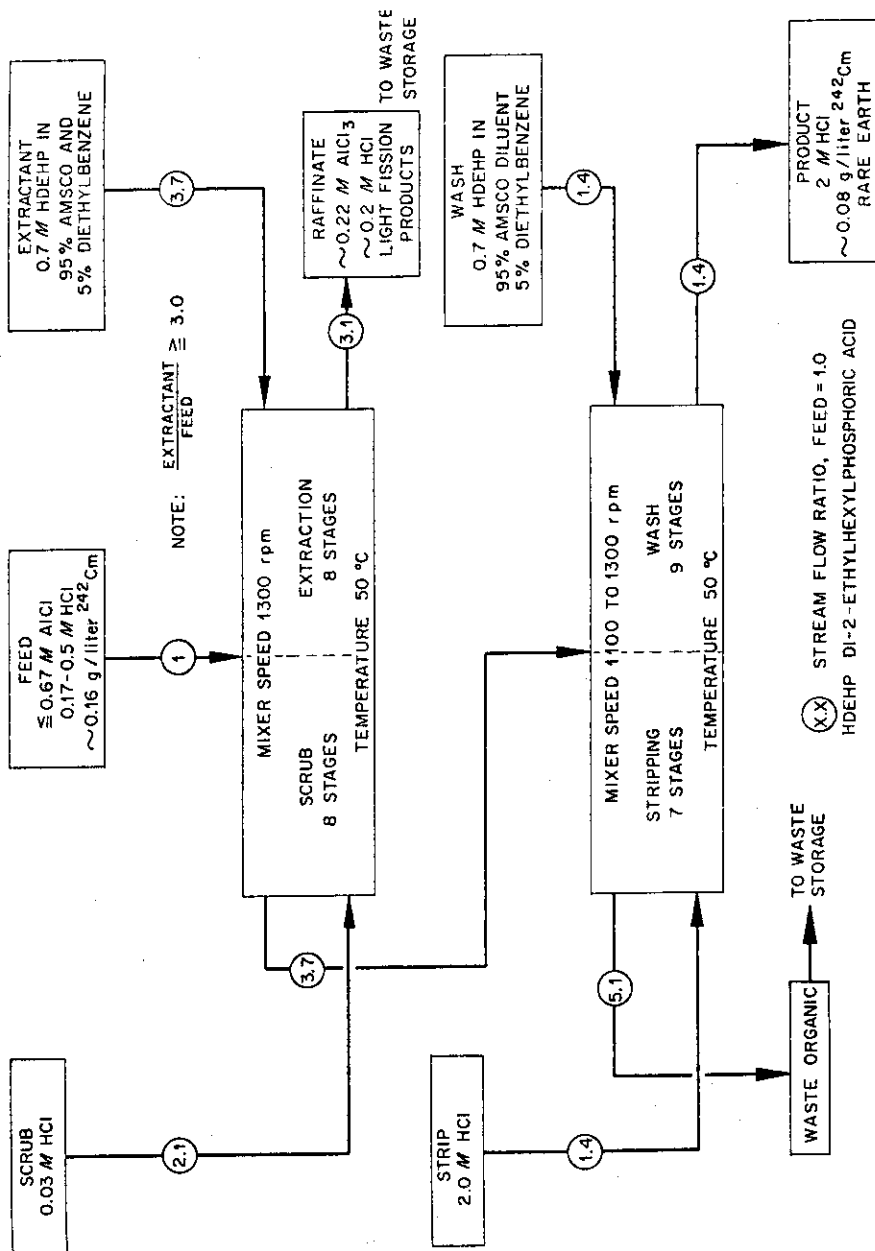


Fig. 2-10 Flowsheet for Dapex process.

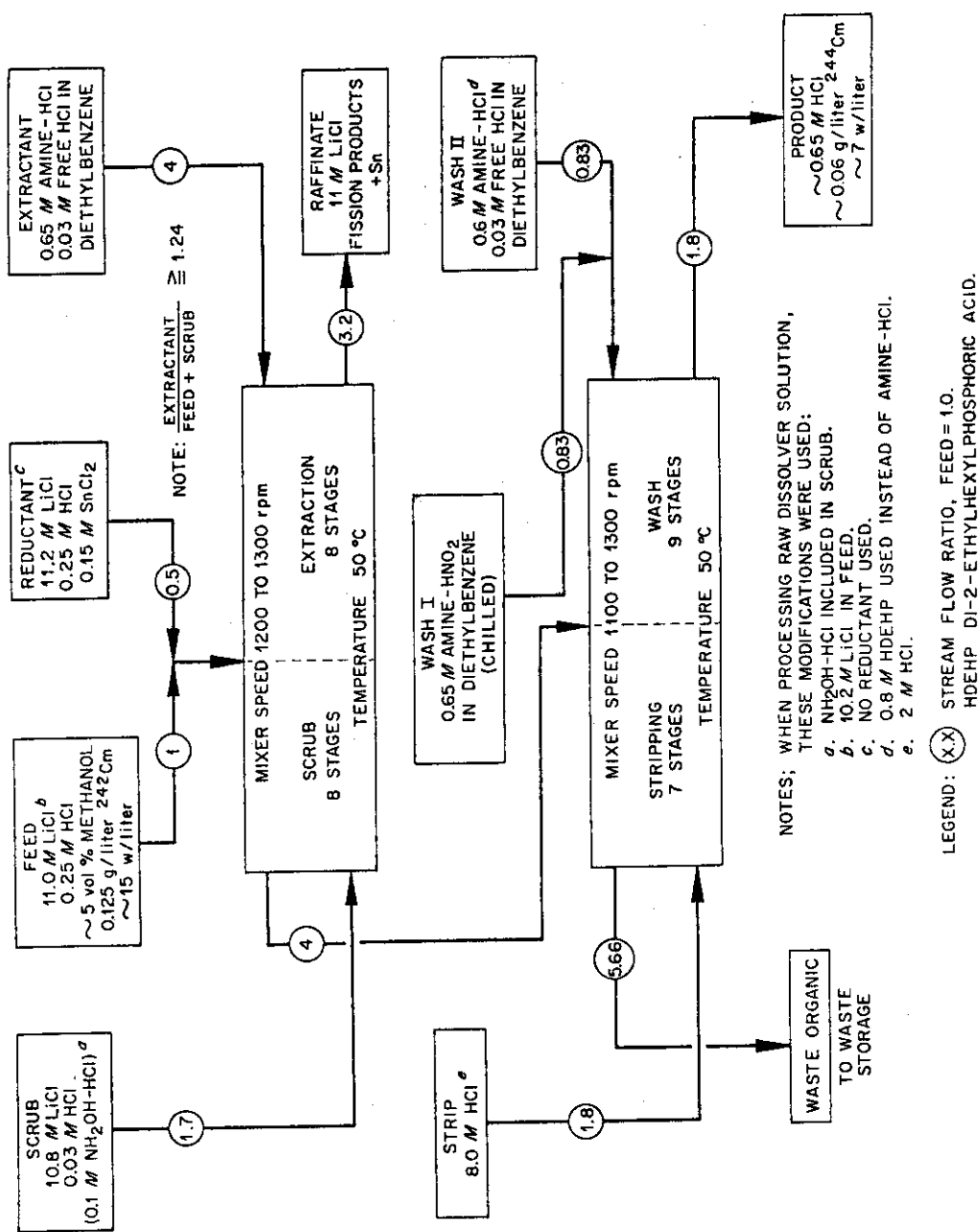


Fig. 2-11 Tramec flowsheet for curium recovery at CRF.

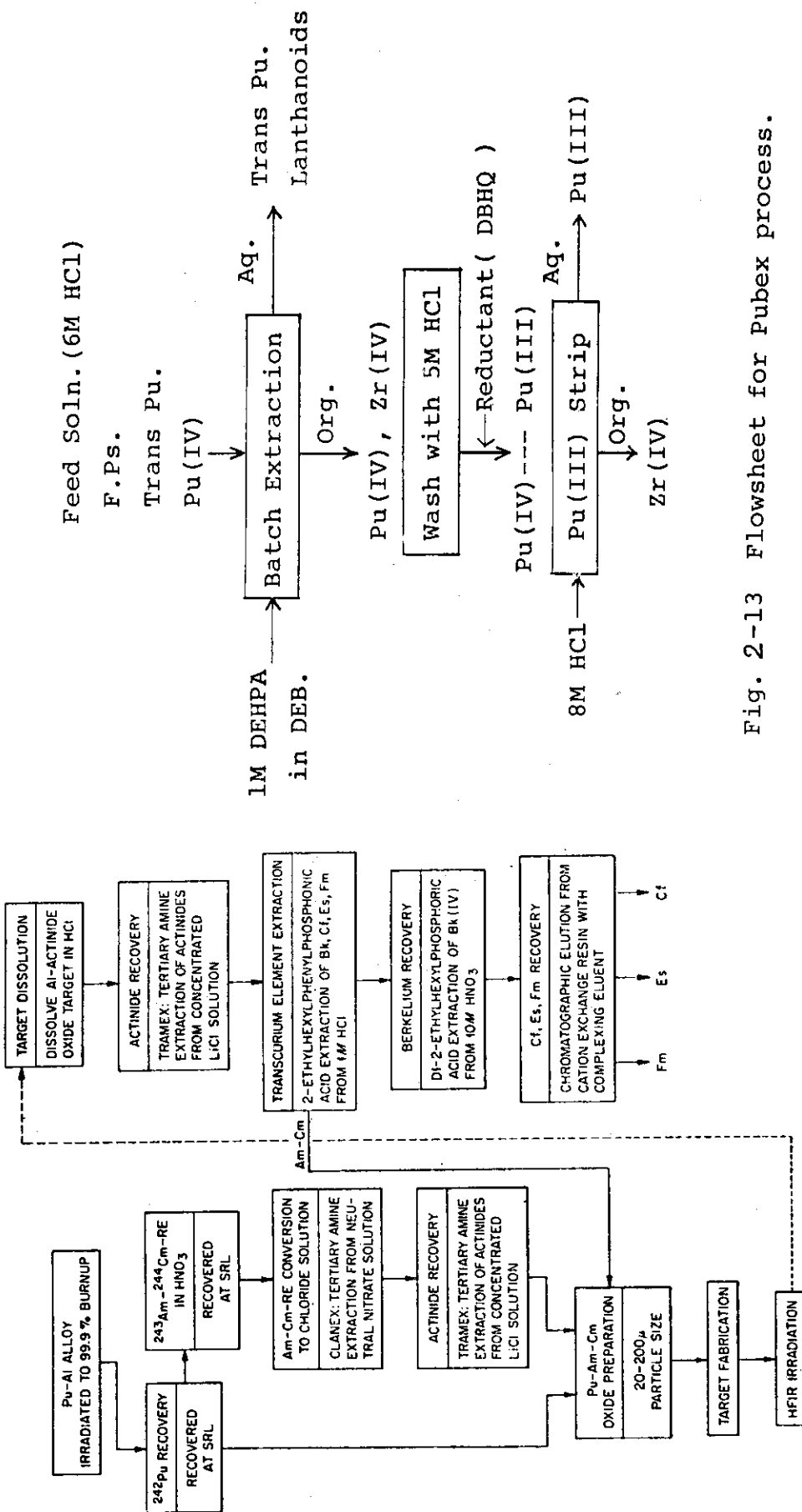


Fig. 2-13 Flowsheet for Pubex process.

Fig. 2-12 Summary flowsheet for HFR target preparation and processing (1964).

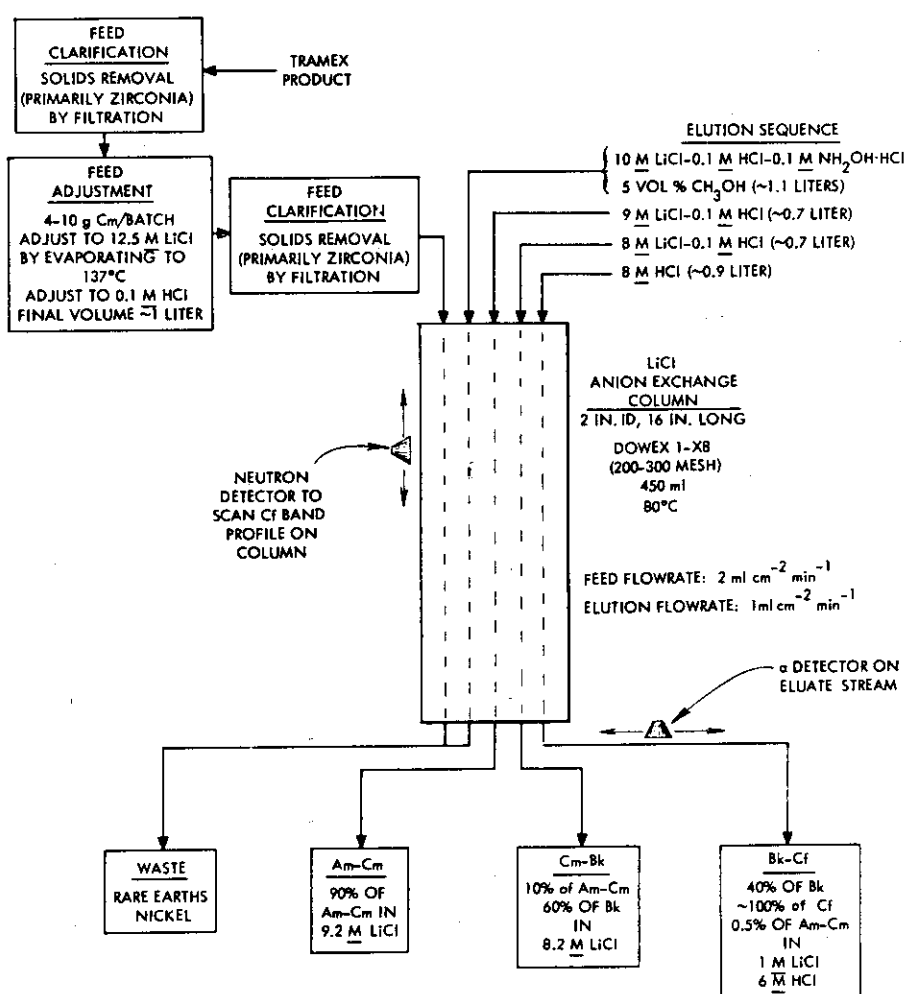


Fig. 2-14 Transplutonium-element partitioning of Tramex product by LiCl-base anion exchange (Liclix).

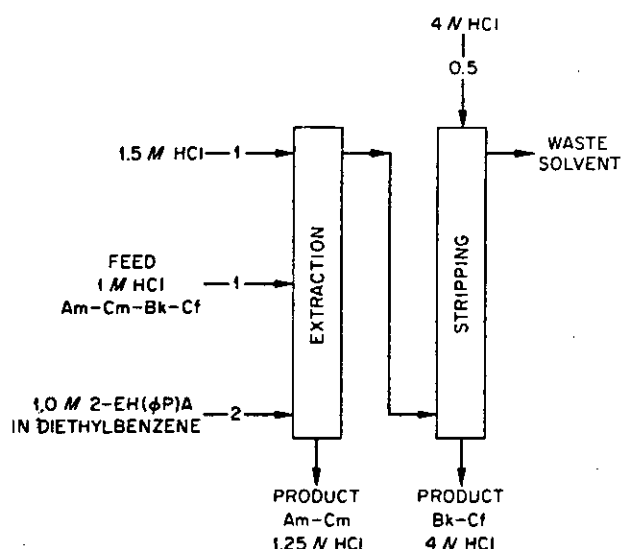


Fig. 2-15 Flowsheet of process for separating transcurium elements from Am-Cm by phosphonate extraction (Pharex process).

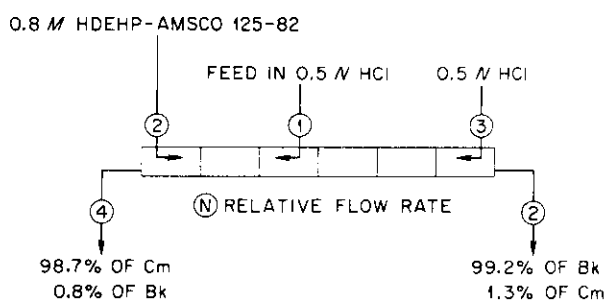


Fig. 2-16 Six-stage Hepex separation of berkelium and curium.

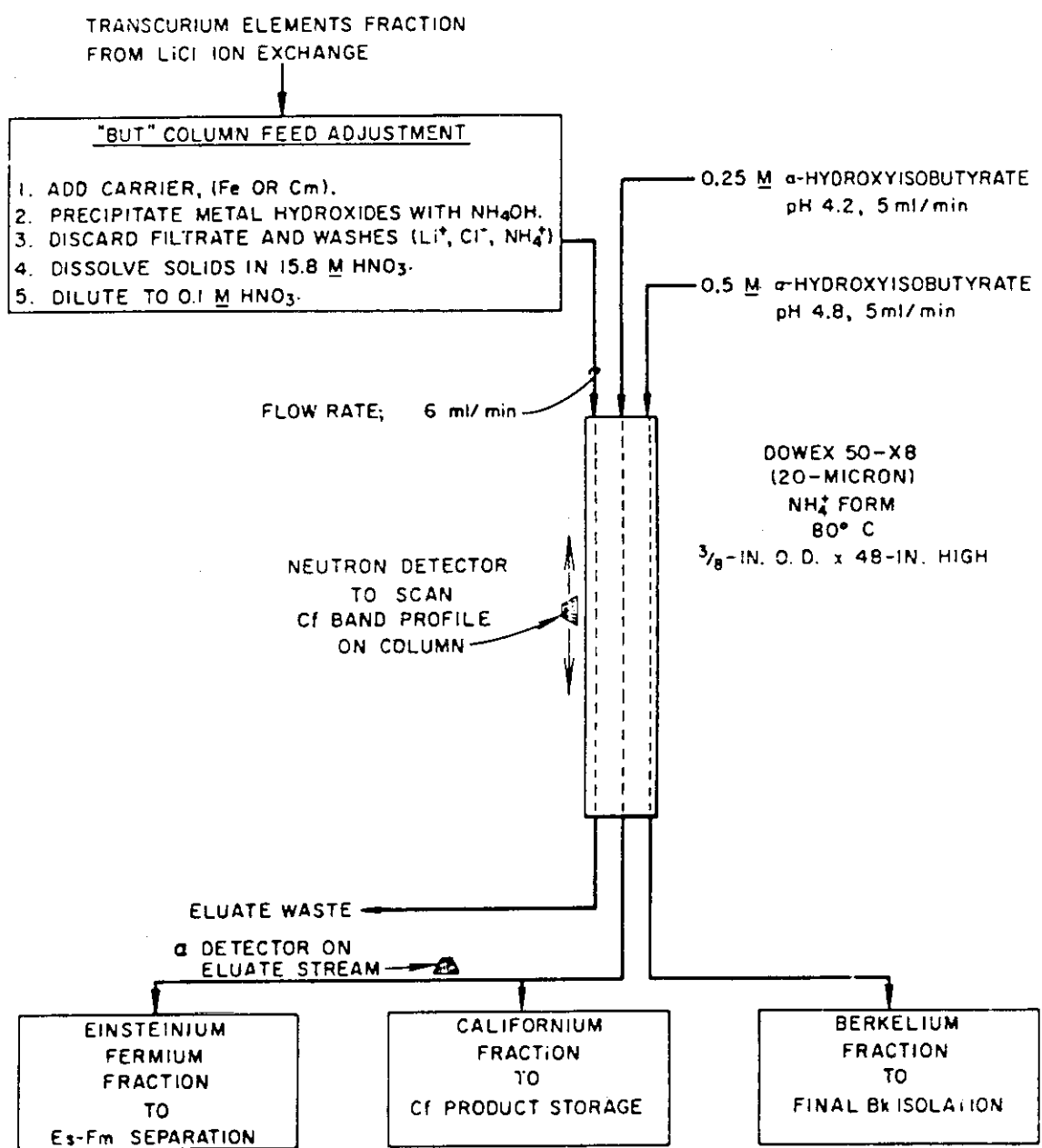


Fig. 2-17 Transuranium element isolation by elution with  $\alpha$ -hydroxyisobutyrate from a cation resin column.

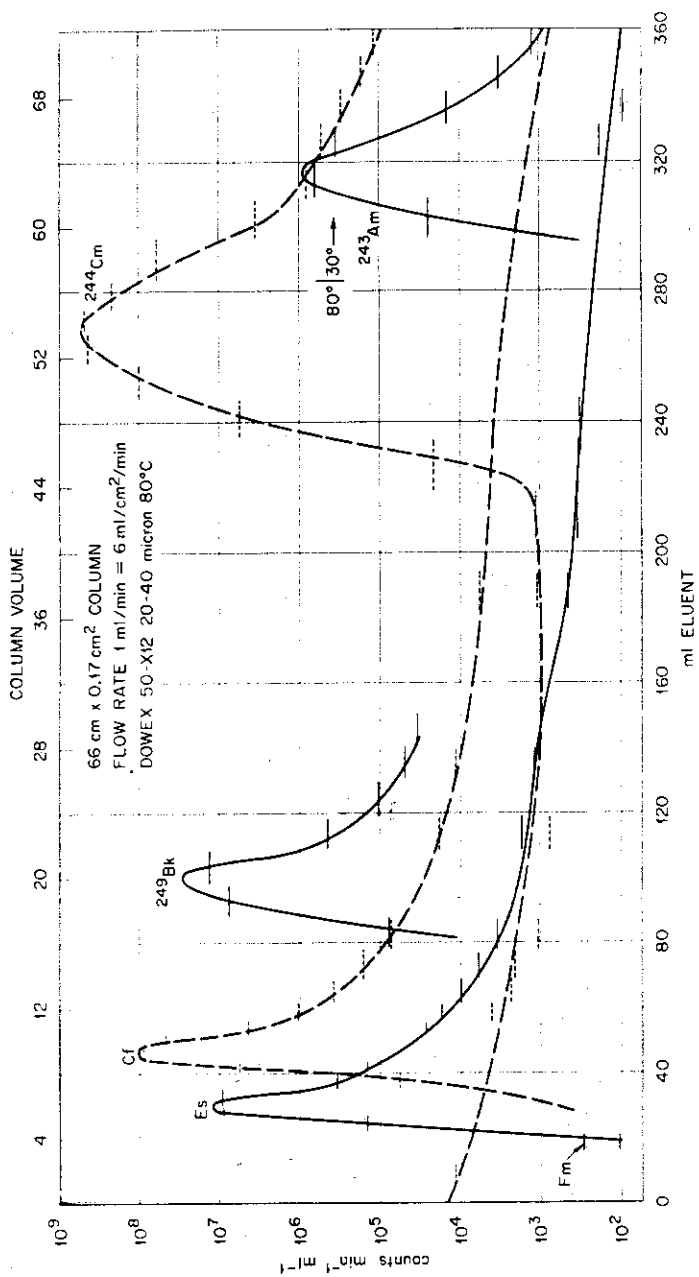


Fig. 2-18 Typical separation of actinide elements on a high-pressure column.

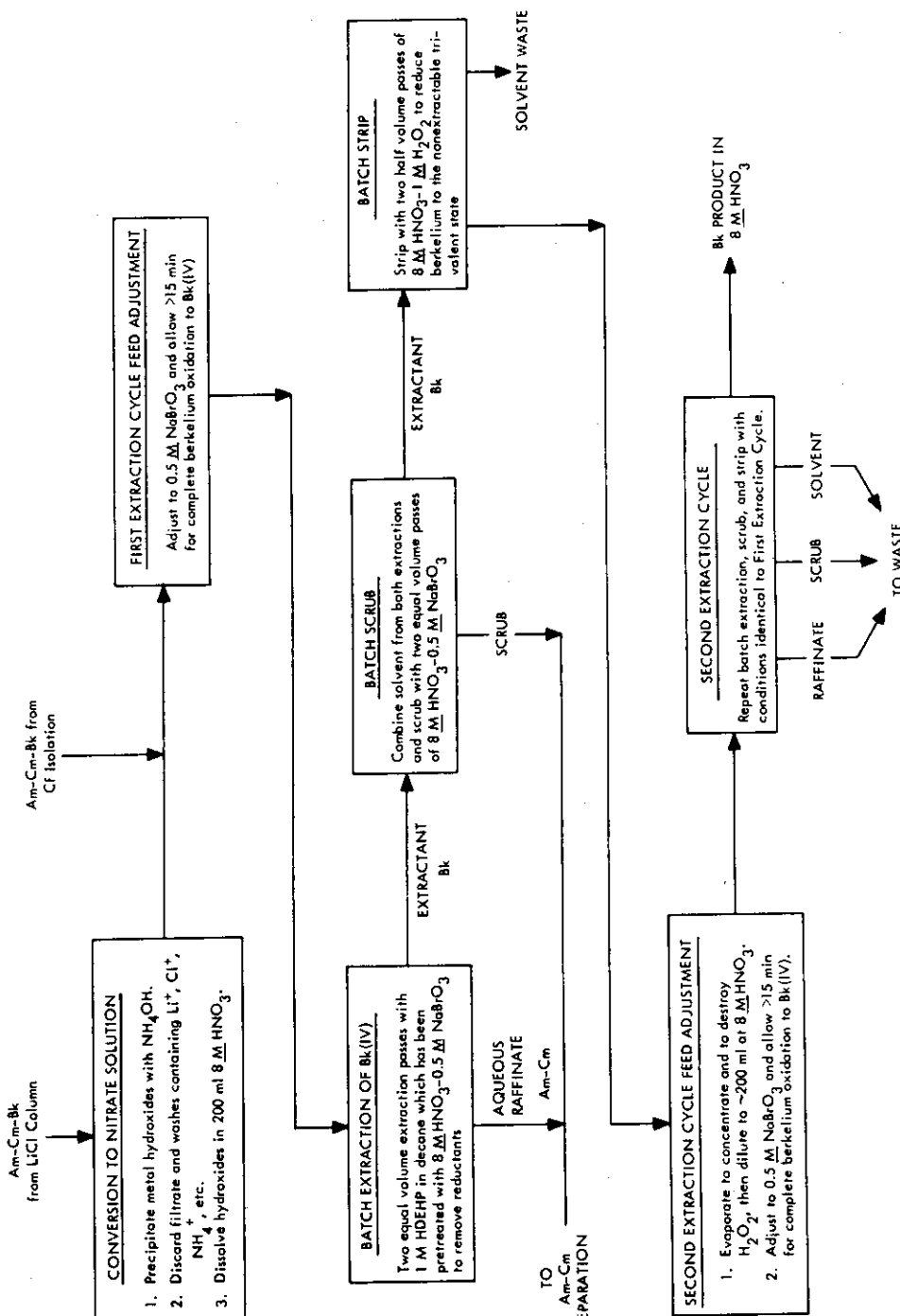


Fig. 2-19 Isolation of Bk by selective extraction of tetravalent Bk. Typical feed contained 1g of Cm, 1g of Am, and 20 to 50  $\mu\text{g}$  of Bk.

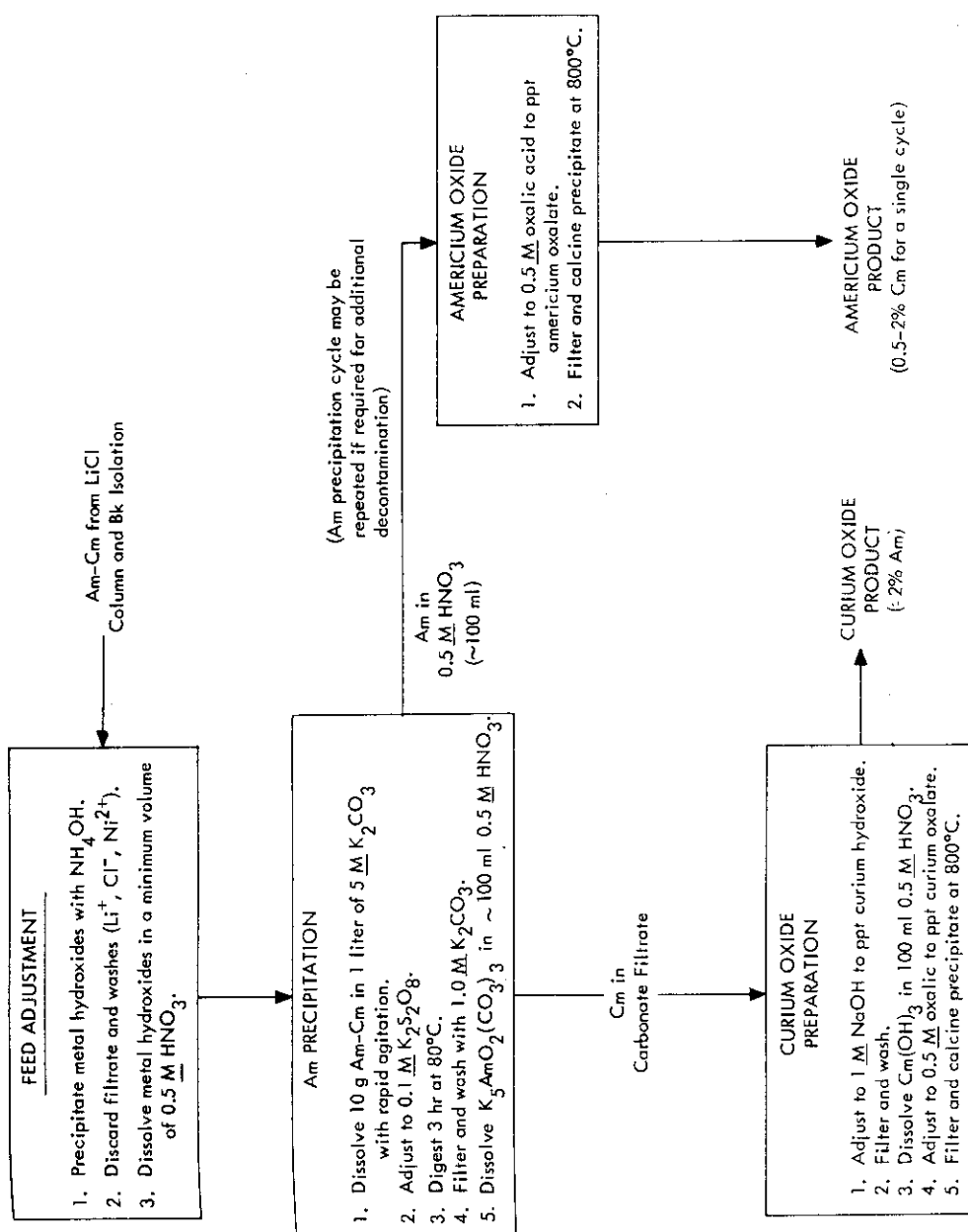


Fig. 2-20 Americium-curium separation by precipitation of americium potassium double carbonate.

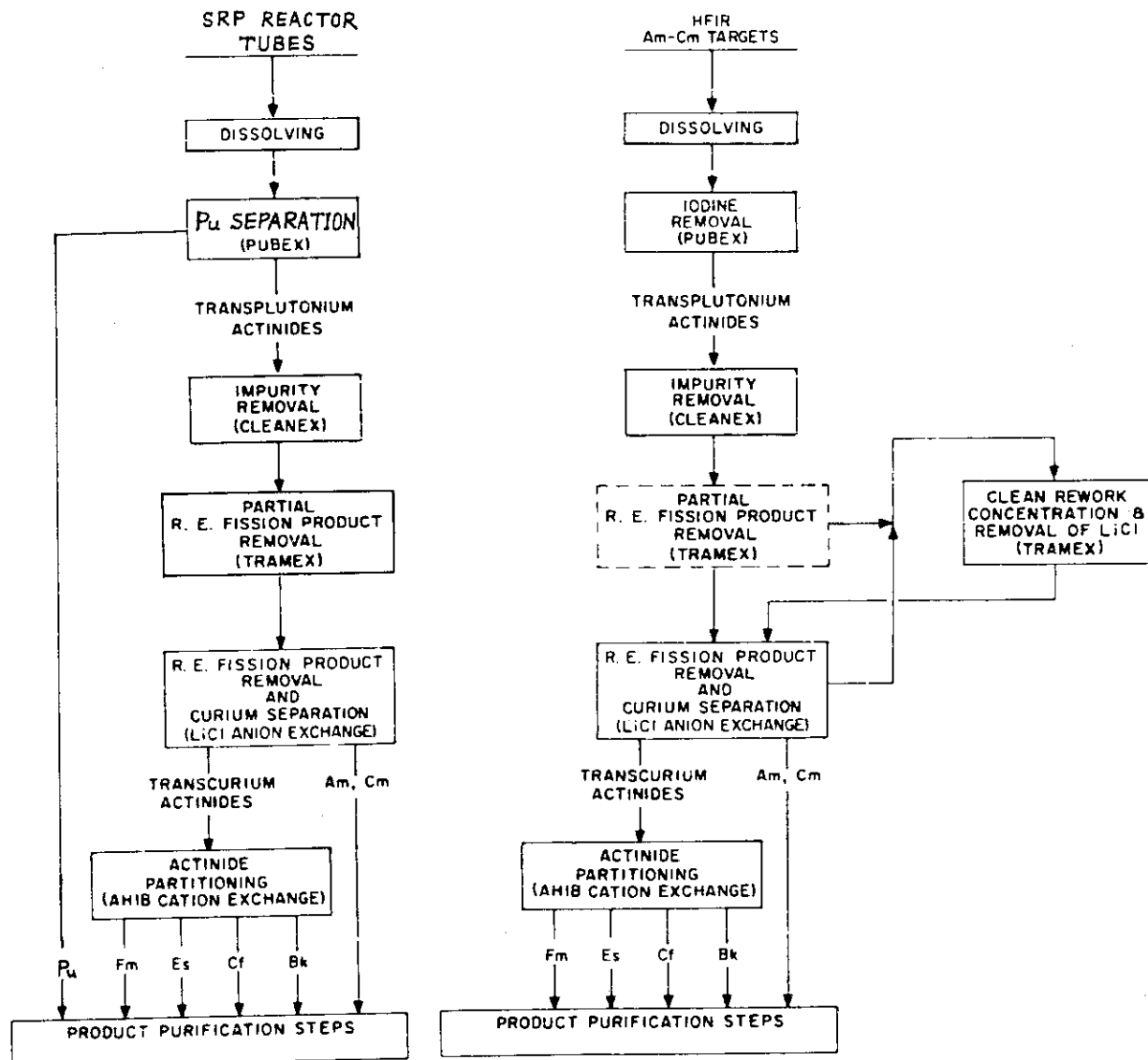


Fig. 2-21 Mainline processing steps used for recovery of transuranium elements from irradiated SRP reactor tubes and HFIR Am-Cm targets.

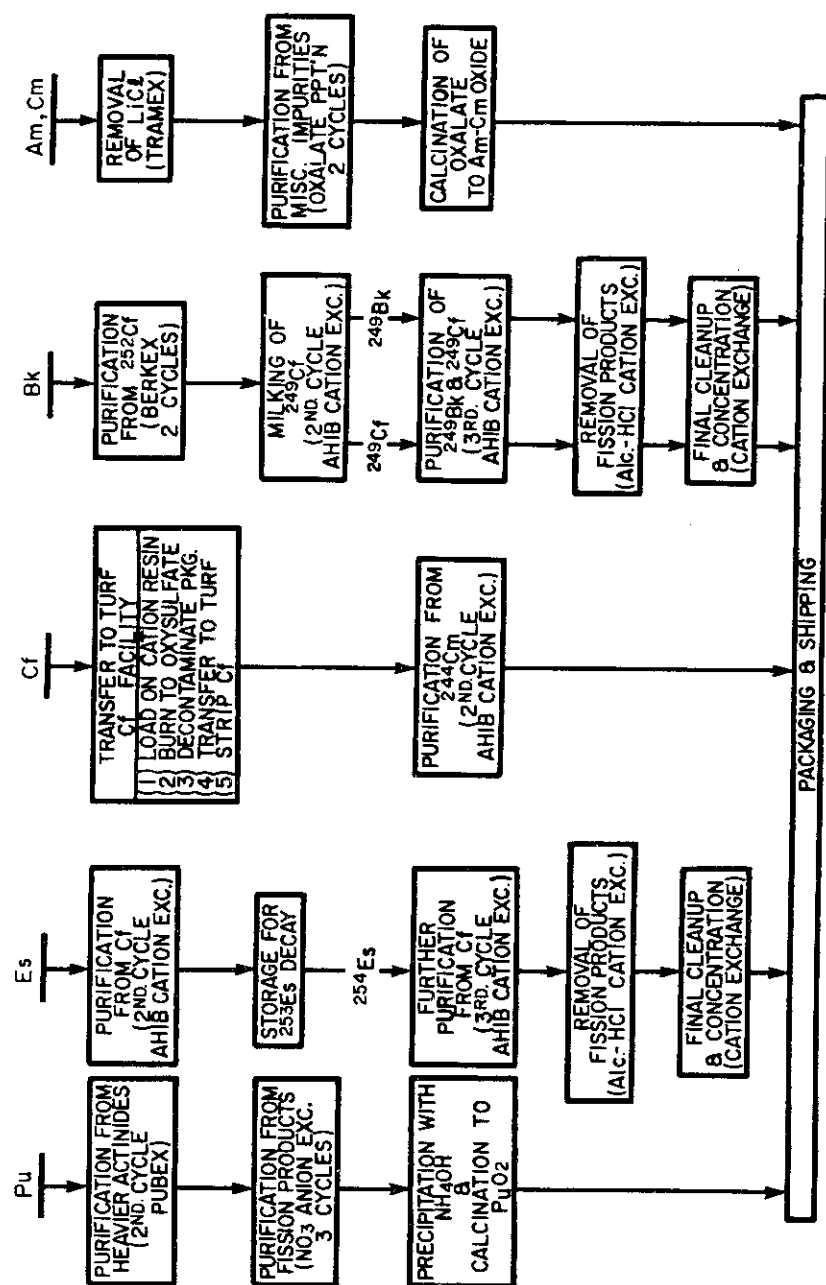


Fig. 2-22 Purification of products recovered from SRP tubes.

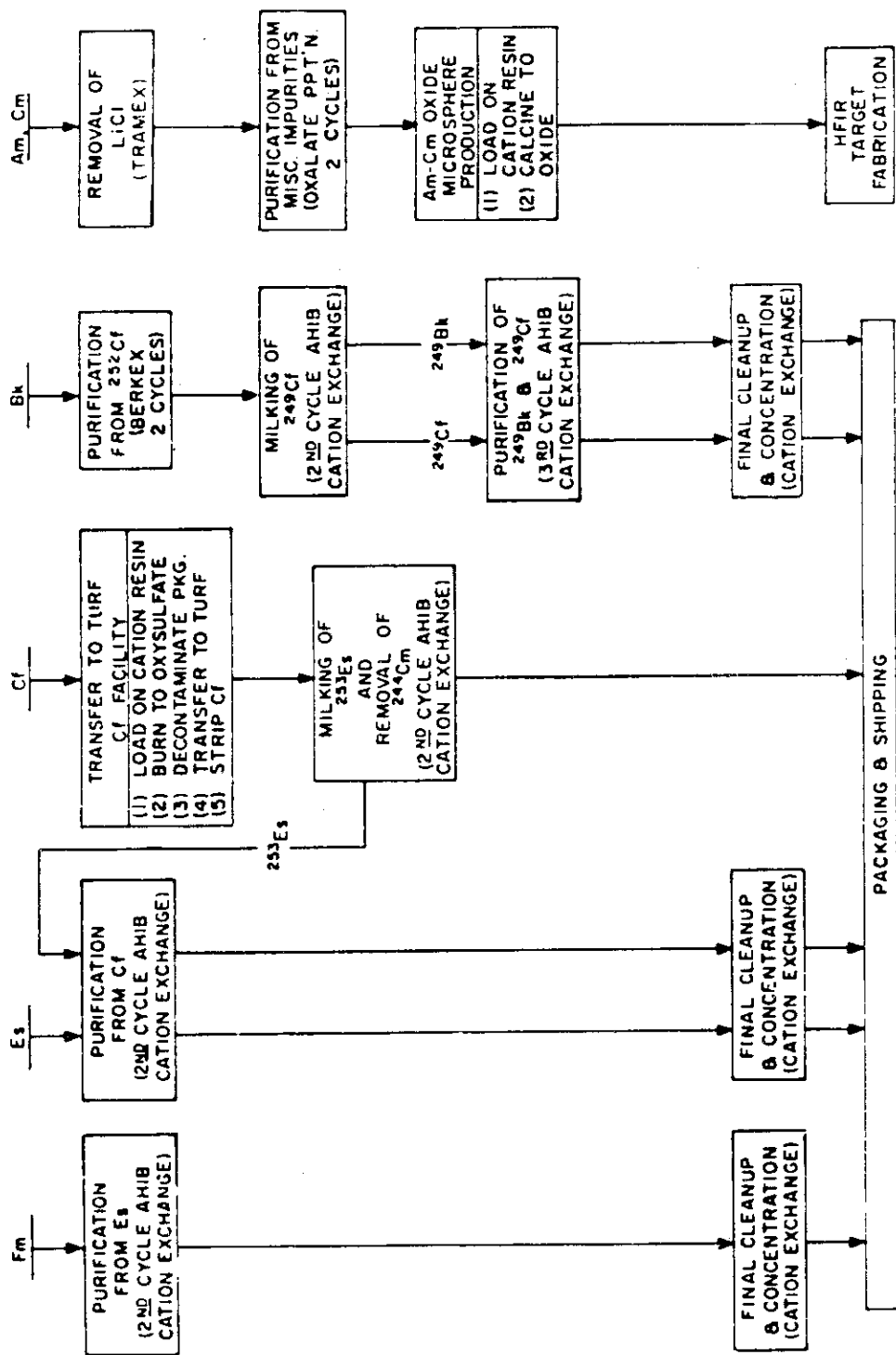


Fig. 2-23 Purification of products recovered from HFIR Am-Cm targets.

### 2.1.4 Rocky Flats Plant

$^{241}\text{Am}$ の製造は $^{241}\text{Pu}$ から分離回収して行われるが、米国では、Rocky Flats Plant (RFP) が最大の製造施設である。従ってこゝではRFPを代表例として取り上げる。Hanfordにおける $^{241}\text{Am}$ 回収については第II編で述べる。Los Alamos Scientific Lab. (LASL) でも $^{241}\text{Am}$ の回収が行われているが、最近の分離方法は知る事ができない。

RFPはAEC-ERDAの軍事用 Pu 生産施設として1951年以来大量の Pu を処理してきたが、<sup>45)</sup> 1956年頃から、これらの Pu から生成する $^{241}\text{Am}$  の回収製造を開始した。初期の頃の生産量<sup>46)</sup> は、数g／年であったが1965年頃の推定では4～5 kg／年にもなっている。分離法の主体は、Dow Chemical Co. が施設の運転を行っていた1975年迄は溶融塩抽出法-沈殿法-チオシアソ系イオン交換法であったが、その後、沈殿法-チオシアン法は陽イオン陰イオン交換法に置きかえられた。<sup>47)</sup>

溶融塩抽出法は、LASLとANLにおけるPuの精製法の開発がもとになっており、 $^{241}\text{Am}$ を含んだPu金属を750°Cで $\text{KCl}-\text{NaCl}-\text{MgCl}_2$ 溶融塩と攪拌接触させ、Amを $\text{AmCl}_3$ に酸化して溶融塩相に抽出するものである。Fig. 2-24にRFPにおける2段階バッチ抽出プロセスを示す。炉はタンタル製、加熱はアルゴン雰囲気中で行われる。 $^{241}\text{Am}$ を含んだ溶融塩は次に1M HClで溶解される。この溶液中には多量の $\text{K}^+$ ,  $\text{Na}^+$ ,  $\text{Mg}^{2+}$ ,  $\text{Cl}^-$ が含まれているので、沈殿法か陽イオン交換法でこれらの不純物を除き、陰イオン交換カラムでPuの除去を行なう。Fig. 2-25に沈殿法と陽イオン交換法を比較して示した。前者では、 $\text{Cl}^-$ が多量に沈殿中に残るので、次の濃硝酸溶解で生じる $\text{Cl}^--\text{NO}_3^-$ 混合液は装置、施設を腐食した。Amは、陰イオン交換カラムから7N HNO<sub>3</sub>で溶離し、0.4N HNO<sub>3</sub>に希釈後Dowex 50 W陽イオン交換カラムに通す。

Am(-RE) フラクションは5M NH<sub>4</sub>CNSで溶離し、次のDowex Al陰イオン交換カラムで<sup>45)</sup> AmとREの分離を行う。Amはさらに陽イオン、陰イオン交換カラムで精製される(Fig. 2-26)。チオシアン系イオン交換プロセスは、1960年から約15年間プラント規模で成功裏に運転されたが、 $\alpha$ 放射線による元素状イオウの生成、Am収率が60～70%と低い、粘性の大きな高濃度チオシアン溶液の取扱いが非常にやっかいである等の問題を残した。

1975年から、Fig. 2-27に示す陽イオン-陰イオン交換カラムプロセスが上記プロセスにと  
ってかわった。この方法は簡略で収率も良く、純度の高いAmが得られる。<sup>47)</sup>

回収した $^{241}\text{Am}$ は $\text{AmO}_2$ としてORNLに送られるが、通常の製造プロセスで得られるAmは0.5～5wt.%の不純物を含むので、高純度のAmが必要な時には更に精製が行われる。RFPにおいてProctorらが開発した精製法をFig. 2-28, 2-29に示す。前者はREのフッ化物沈殿除去、Amのシュウ酸塩沈殿、そして鉛と銀の塩化物沈殿除去より成る。得られた $\text{AmO}_2$ の不純物量は約600ppmであった。<sup>53)</sup>この方法によって200gのAlと57gのAmの分離も行われた。後者は、不純物の中で最も多く含まれるCe(0.1～5%)の除去法で、AmへのCeの含有率を500ppm以下にできた。他の不純物も50ppm以下となり、Amの損失は1%以下である。<sup>54)</sup>

Fig. 2-30にLASLで行われたAmの沈殿分離法を示す。これらは、Am(V)のアルカリ金属炭酸塩との複塩沈殿法、Am(VI)-Am(III)のフッ化物法、硫化物沈殿法より成る。LASLでは最近、溶離剤陽イオン交換法も用いられている。

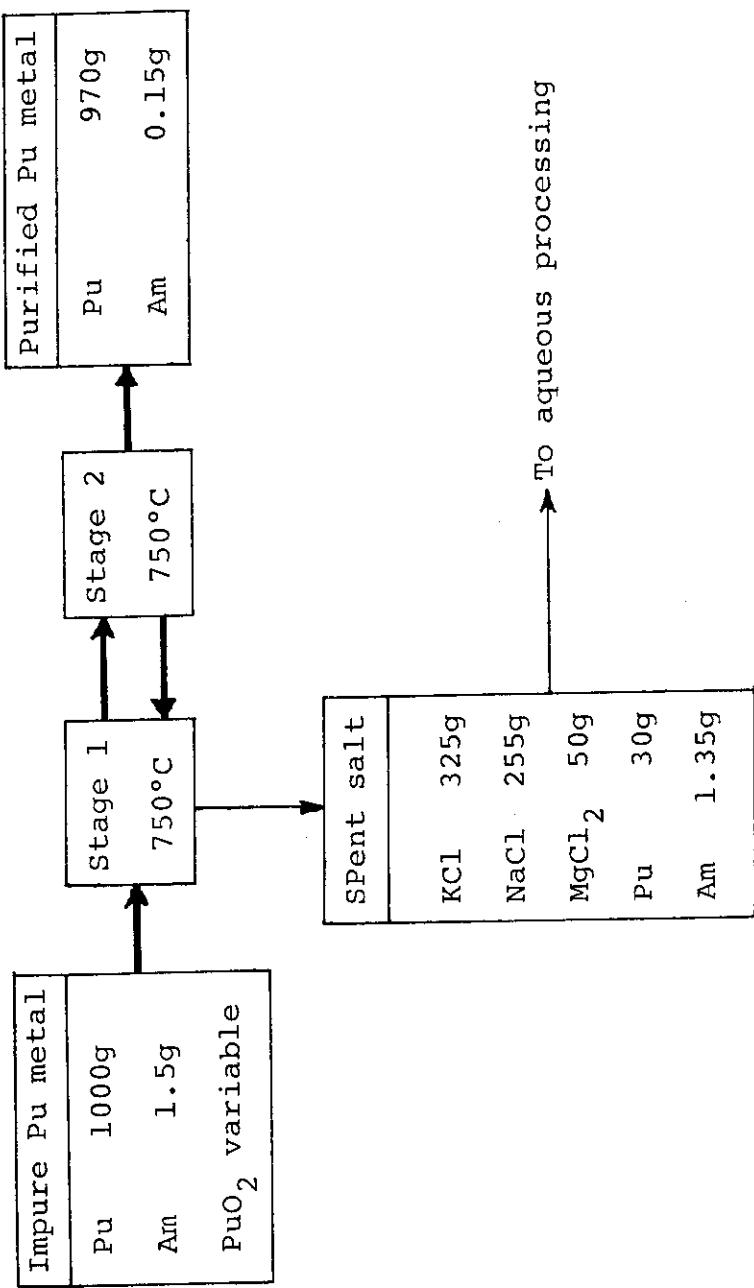


Fig. 2-24 Rocky Flats molten-salt americium extraction process.

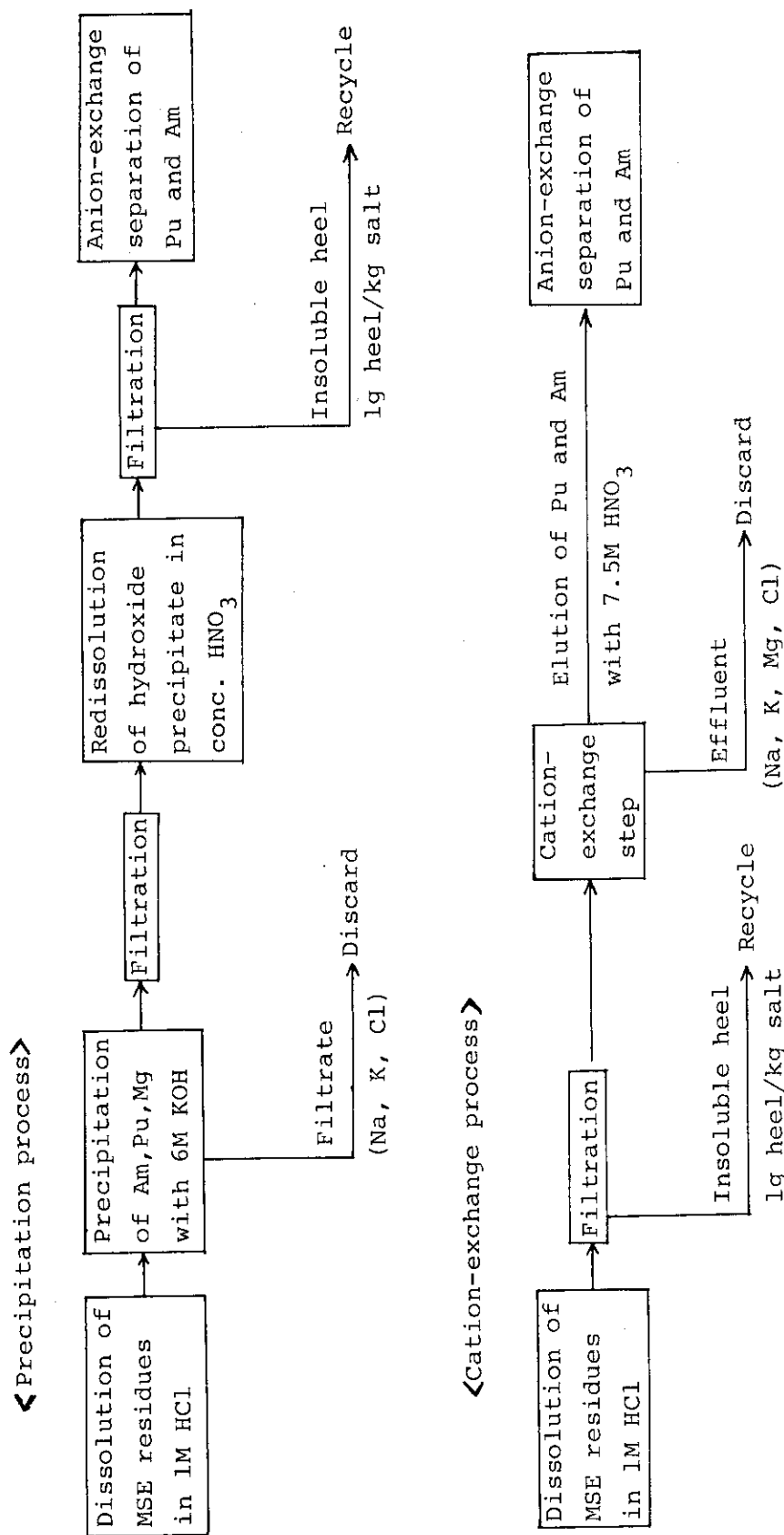


Fig. 2-25 Ion exchange vs hydroxide precipitation head-end processes at the Rocky Flats Plant.

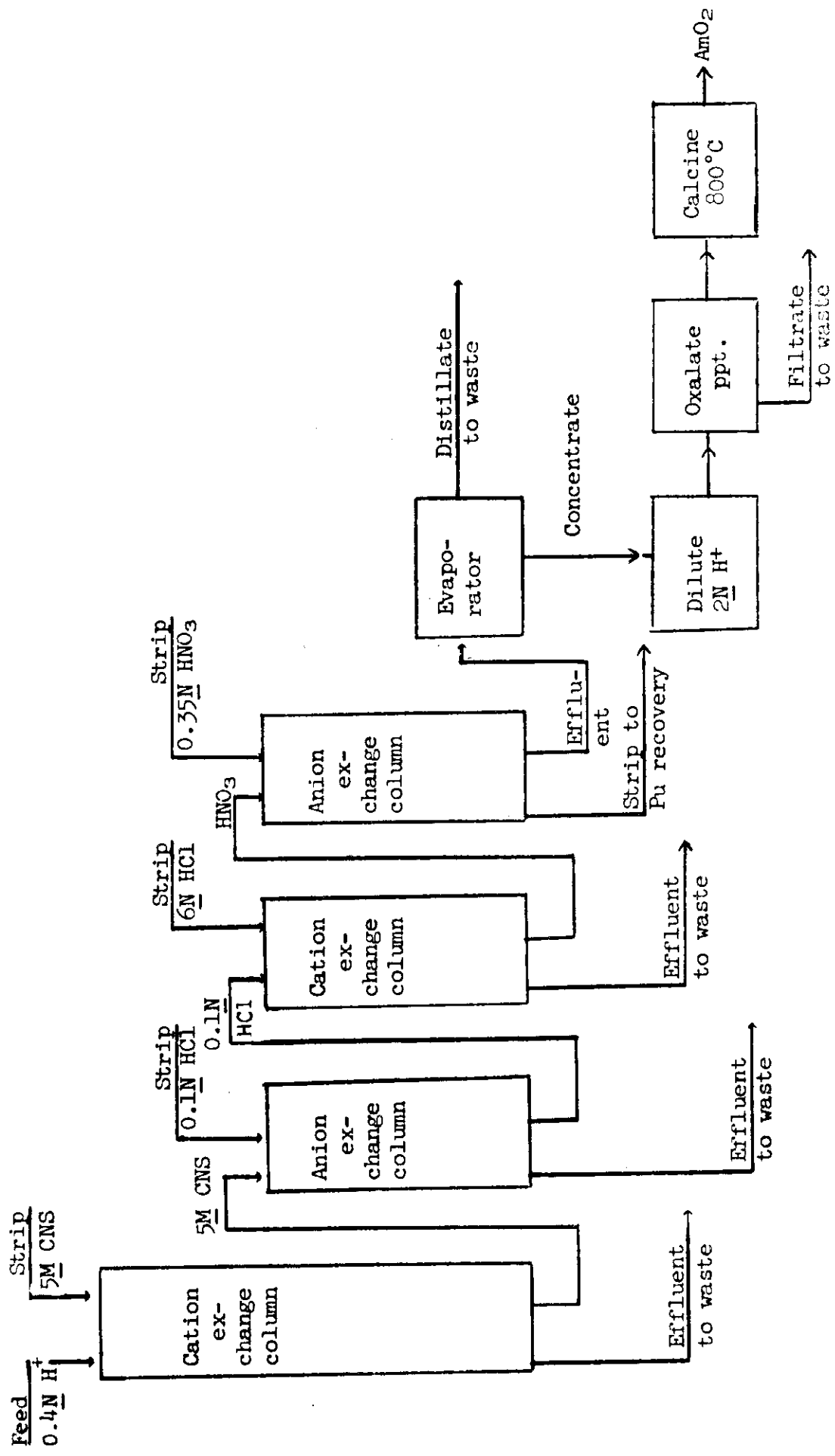


Fig. 2-26 Flowsheet of thiocyanate complexing process for recovery of Am at Rocky Flats .

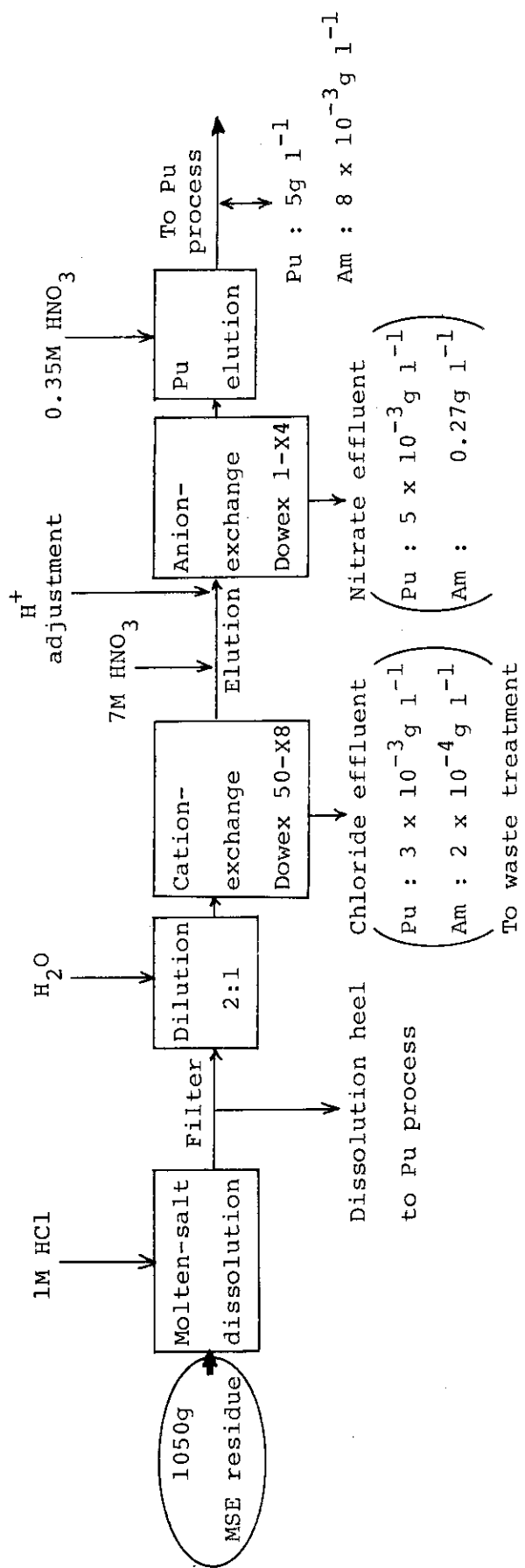


Fig. 2-27 New cation-exchange process used at the Rocky Flats Plant for recovering Am from MSE process residue.

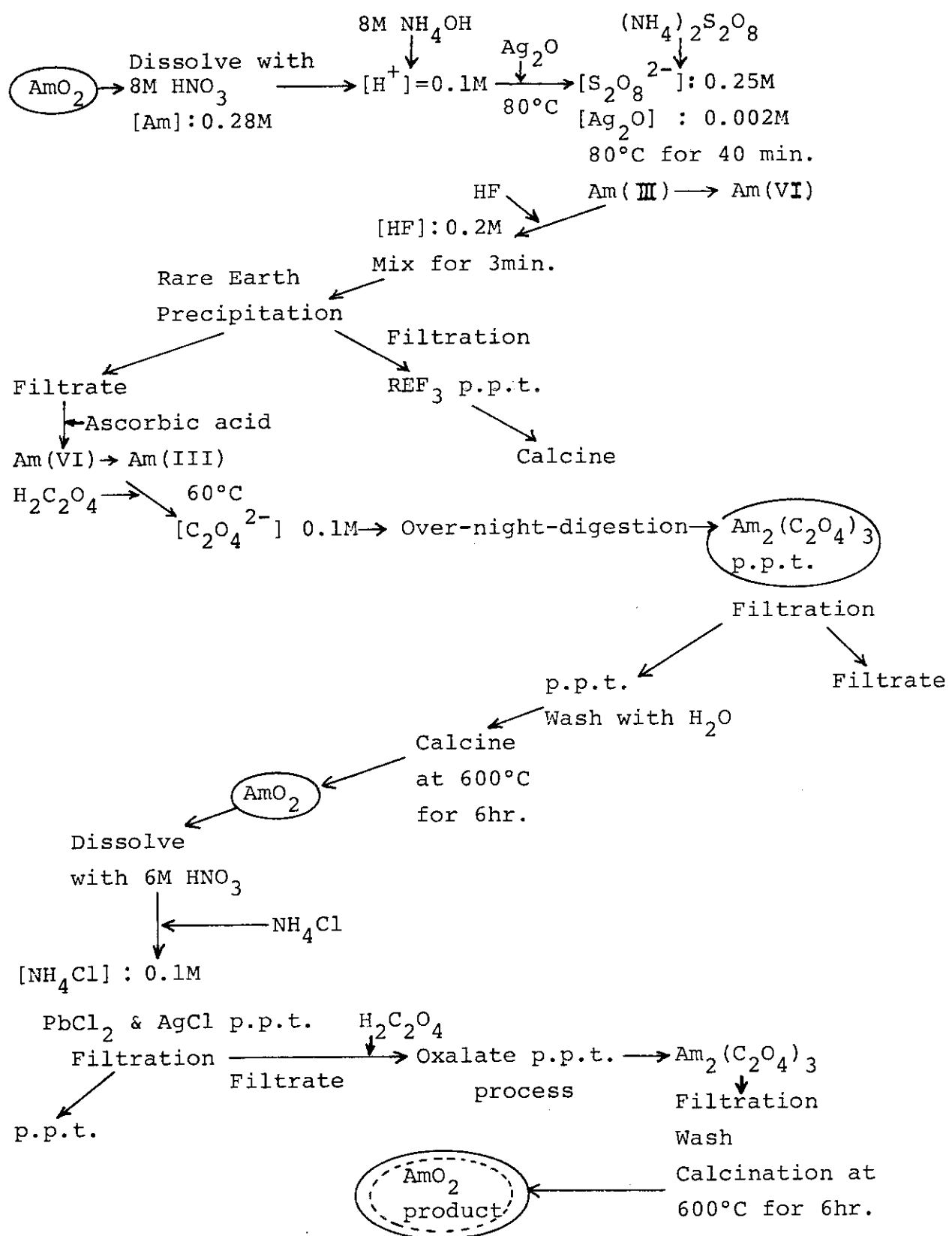


Fig. 2-28 Process flow sheet for preparation of high purity  $\text{AmO}_2$  at the Rocky Flats Plant.

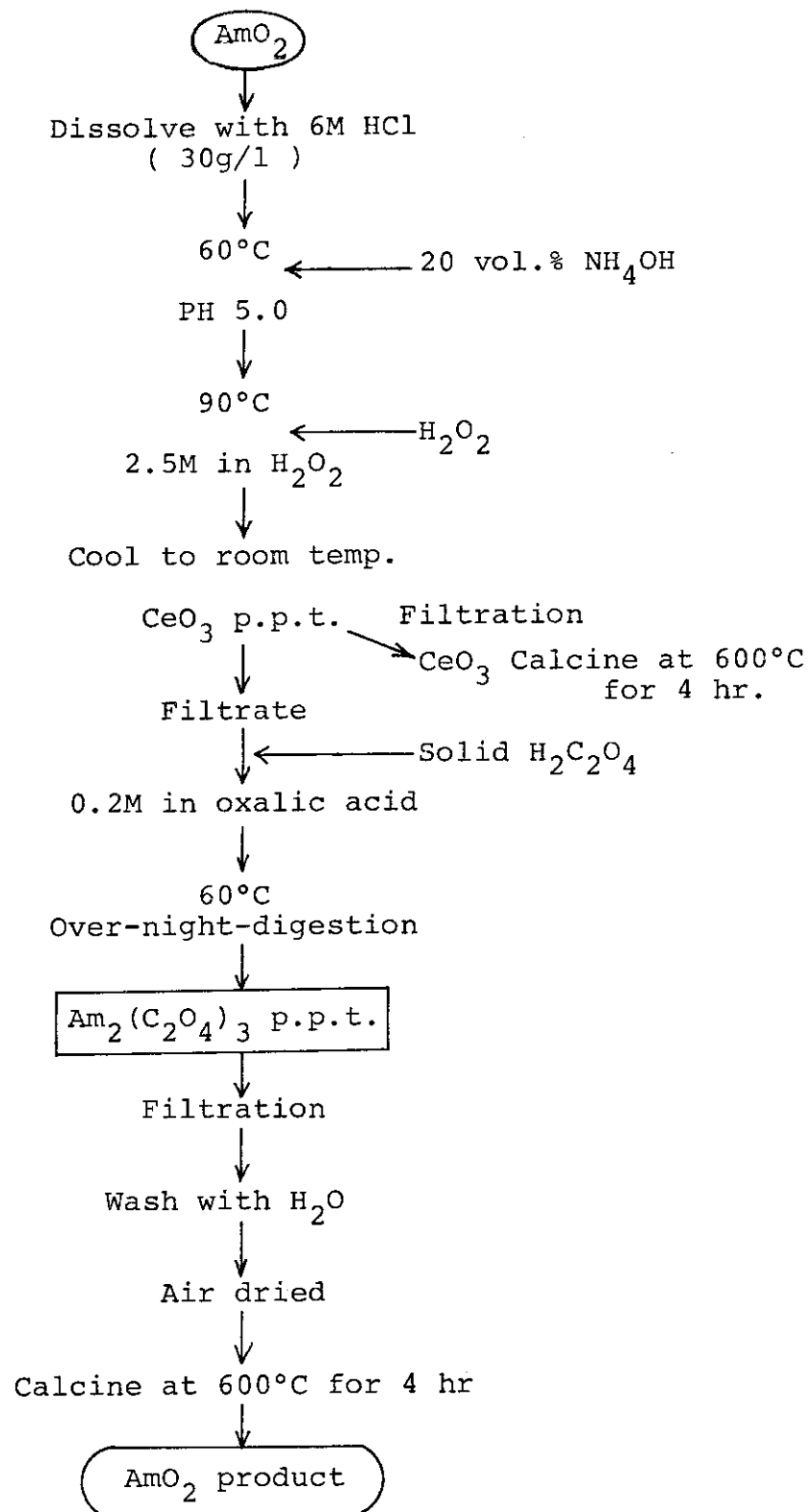


Fig. 2-29 Process flow sheet for separation of Ce from Am

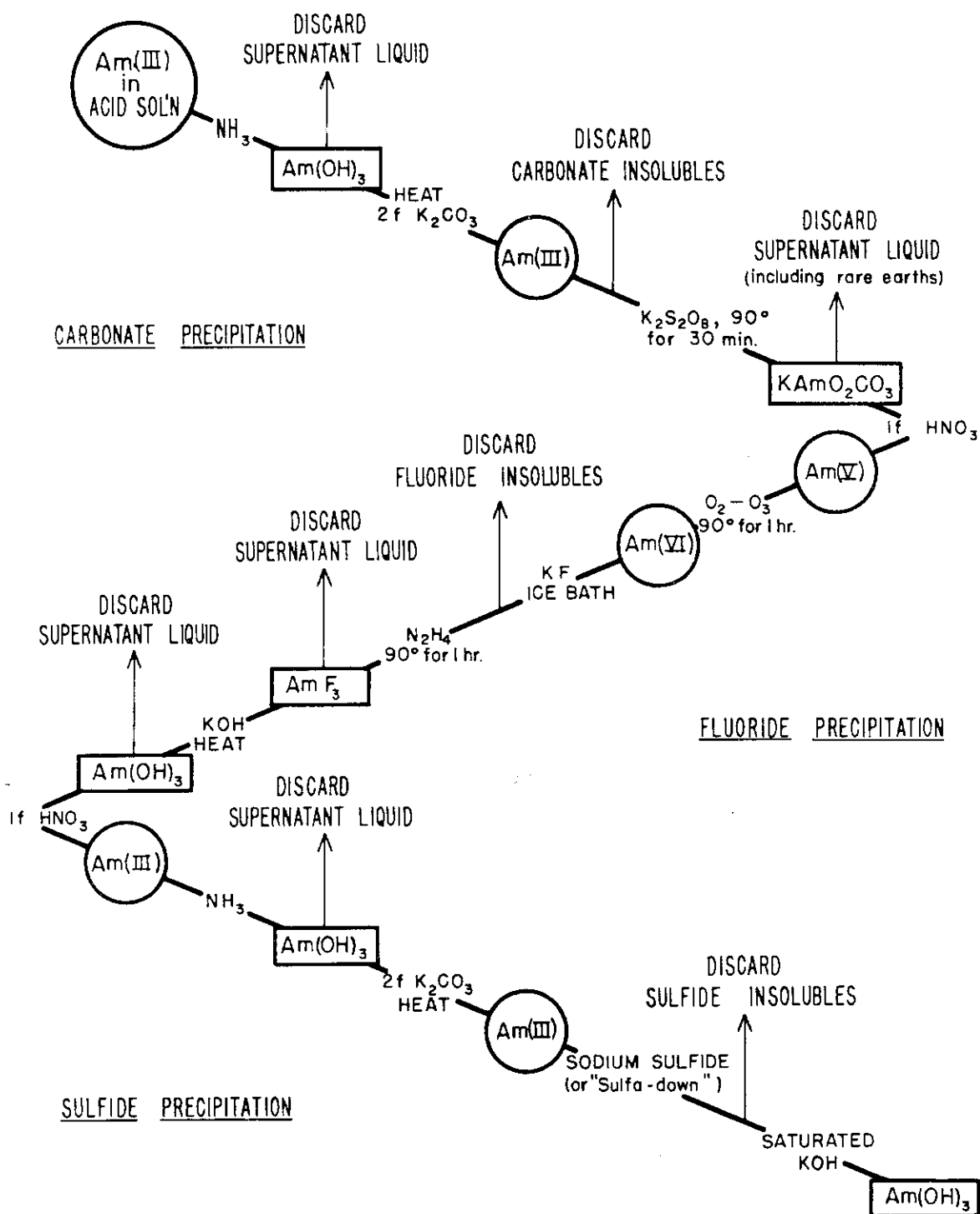


Fig. 2-30 Purification scheme for americium involving an oxidation-reduction cycle.

## 2.1.5 アルゴンヌ国立研究所 (ANL)

ANLでは、1964年頃よりHorwitzらにより、照射した<sup>241</sup>Amから<sup>242</sup>Cmを分離するプロセスが種々検討された。<sup>56)</sup>初期のプロセスはNaOH-NaNO<sub>3</sub>によるAmO<sub>2</sub>-Alキャップセルの溶解、アミン(Alamine-336)によるPu等の抽出、LiCl-HCl-陰イオン交換カラムによるAm-Cmと他のFPとの分離、そしてKAmO<sub>2</sub>CO<sub>3</sub>沈殿法によるAmとCmの分離とCmの精製工程より成っていた。その後の実験で工程は改良され、<sup>57)</sup>1969年の報告によれば、ターゲットは7M HNO<sub>3</sub>-0.005MHg<sup>2+</sup>により溶解し、1.7M Al(NO<sub>3</sub>)<sub>3</sub>-0.05MH<sup>+</sup>溶液から0.4M Aliquat 336-nitrateでPu(IV)、Am-Cm、RE(III)を抽出してCs、Sr、Zr-Nb、Alを除く、次にAmをKAmO<sub>2</sub>CO<sub>3</sub>沈殿法により分離する。その後、Aliquat-336およびDEHPAをそれぞれ吸着したカラムによる抽出クロマトグラフィーによって<sup>242</sup>Cmの精製を行う。AmとCmの分離精製工程をFig. 2-31に示した。LiNO<sub>3</sub>は2-ethylhexyl phenyl phosphonic acid [2EH(ΦP)A]による抽出工程で除かれる。抽出クロマトグラフィーは高い分離係数が得られ、収率も良い。Horwitzらは、3年間で120Ci以上の<sup>242</sup>Cmを分離した。全体の平均収率は約90%で、損失は主としてKAmO<sub>2</sub>CO<sub>3</sub>沈殿法に起因する(8~9%)。<sup>242</sup>Cm中のAmの量は100ppm以下である。全ての工程を終えるには10~12日を要する。

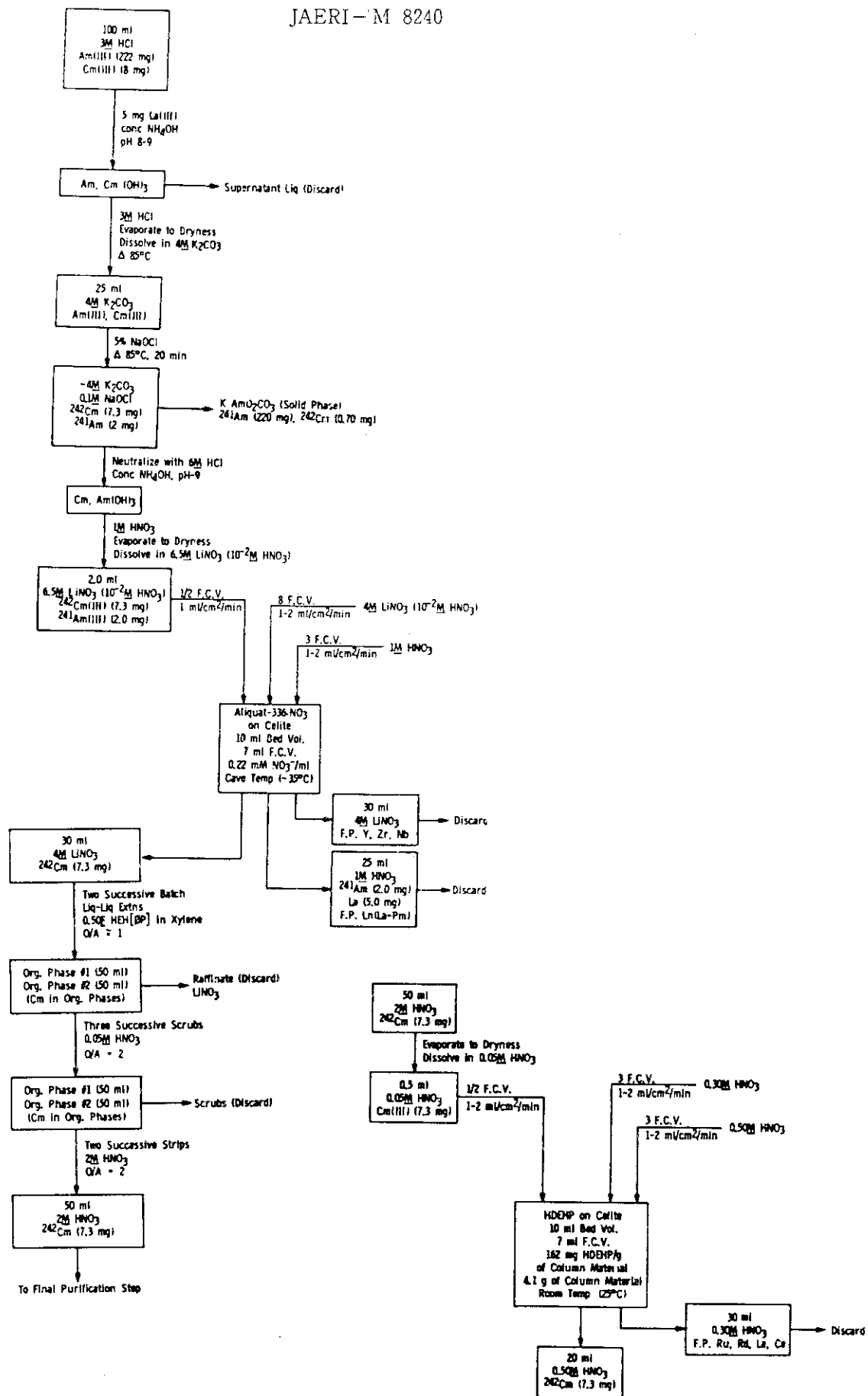


Fig. 2-31 Flowsheets for the separation of americium and curium and for the final purification of  $^{242}\text{Cm}$ .

## 2.2 ソ連邦

ソ連ではTPEの分離法として、DEHPAを用いた抽出法および抽出クロマトグラフィーが開発<sup>58)</sup>されている。その中のいくつかを述べる。

### (a) Topexプロセス

これはTalspeak法の改良型である。1M乳酸-DTPA溶液からDEHPA-デカンによりREを抽出し、次にAl(NO<sub>3</sub>)<sub>3</sub>を約1Mまで加えてから、30%TOPO-ベンゼンでTPEを抽出する(TPEのDfは約10<sup>3</sup>)。次に6MHNO<sub>3</sub>でTPEは逆抽出される(Df=10<sup>-2</sup>)。この方法では、TalspeakにおけるようなpHを1.5に調節する操作が省略でき、抽出段でプロダクトの濃縮も可能でZrの除去効率も高い(10<sup>3</sup>)。

Kurchatov原子力研究所では、Topexプロセスの抽出クロマトグラフィーを開発した。その場合TPE-REの1M乳酸-DTPA溶液を抽出クロマトカラムに直接通してREのみ吸着させることができ。この方法は例えば、300mgの<sup>244</sup>Cmの精製とか、照射済<sup>244</sup>Cmターゲットの処理でCfを含むTPE混合物のREからの分離に応用された。

### (b) Okvibekプロセス

名称は「Oxidation-reduction separation of berkelium by extraction using complexing agents」に由来する。

BkはKBrO<sub>3</sub>(0.3M)-6MHNO<sub>3</sub>で4価に酸化され(80°C, 30分), 0.5M DEHPA-デカンに抽出される。次にhydroxylamineによって3価に還元して、乳酸-DTPA溶液で水相にもどす。Fig. 2-32に抽出工程を示した。また、Okvibekプロセスの抽出クロマトグラフィーへの応用例をFig. 2-33に示した。これらの方法はBkとCeの分離、あるいはBkの他のTPEからの分離に適用された。SM-2原子炉で照射した<sup>242</sup>Puあるいは<sup>244</sup>CmターゲットからBkを回収するために、OkvibekプロセスとTopexプロセスを結合したプロセスが考えられた。すなわち、Kurchatov研究所では、SM-2原子炉( $2 \times 10^{16} \text{n} \cdot \text{cm}^{-2} \cdot \text{sec}^{-1}$ )で $2 \sim 6 \times 10^{22} \text{n} \cdot \text{cm}^{-2}$ だけ照射したPuおよび<sup>243</sup>Am-<sup>244</sup>CmターゲットからTPEを分離回収する目的でFig. 2-34に示す化学処理プロセスを行った。これらの各ステップはほとんど抽出クロマトグラフィーを用いている。Pu(V)は、4M HNO<sub>3</sub>-1M Al(NO<sub>3</sub>)<sub>3</sub>溶液からアミン(TOA)-シリカゲルカラムに吸着させ、99%のPuは0.4M sulfamic acid-0.1M HNO<sub>3</sub>で溶離する。Puはショウ酸塩沈殿法で精製する。Bkの精製は、Okvibek, Topex両プロセスを交互に繰り返して行う。2サイクルの場合他のTPEおよびPuからの除染係数は10<sup>3</sup>, Bkの損失は1%以下であった。Alの除去は、methylphoshonic acidのdiisoamyl ether(DAMP)カラムへのTPEの吸着により行う。このプロセスにおける損失は0.1%であった。

TPEとREとの分離はTopexプロセスにより、またCmとCf-Esとの分離は0.5M HNO<sub>3</sub>溶液からDEHPAカラムにCfとEsを吸着する事により行い、CfとEsの分離は、TOAカラムを用いたクロマトグラフィーにより行われた。Cf-Esは8M LiNO<sub>3</sub>(pH 2.5~3.0)から吸着し、6M LiNO<sub>3</sub>(pH 2.5~3.0)溶液でCf→Esの順に溶離された。Cfフラクションは收率80%でEsの含有量10<sup>-3</sup>以下、Esフラクションは收率50%でCfの含有量 $2 \times 10^{-3}$ であった。

以上のプロセスにより多くのターゲットが処理され、合計で数mgの<sup>252</sup>Cf、数百μgの<sup>244</sup>Bk、そして数μgの<sup>253</sup>Esが得られた。

他方、原子炉科学研究所 (NIIAR) においても、SM-2 原子炉で照射した種々の組成のターゲットから、TPEを分離製造するプロセスが開発された。そこでは、照射ターゲットを 3 ~ 4 M NaOH - 1.9 M NaNO<sub>3</sub> および 4 ~ 10 M HNO<sub>3</sub> で溶解し、Pu を 30% TAA-デカンで抽出回収する。TPEと RE の分離は、0.3 M クエン酸溶液 (pH 3 ~ 3.5) から 0.3 M DEHPA-DEB で共抽出後、0.015 M DTPA溶液でTPEのみ逆抽出する。RE は 4 ~ 6 M HNO<sub>3</sub> で逆抽出する。その後のTPEの相互分離は、単に硝酸濃度を変える事によるDEHPA-デカン抽出で行う。プロセスの概略をFig. 2-35 に示した。このプロセスにより得られたCmとCf フラクションの特性をTable 2-3 に示す。

最後の抽出ステップは、古くなつた<sup>252</sup>Cf-中性子源から、<sup>252</sup>Cf とその娘の<sup>248</sup>Cmを分離回収する目的にも用いられた。

Table 2-3 Characteristics of the curium and californium preparation obtained

Characteristics	Curium fraction( % )	Californium fraction( % )
Isotopic composition	<sup>244</sup> Cm, 65 <sup>245</sup> Cm, 1 <sup>246</sup> Cm, 30 <sup>247</sup> Cm, 1 <sup>248</sup> Cm, 2	<sup>249</sup> Cf, 7 <sup>250</sup> Cf, 10 <sup>251</sup> Cf, 3 <sup>252</sup> Cf, 80
Content of fission products (Ci/g)		
<sup>106</sup> Ru- <sup>106</sup> Rh	$10^{-4}$	
<sup>144</sup> Ce	$10^{-4}$	
<sup>141</sup> Ce	$10^{-4}$	Not detected
<sup>95</sup> Zr	$10^{-4}$	
<sup>95</sup> Nb	$10^{-5}$	
<sup>137</sup> Cs	$10^{-5}$	
Contribution of fission products to total $\gamma$ -dose rate	2%	1%
Content of nonradioactive impurities	3%	3-10mg/mg <sup>252</sup> Cf

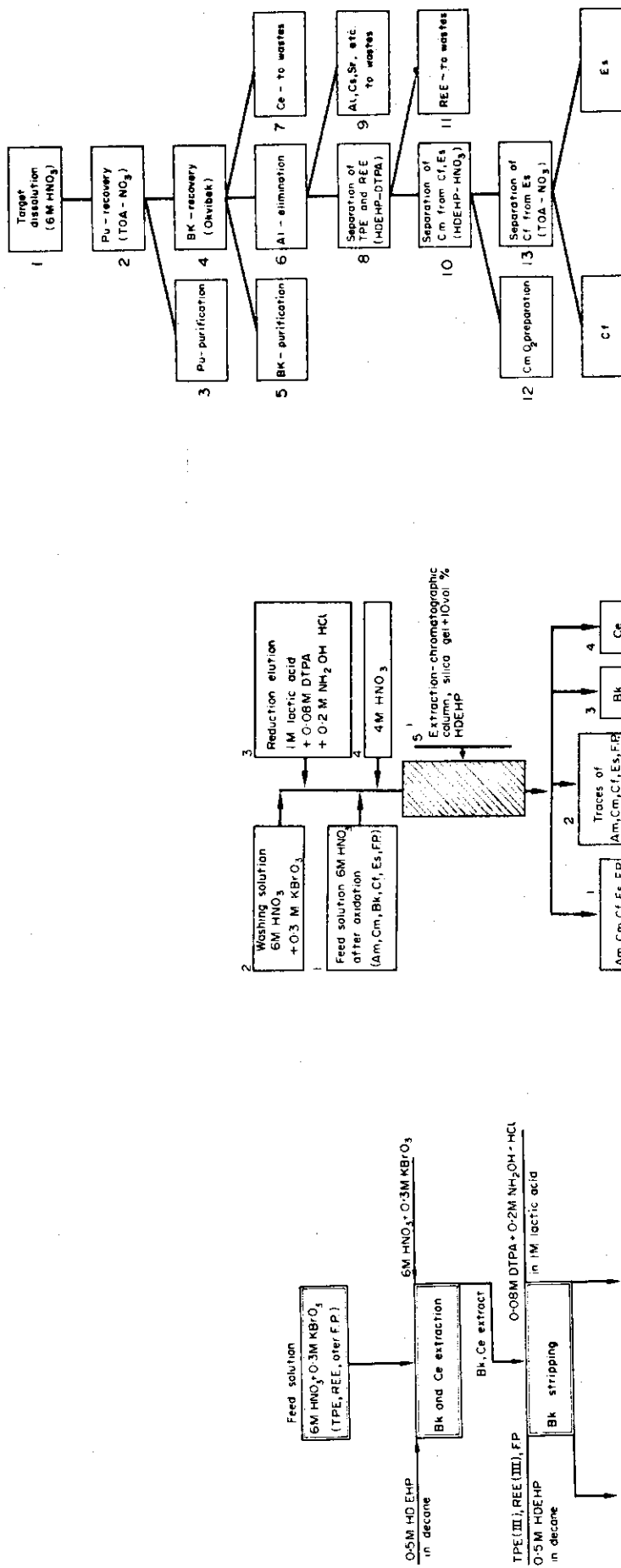


Fig. 2-32 Okvibek-process, Principal scheme.

Fig. 2-33 Extraction-chromatographic version of the Okvibek-process.

Fig. 2-34 Principal flow-sheet for the recovery of TPE from irradiated targets.

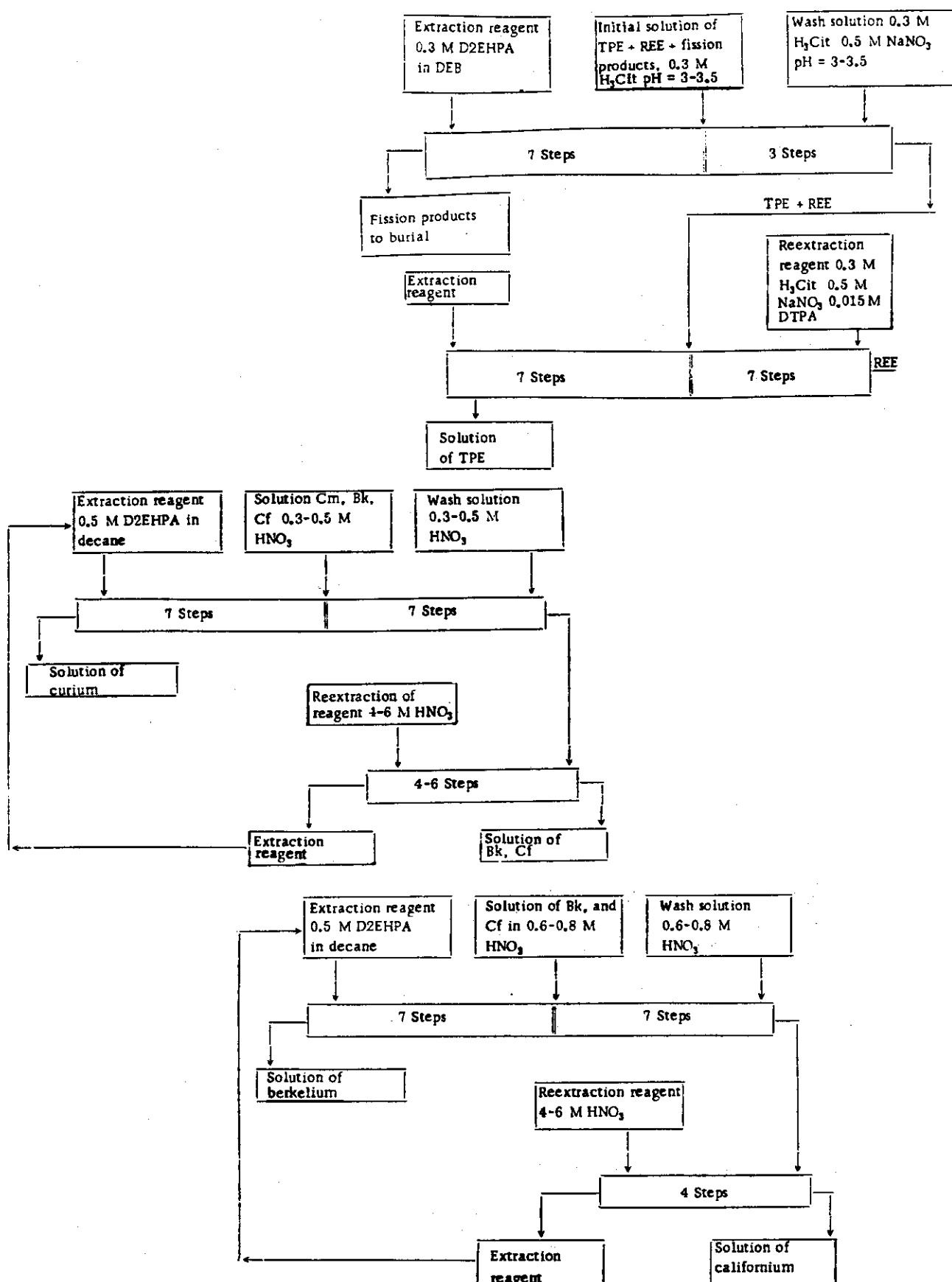


Fig. 2-35 Scheme of separation of berkelium and californium.

## 2.3 European Atomic Energy Community (Euratom)

### 2.3.1 Mol 原子力研究所

1965年1月、CENのMol原子力研究所ではEuratom Transplutonium Element Program<sup>18), 60)</sup>の一環として米国のMTRで照射したAmO<sub>2</sub>ターゲットの化学処理を行った。

Kooiらは、AmO<sub>2</sub>約2.5 gを含むAmO<sub>2</sub>-Alサーメットから約25 μgのCfと0.7 μgの<sup>249</sup>Bkを分離した。主な分離プロセスをFig. 2-36に示す。ターゲットの溶解は、5M NaOH-2M NaNO<sub>3</sub>-1M NaNO<sub>2</sub>と、続いて7M NaOH-3M NaNO<sub>3</sub>で行われた。不溶性水酸化物沈殿は王水に溶かされた。こうして得られたPu, FP, TPEを含む溶液は、次に塩酸系陰イオンカラムに通され(Pu除去), LiCl-HCl系陰イオン交換カラムで相互分離された。Bk-Cfフラクションは更に種々のサイズのDEHPA-Kieselguhrカラムによる抽出クロマトグラフィー(80~90°C)で分離精製された。抽出カラムによるクロマトグラムの1例をFig. 2-37に示す。LiCl陰イオン交換カラムではα放射線によるガス(気泡)の発生が顕著であった。

Kooiらは、抽出クロマトグラフィーが操作も簡単でかつ安定、高分離能を有することから、LiClカラムも抽出カラムと交換するよう提案している。

### 2.3.2 European Transuranium Institute

Karlsruheにあるこの研究所では、TPEの物理的、化学的性質を研究する目的で、中規模すなわちグラム量のTPEの分離精製法を種々開発した。その中のいくつかを以下に述べる。<sup>61), 62)</sup>

Fig. 2-38に示したのは、オゾン酸化法によるAm(V)の調製と、そのK<sub>3</sub>AmO<sub>2</sub>(CO<sub>3</sub>)<sub>2</sub>沈殿法によるAmの精製プロセスである。炭酸塩沈殿法は、使用済RI電池の熱源からアクチノイドを回収する目的にも利用された。

Fig. 2-39は抽出クロマトグラフィーが導入される以前に用いられたチオシアニン系陰イオン交換法によるAmの精製プロセスである。この方法では、α線とHClによってチオシアニン基が分解<sup>61)</sup>し、除去困難な多量の硫黄沈殿が生じた。

Müllerらは、MolのBR 2原子炉で照射した( $\phi_{th} = 1 \sim 9 \times 10^{14} n \cdot cm^{-2} \cdot sec^{-1}$ ,  $10^{21} \sim 10^{22} n \cdot cm^{-2}$ ) AmO<sub>2</sub>-MgOおよびAmO<sub>2</sub>-Alターゲットの化学処理を行った。彼らが用いた方法はKooiらの場合とほとんど同じであるが、AmとCmの相互分離をAliquat 336-Kieselguhr-NO<sub>3</sub>カラムによる抽出クロマトグラフィー(溶離剤はLiNO<sub>3</sub>-HNO<sub>3</sub>)で行った。連続2回のクロマトグラフィーで得られた<sup>249</sup>Amフラクションには200 ppm以下のCmが含まれ、またCmのフラクションは<sup>242</sup>Cmと<sup>244</sup>Cmより成っていた。

塩酸系の化学プロセスでは、<sup>242</sup>Cmのα線による放射線分解と、熱の発生、装置の腐食等が観察されている。

塩酸溶液は溶解特性にすぐれ、かつ錯化能力も大きいといった長所を有するが、上記の様な種々のトラブルを生じる事から、最近では硝酸溶液系の分離プロセスが用いられている。Fig. 2-40に示したのはこの様な観点から改良されたAm-Cmの分離プロセスである。すなわち、米国から<sup>243</sup>Am-<sup>244</sup>Cm混合溶液(5.11 g Am: 99.81%<sup>243</sup>Am, 5.93 g Cm: 94.16%<sup>244</sup>Cm-484 Ci)を入手し、<sup>244</sup>Cmの分離精製が行われた。この試料は不純物としてPu: 1.33%, S: 1.05%,

Fe: 0.55%, Nd: 0.46%, Al: 0.27%, La: 0.18%を含む。全ての操作は、25cmの水遮蔽を有するマニュプレーターセル内で、ガラス装置により行われた。例外としてCmのシュウ酸沈殿はポリエチレン製ビーカー内で調製し、白金製沪過槽で沪過された。Amの精製は、2本の抽出クロマトカラム（5.8cm $\phi$  × 45cm h, Aliquat 336 およびDEHPA）と、陽イオン交換カラム（5.8cm $\phi$  × 45cm h, Dowex 50W × 8）により行われた。抽出クロマト用フィードにはKBrO<sub>3</sub>を加えてPuの吸着を確実にしている。最後の陽イオン交換カラムは、DEHPAカラムに代えても良いが、DEHPA保持体(kieselguhr)からのSi含有物がCmの最終フラクションに混入するため、従来通りO<sub>3</sub>によるAmの酸化(80°C, 10時間)と炭酸塩沈殿法が採用された。

Fig. 2-41 と Fig. 2-42 にそれぞれ抽出クロマトグラフィーによる<sup>244</sup>Cmの溶離曲線を示した。全ての操作で得られた<sup>244</sup>CmO<sub>2</sub>は4.8 g で、不純物としては、0.28%の<sup>248</sup>Am, 4000ppmのFeが検出された。

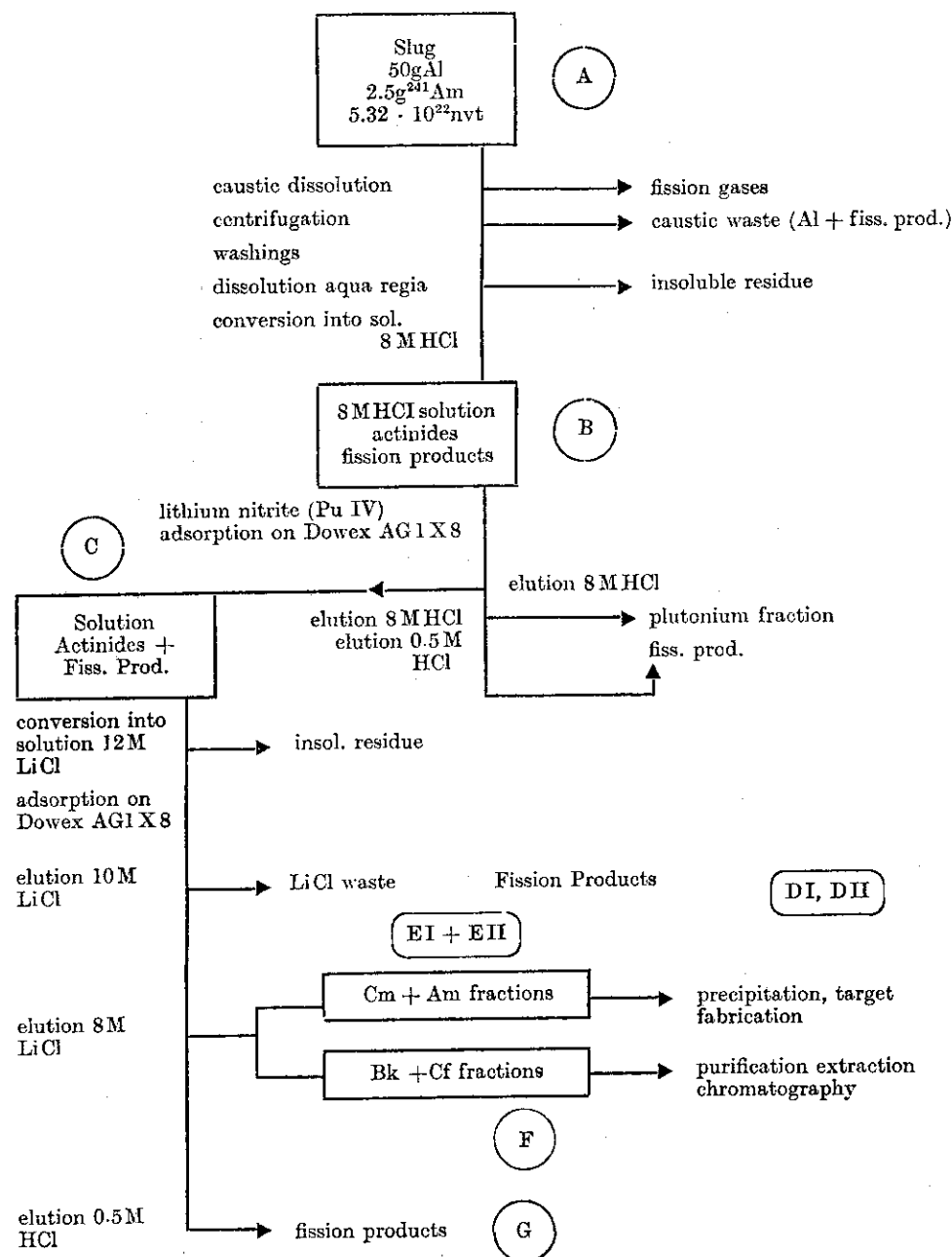


Fig. 2-36 Flowsheet used in processing irradiated aluminum-amerium oxide cermet slug at the Centre d'Etude de l'Energie Nucleaire, Mol.

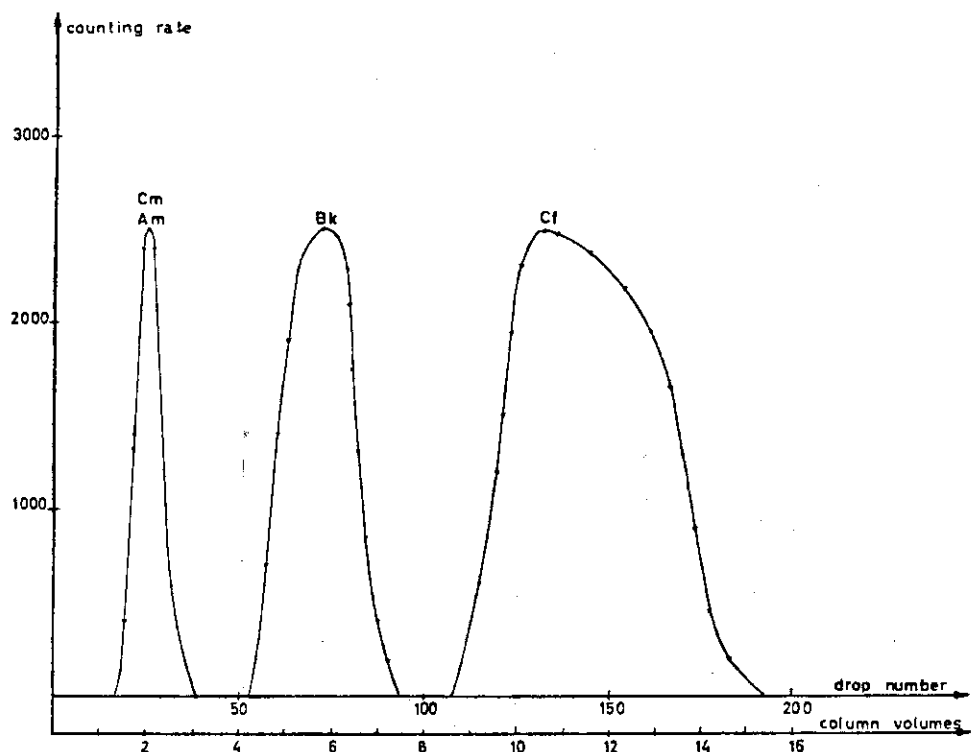


Fig. 2-37 Elution of  $^{241}\text{Am}$ ,  $^{244}\text{Cm}$ ,  $^{250}\text{Bk}$  and  $^{250-255}\text{Cf}$  with 0.5 M HCl from HDEHP-kieselguhr columns (ratio 1:8.5), 4 mm dia., 80 mm high at 87°C. Drop volume 35  $\mu\text{l}$ ; free column volume 12.5 drops; elution rate 1 drop per 45 sec. Counting rates in arbitrary units.

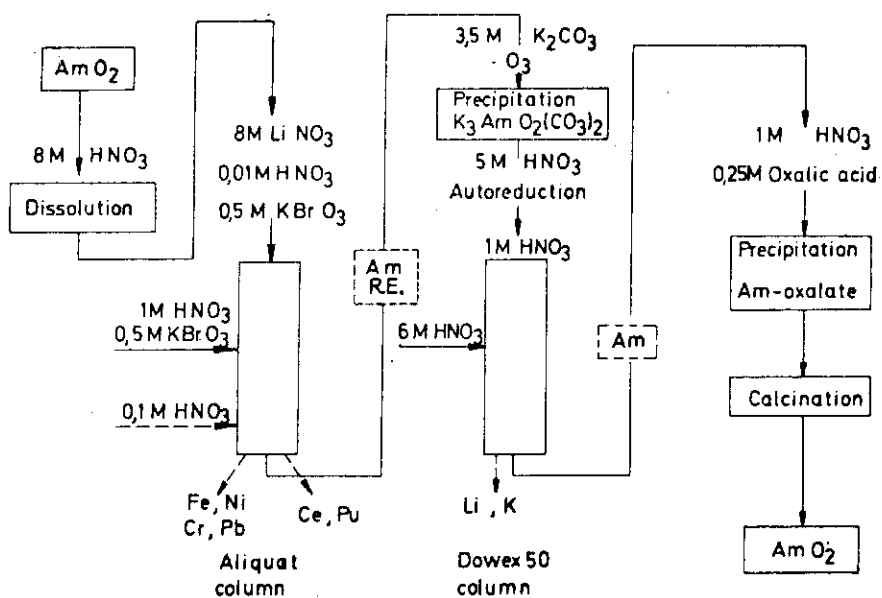
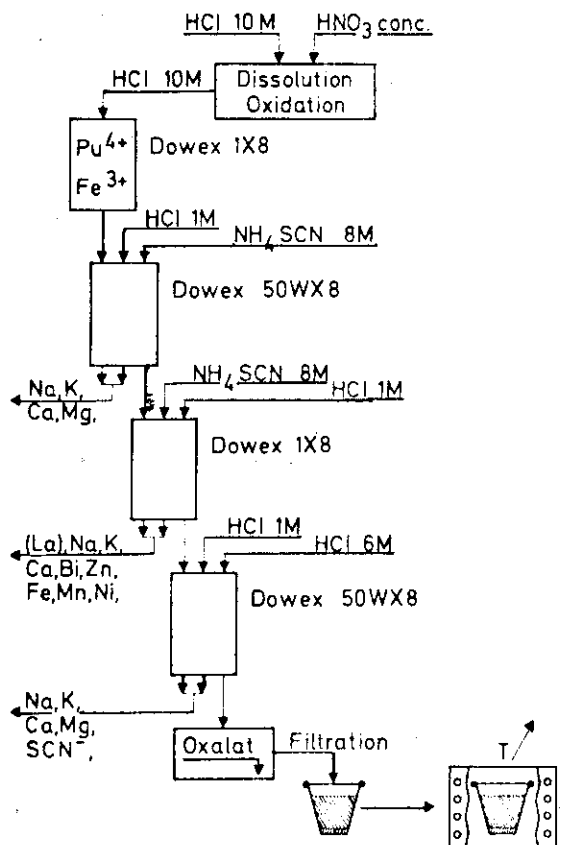
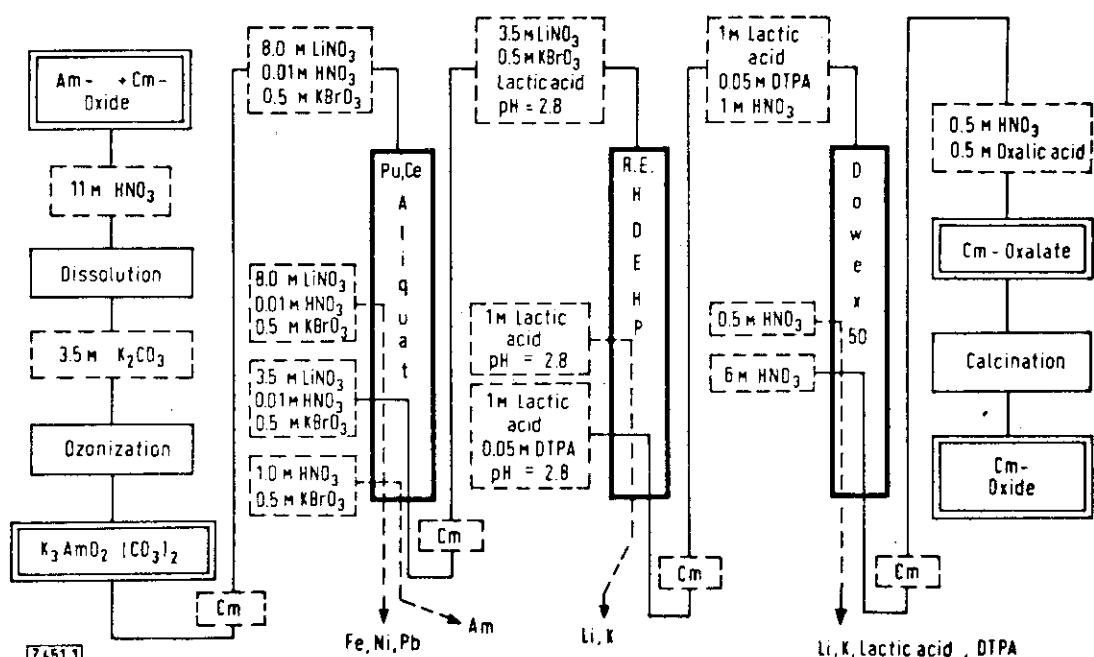
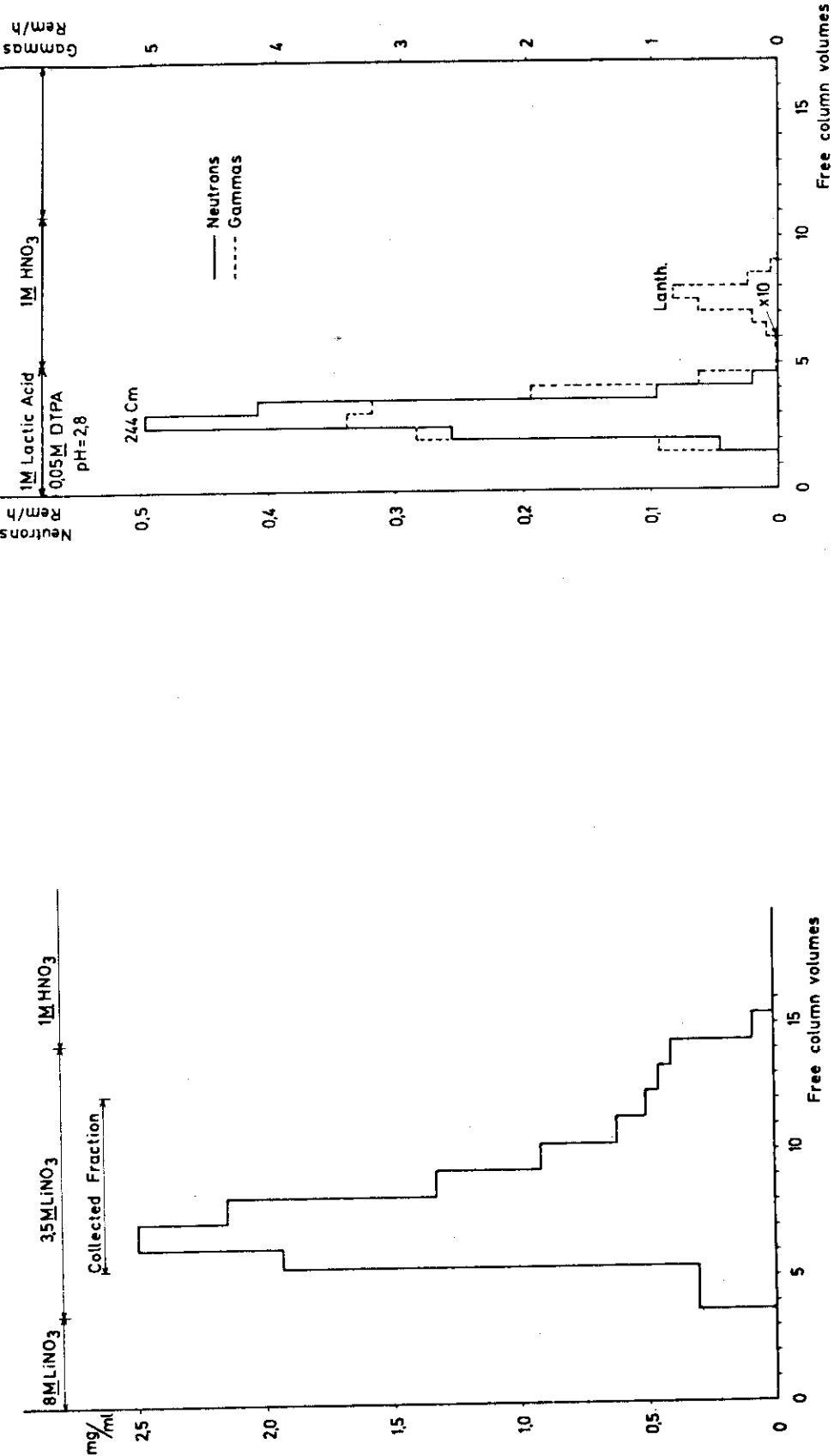


Fig. 2-38 Purification of 7g of  $\text{AmO}_2$  by precipitation and chromatography techniques.

Fig. 2-39 Purification of 5g of  $\text{AmO}_2$  by ion exchange.Fig. 2-40 Isolation and purification of 5.9g of  $\text{AmO}_2$ .



## 2.4 西ドイツ

西ドイツの Karlsruhe 研究所を中心に行われた「Projekt Aktiniden」は、1970年から1973年迄続き、以後中止された。<sup>20), 21)</sup> このプロジェクトは、熱源として有用な<sup>238</sup>Pu, <sup>244</sup>Cmの大量製造と中性子源としての<sup>252</sup>Cf のグラム規模での製造を目的とし、再処理 (WAK) 高レベル廃液からの Np, Am, Cm の回収、それらの原子炉照射による<sup>238</sup>Pu, <sup>252</sup>Cf の製造、そして、高レベル放射性物質を取扱うための施設の建設 (例えば MILLI, AGATE 等) を含んでいた。その中から、ここでは Pu, Am の原子炉照射による TPE 製造 (実際には、ホットセルでの予備実験のみ行われたが) の部分に限って述べる。高レベル廃液からの Am, Cm の分離に関しては第 II 編でとりあげる。

ソ連を除けばヨーロッパには高中性子束炉が存在しないので、プロジェクトでは、西独国内の FR 2, MZFR, HDR 等の他に、モルの BR 2, オランダ (Petten) の HFR 等の種々の原子炉において炉特性、照射実験が行われた。照射用のターゲット物質は Pu 及び Am の 2 種類が考えられている。<sup>21)</sup> それぞれの照射後の化学分離プロセスを Fig. 2-43, Fig. 2-44 に示す。Pu ターゲットでは、ターゲットの溶解後、Pu を三級アミン (Aliquat 336) によって抽出回収する。FR 2 燃料による Pu および Zr-Nb, Ru-Rh の抽出実験結果を Table 2-4 に示す。Pu は逆抽出後陰イオン交換法で精製し、シウウ酸沈殿を経て  $\text{PuO}_2$  として回収される。RE と TPE は DTPA-乳酸溶液として DEHPA あるいは Dowex 50 カラムに通し、"Lanthaniden-filtration" を行う。<sup>21)</sup> DEHPA カラムの結果を Fig. 2-45 に示す。Fig. 2-46 には Dowex 50 × 8 による RE と Am,<sup>21), 65)</sup> Cm の分配係数と分離係数  $\alpha$  を示した。DEHPA を用いると大きな分離度が得られるが、容量は 0.02 ~ 0.03 m MoL/g と小さい。Am と Cm の分離は、Am(V) の炭酸複塩沈殿法を用いて行われる。Am はその後、陽イオン交換法により精製し、 $\text{AmO}_2$  として回収する。Cm は DEHPA 抽出法と陽イオン交換法で最終精製を行い、 $\text{CmO}_2$  として得る。

一方、 $\text{AmO}_2$ -Al ターゲットの化学処理では、まず Al を 8M NaOH で、酸化物を 7M  $\text{HNO}_3$  でそれぞれ溶解し、陰イオン交換カラム (Dowex 1 × 4) によって Pu を除く。カラム溶出液の放射能分布の例を Fig. 2-47 に示した。RE-TPE 溶液は蟻酸により脱硝され (pH 2.0)，沪過後  $\text{Zn}^{2+}$  型陽イオン交換カラムによる置換クロマトグラフィー (DTPA または NTA) で Am, Cm の分離が行われる。各フラクションはさらに、陽イオン交換カラムで AHIB により分離精製され、最後に、陽イオン交換樹脂吸着-仮焼法で酸化物として得られる。これらのプロセスを通した Pu および Am/Cm の物質収支 (収率) を各プロセスで表わしが Fig. 2-48 である。各生成物の全収率は、Pu = 67%, Am/Cm = 54% と低いが、その主な原因是容器あるいはパイプ中に液が残留した事による損失である。

西ドイツでは、以上述べたアクチナイドプロジェクト開始前に、Höhlein らがミュンヘン工科大学で、中性子照射した<sup>241</sup>Am (約 100 mg) から約 10 mg の<sup>242</sup>Cm の回収法を開発している。すなわち、 $\text{AmO}_2$ -Al を BR 2 炉 ( $4.7 \times 10^{14} \text{n} \cdot \text{cm}^{-2} \cdot \text{sec}^{-1}$ ) で照射 ( $6.6 \times 10^{20} \text{n} \cdot \text{cm}^{-2}$ ) し、200<sup>70)</sup> 日冷却後処理した。分離プロセスの概略を Fig. 2-49 に示す。NaOH-NaNO<sub>3</sub> による Al の溶解、NaOH による洗浄後、不溶性の酸化物と水酸化物は加熱しながら濃塩酸で溶解、水を加えて 0.1 M HCl 溶液としてから陽イオン交換カラムに通すと RE, TPE, Zr, Nb, Pu は吸着し、Cs, Ru は通過する。0.5 M  $\text{H}_2\text{SO}_4$  で残りの Ru を、0.5%  $\text{C}_2\text{H}_2\text{O}_4$  で<sup>95</sup>Zr, <sup>95</sup>Nb, Pu(IV) を溶離し、

Ⅲ価の元素は 0.5M NH<sub>4</sub>-AHIB (pH 6) 溶液で溶離する。Ⅲ価元素の溶液は次に 1M HCl で pH 2 に調整し陽イオン交換カラム (2.5 cm  $\phi$   $\times$  21cm) に通す。RE, TPE 等の相互分離は NH<sub>4</sub>-AHIB の pH-gradient 溶離法により行う。すなわち、溶離液に conc NH<sub>3</sub> を添加しながら pH 値を徐々に上げ (pH 3  $\rightarrow$  5), AHIB 隅イオン実効濃度を変化 (増大)させることにより各元素の溶離と分離を迅速、効率的に行うものである。Fig. 2-50 に AHIB 溶液の pH と 隅イオン濃度の関係を、また Fig. 2-51 には溶離液の pH と各元素の溶出位置との関係を示した。溶離曲線の例を Fig. 2-52 に示す。 $\alpha$  放射線による分解ガスの発生を低減するために、溶離液に 20 vol.% のメタノールを加えている。Cm フラクションは、濃縮用カラムに通し 6M HCl で溶離した。以上の操作で得られた Cm の収率は 91.6%, 純度は 98.5% であった。

Table 2-4 Yields of Plutonium and fission products separated by the Aliquat-extraction in batchwise. ( 30 vol.% Aliquat in xylene, aqueous phase 3M HNO<sub>3</sub>, FR2-fuel 16.500Mwd, ca. 0.2kg/l)

Extraktionsschritte	Gehalt in % der Anfangsmenge		
	Pu	Zr/Nb	Ru/Rh
Aliquat-Phase nach Hinextraktion	97,3	0,4	3
Aliquat-Phase nach 1. Waschen mit 4 M HNO <sub>3</sub>	97,2	0,4	0,8
Aliquat-Phase nach 2. Waschen mit 0,1 M HNO <sub>3</sub>	96,7	0,35	0,8
wässriger Rückextrakt (0,4 M NH <sub>2</sub> OH·HCl)	96,4	0,1	0,2
Aliquat-Phase nach Hinextraktion	98,8	0,2	3
Aliquat-Phase nach Waschen mit 8 M HCl	93,3	0,2	0,5
wässriger Rückextrakt (0,4 M NH <sub>2</sub> OH·HCl)	92,7	0,3	0,2

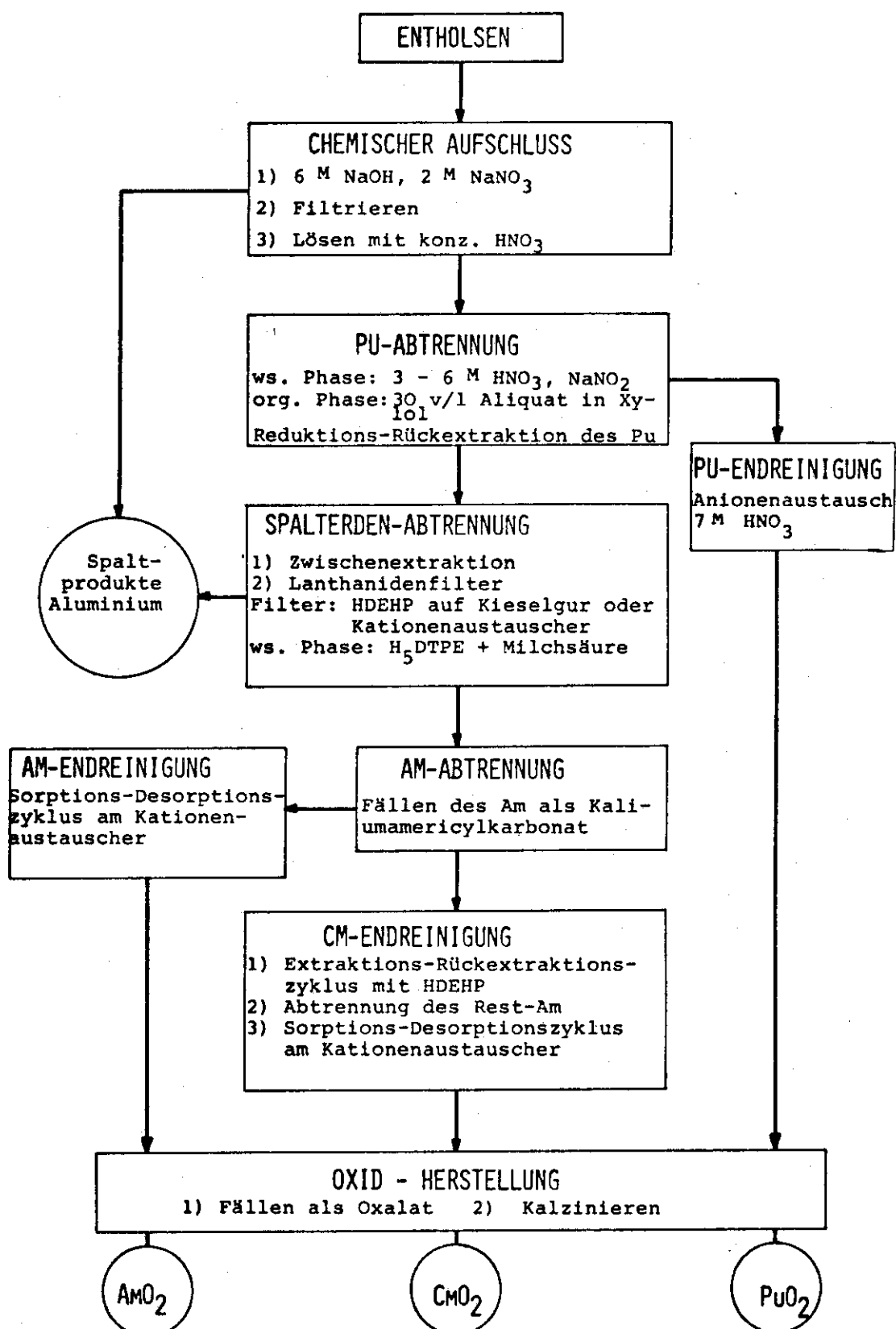


Fig. 2-43 Flowscheme for processing of irradiated plutonium.

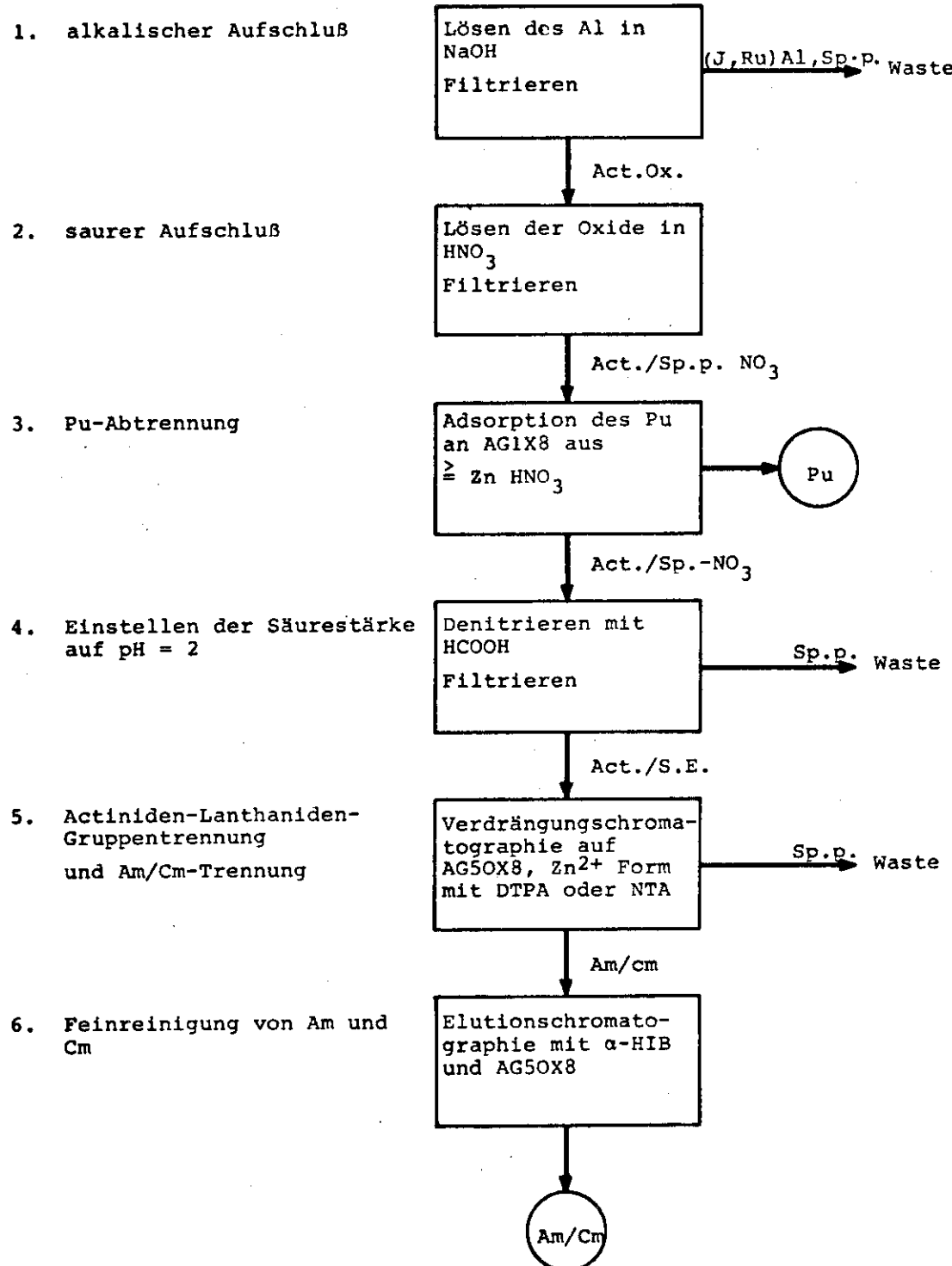


Fig. 2-44 Flowscheme for processing of irradiated americium.

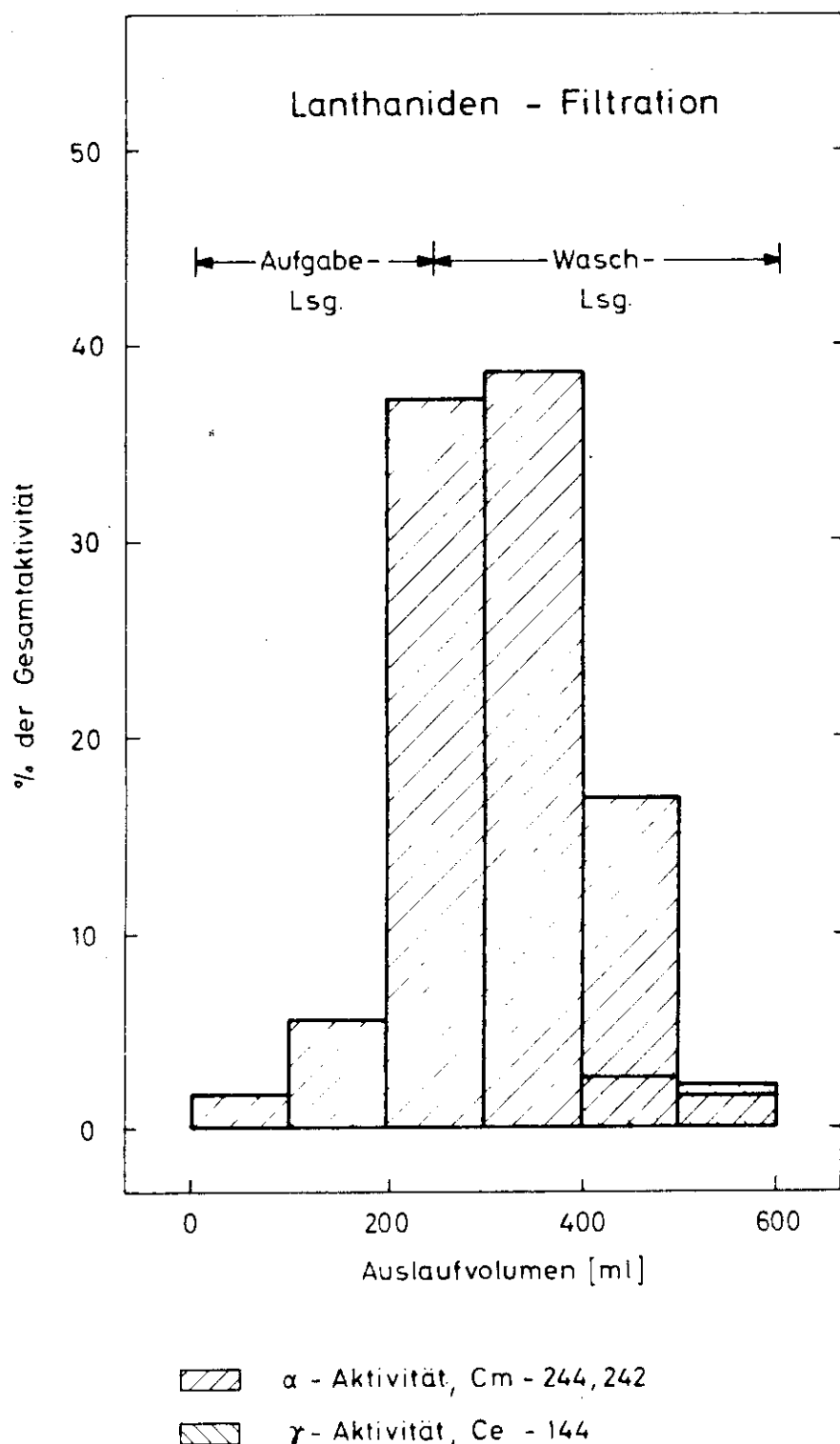


Fig. 2-45 Activity-distribution of the effluent from DEHPA-filtration column (180ml DEHPA-glass, 3 nMol DEHPA on 10g glasspowder) in the processing of irradiated Pu (12mg of  $^{243}\text{Am}$ ,  $^{242,244}\text{Cm}$  + ca. 150mg of fission products). Feed and washing soln.: 1M lactic acid, 0.1M DTPA pH 2.4.

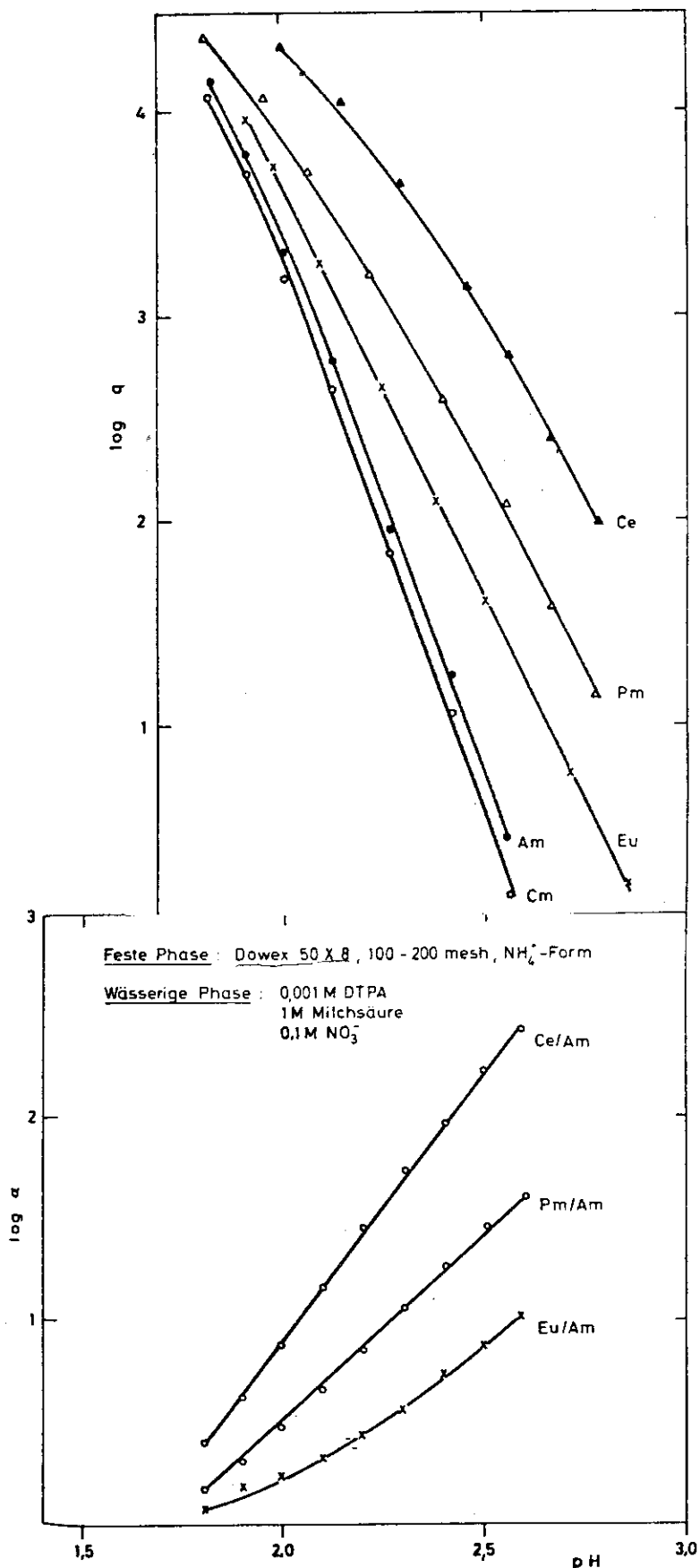
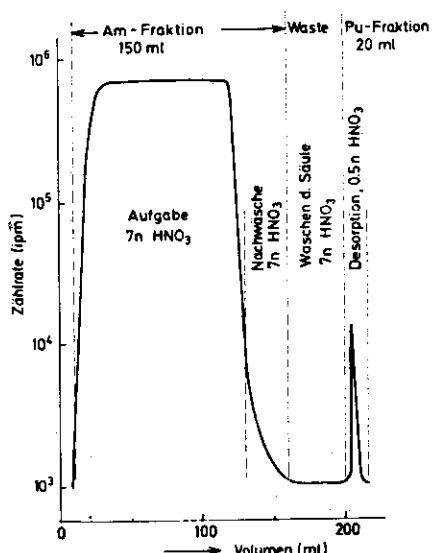


Fig. 2-46 Distribution coefficient and separation coefficient in the system of Dowex 50-x8/1M lactic acid, 0.001M DTPA.



**Fig. 2-47** Typical activity-distribution of effluent from anion exchange column for Pu-separation.

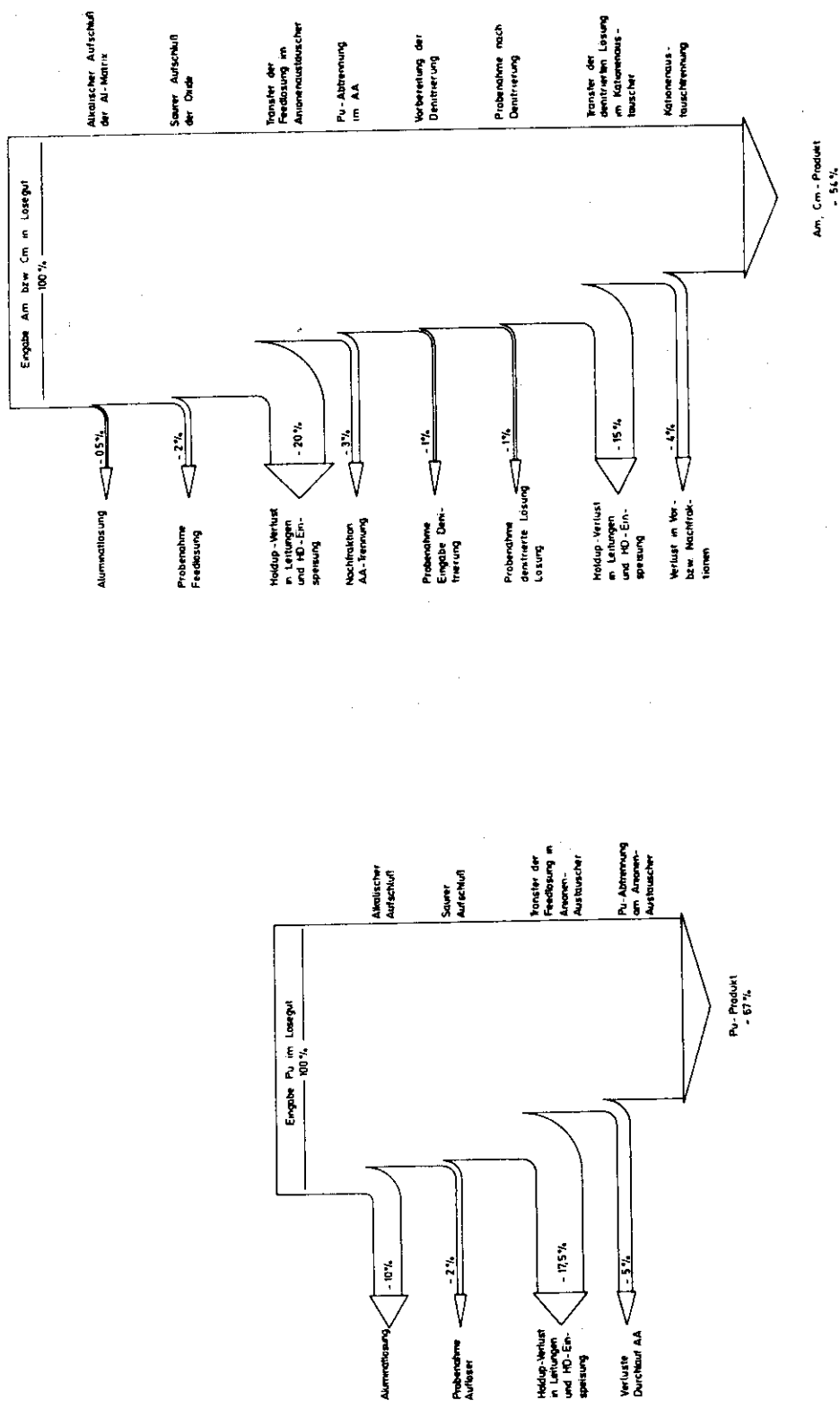


Fig. 2-48 Balance of Pu and Am-Cm in the processing of irradiated Al-AmO<sub>2</sub> target.

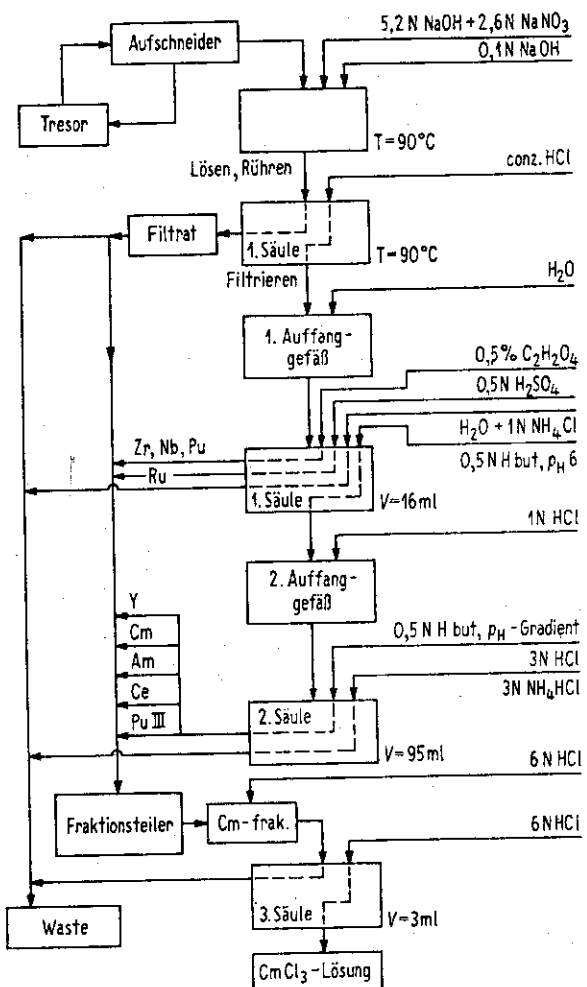


Fig. 2-49 Blockdiagram of isolation of  $^{242}\text{Cm}$ .

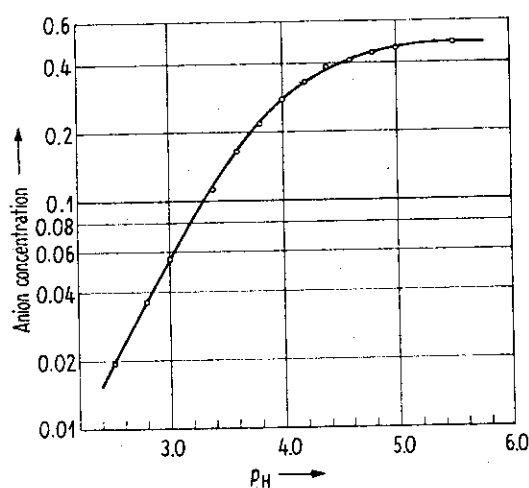


Fig. 2-50  $\alpha$ -Hydroxyisobutyrate anion concentration vs. pH

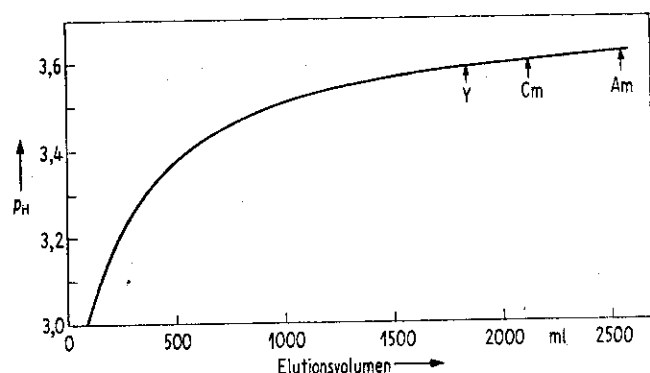


Fig. 2-51 Increase of pH-value during elution

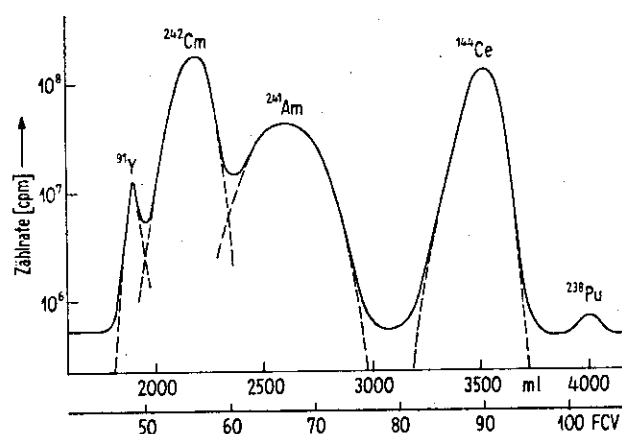


Fig. 2-52 Elution curve of Am-Cm separation

## 2.5 フランス

フランスにおけるTPEの高レベル分離はほとんどFontenay-aux-Rosesの研究所で行われている。ターゲット(Pu)の照射はSaclayのEL3炉で、化学処理には上記研究所のホットセル<sup>71)</sup> "Petrus"が使用された。すなわち、1960年頃から3年半照射された4本のPu-Al合金ターゲット(20.95gのPuを含む)<sup>19)</sup>が最初の試料であった。照射済試料は29ヶ月間冷却後、1966年10月から化学処理された。EL 3での平均中性子束は $8.2 \times 10^{18} n \cdot cm^{-2} \cdot sec^{-1}$ で、全照射量は $5 \times 10^{21} n \cdot cm^{-2}$ であった。

ターゲット溶解は2種類の方法がとられた。1つは4.6M NaOH-4.1M NaNO<sub>3</sub>溶液-Al溶解(80°C)→1M NaOH洗浄→6M HNO<sub>3</sub>-0.02M Hg(NO<sub>3</sub>)<sub>2</sub>-0.01M NaF溶液-Pu溶解(煮沸)であり、他は、7.4M HNO<sub>3</sub>-0.02M Hg(NO<sub>3</sub>)<sub>2</sub>-0.02M HF溶液による溶解である。化学分離プロセスは、Pu抽出分離、Am-Cmの抽出、Am-Cmの分離精製の三段階に分れる。最初の二段階の抽出フローシートをFig. 2-53に示す。Pu抽出は、trilaurylamine(TLA)-ドデカン-オクタノール2(3 vol. %)により行われた。Al(NO<sub>3</sub>)<sub>3</sub>は塩析剤として働く。Puを4価に保つために硝酸第1鉄と硝酸ヒドラジンあるいは、亜硝酸ソーダを添加している。2サイクル抽出でのPuの収率は97%以上、FPからのDFは $10^5$ 以上、TPEのDFは $10^{10}$ であった。

TPEの分離にはDEHPA抽出法が用いられている。ZrとPuが含まれていると、抽出プロセスで界面沈殿を生ずる懼れがあるので、バッチ法により、1.5M Al(NO<sub>3</sub>)<sub>3</sub>-1~2M HNO<sub>3</sub>溶液からこれらの元素をDEHPAで除去し、その後、溶液を4M LiNO<sub>3</sub>-1.5M Al<sup>3+</sup>-0.048M Al(OH)<sup>2+</sup>-0.04M DTPAに調製する。まず、TPEとREは、0.25M DEHPA-ドデカンで共抽出され、次に3M LiNO<sub>3</sub>-0.065M DTPA(pH 1.5)溶液でTPEのみ逆抽出する。

0.25M DEHPA-LiNO<sub>3</sub>-DTPA系におけるAm-CmとREとの分離係数αをFig. 2-54に示す。αは40~200の値をとる。2サイクル分離によるAm-Cmの収率は90%以上、全除染係数は $10^4 \sim 10^5$ となった。

AmとCmの精製分離には、陰イオン交換カラム(Dowex 1×8)法が用いられ、選択性が良い溶離剤として1.3~1.4M NH<sub>4</sub>NO<sub>3</sub>-0.025M DTPA-0.08M HNO<sub>3</sub>-ethanol(80 vol %)が選ばれた。アルコールは硝酸濃度を低減化でき、DTPAはAm-Cmの分離度を高めかつ溶出速度を上げる。TPEフラクションは、カラムに通す前に40%TBPで抽出濃縮された。溶離曲線の1例をFig. 2-55に示す。CfとBkの予想される溶出位置が点線で示してある。実験結果をTable 2-5に示した。150mgのAmと15mgのCmが89%の収率で得られた。

一般に、LiNO<sub>3</sub>-Al<sup>3+</sup>-DTPA溶液と各種抽出剤の系では、REとTPEの分配比の差が大きく、両元素の分離が可能となる。Fig. 2-56にtrioctylphosphine oxide(TOPO), TBP, TLA抽出剤系のAmとREの分離係数を示す。<sup>72)</sup> LiNO<sub>3</sub>, Al(NO<sub>3</sub>)<sub>3</sub>等は塩析剤として分配比上昇をもたらす。これらの傾向を利用してFontenay-aux-Roses研究所では、照射したPuからのAm-Cmの分離法がいくつか開発された。Fig. 2-57に示したのは、TLA抽出法によるPuおよびAm-Cmの回収法である。OsirisおよびCelestinで照射したPu-Al合金から数gの<sup>243</sup>Am-<sup>244</sup>Cmが99%以上の収率で回収されている。同様にTLAを用いた抽出法(Fig. 2-58)で15mgの<sup>241,243</sup>Amと0.3mgの<sup>244</sup>Cmの分離が試みられている。夫々の収率は99%以上、DFは

100～200 またはそれ以上であった。抽出剤として 30% TBP を用いた方法を Fig. 2-59 に示す。<sup>74)</sup>  
 この方法は、マルクールの (Pu-Al 燃料) 再処理工場 (UP1) で生じる廃液中に含まれる Am  
 -Cm の回収のためのパイロットプラントで用いられた。

以上述べた事からも分かる様に、これらの硝酸塩を塩析剤とする抽出系は、第Ⅱ編でとり上げ  
 る廃液からの Am-Cm の回収法にも応用できる。

Table 2-5 Transuranium element analyses

Sample Number Neutron Exposure ( $10^{21}$ n/cm <sup>2</sup> ) Mean Flux [ $10^{13}$ n/(cm <sup>2</sup> sec)] Initial Pu Content (g)	(a)		(b)		Overall	
	5.34 8.78 17.950	at. (%) mg	2.93 4.82 3	at. (%) mg	4.99 8.22 20.950	at. (%) mg
<sup>238</sup> Pu	1.36	27	0.69	4.7	1.15	31
<sup>239</sup> Pu	2.52	49	18.18	116	6.12	165
<sup>240</sup> Pu	41.69	822	55.49	355	45.27	1177
<sup>241</sup> Pu	12.00	238	12.69	82	12.31	320
<sup>242</sup> Pu	42.43	844	12.95	83	35.15	927
		1980		640		2620
<sup>241</sup> Am	39.81	53	76.89	11	42.9	64
<sup>242</sup> Am	-		0.26	0.04		
<sup>243</sup> Am	60.19	82	22.72	4	57.1	86
		135		15		150
<sup>242</sup> Cm	0.5	0.07	2.5	0.007	0.55	0.077
<sup>243</sup> Cm						
<sup>244</sup> Cm	99.5	14	97.5	0.28	99.45	14.28
						15

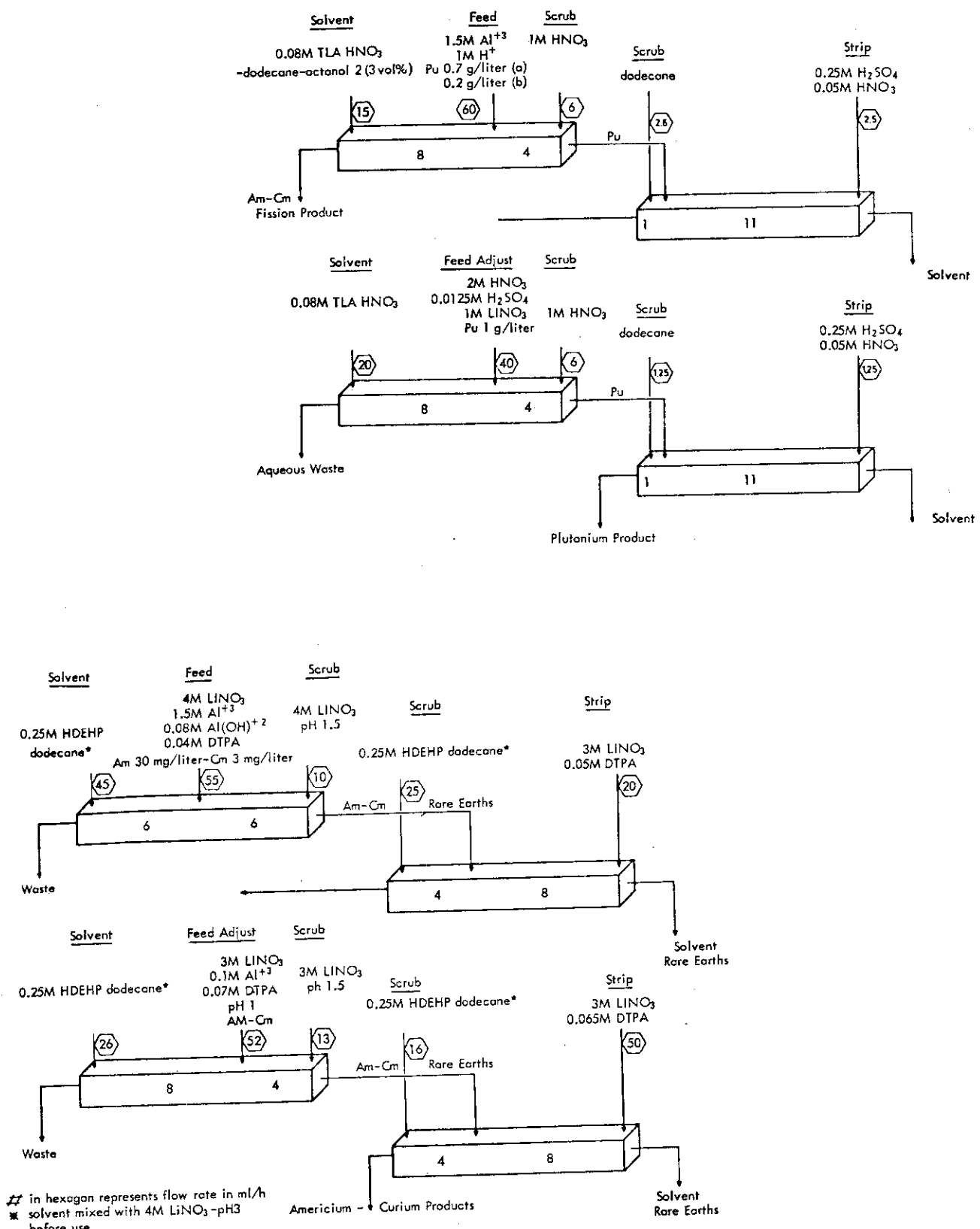


Fig. 2-53 Flowsheet for the separation of Pu, Am, and Cm by TLA and DEHPA-extraction.

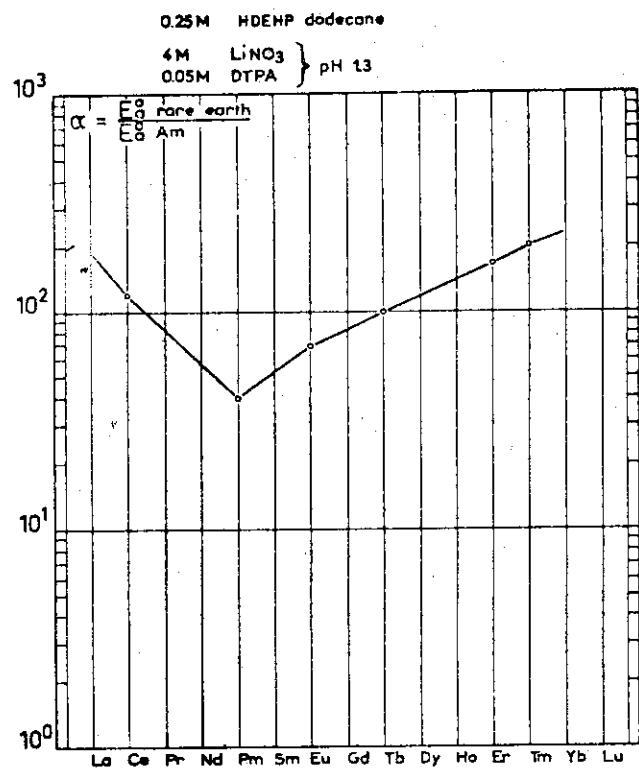


Fig.2-54 Separation coefficients between Am and rare earths.

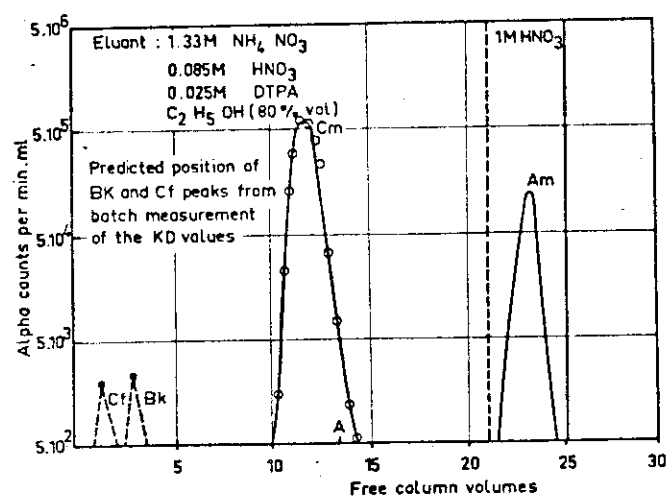


Fig.2-55 Selective elution of Am and Cm from a Dowex 1 x 8 column.

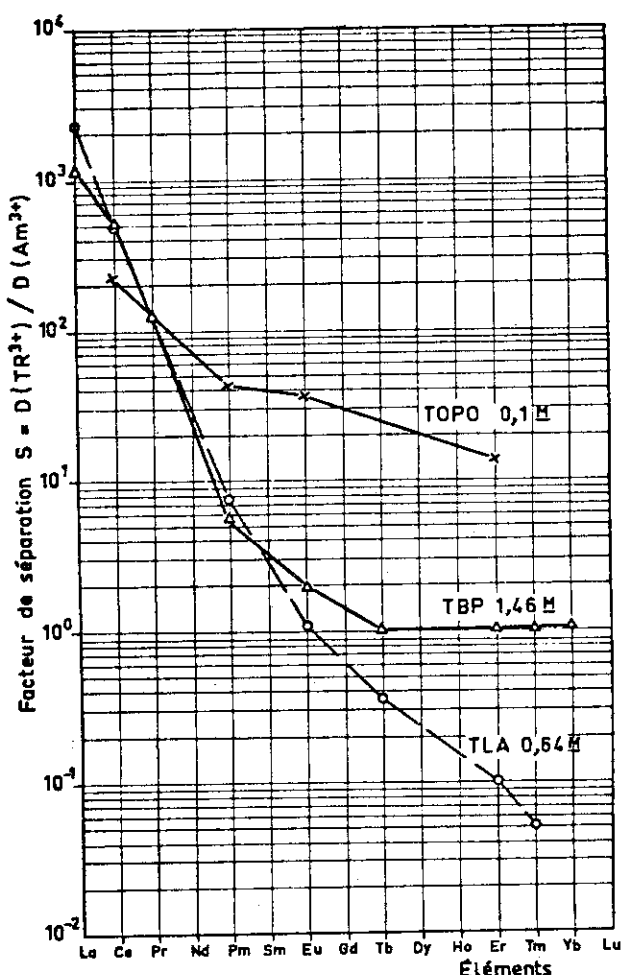


Fig. 2-56 Separation of americium and lanthanides in the system  
of 6M  $\text{LiNO}_3$ -0.1M Al(III)-0.1M DTPA pH 2.3.

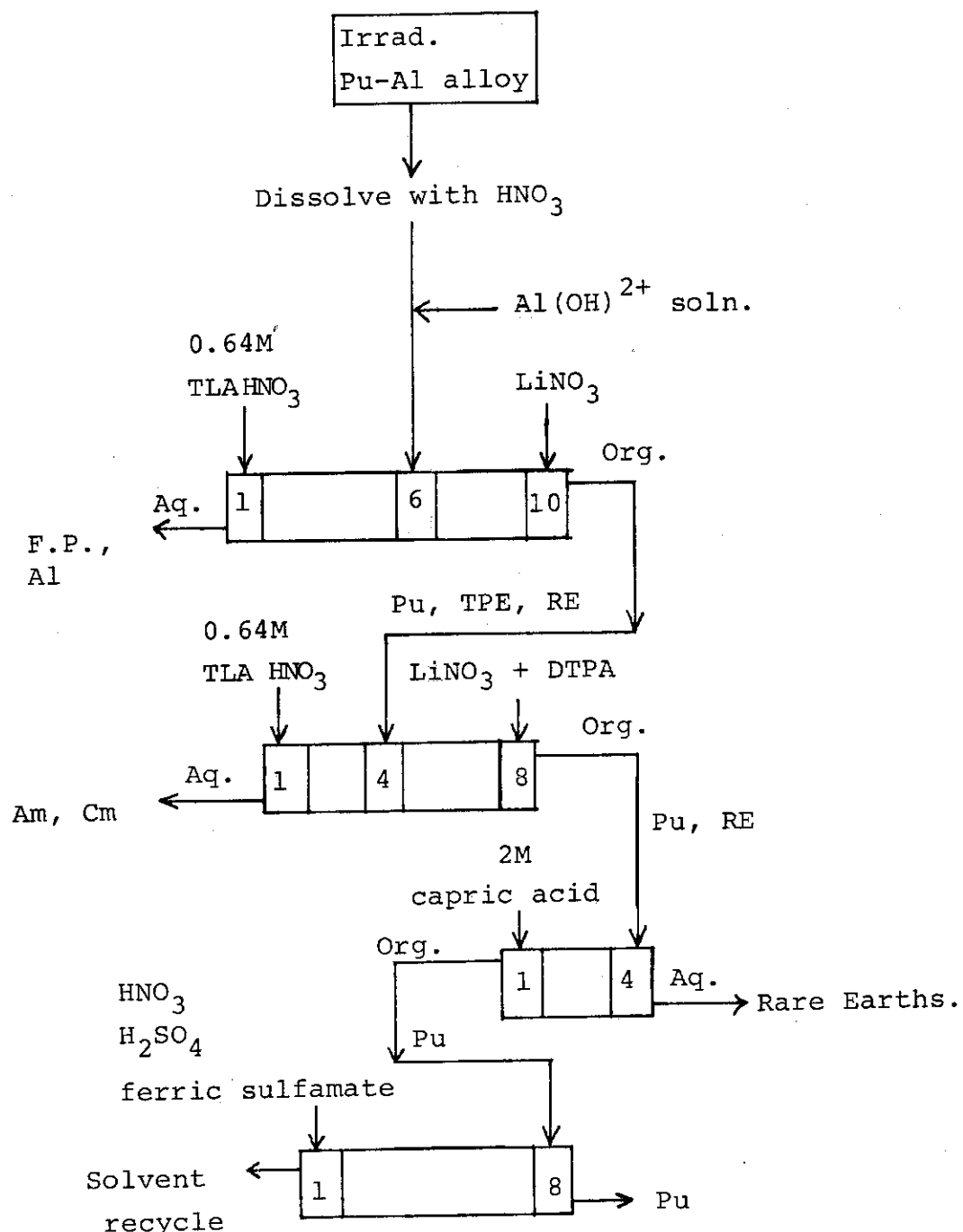


Fig. 2-57 Treatment of the irradiated  $^{239}\text{Pu}$ -target and separation of actinides and rare earth elements.

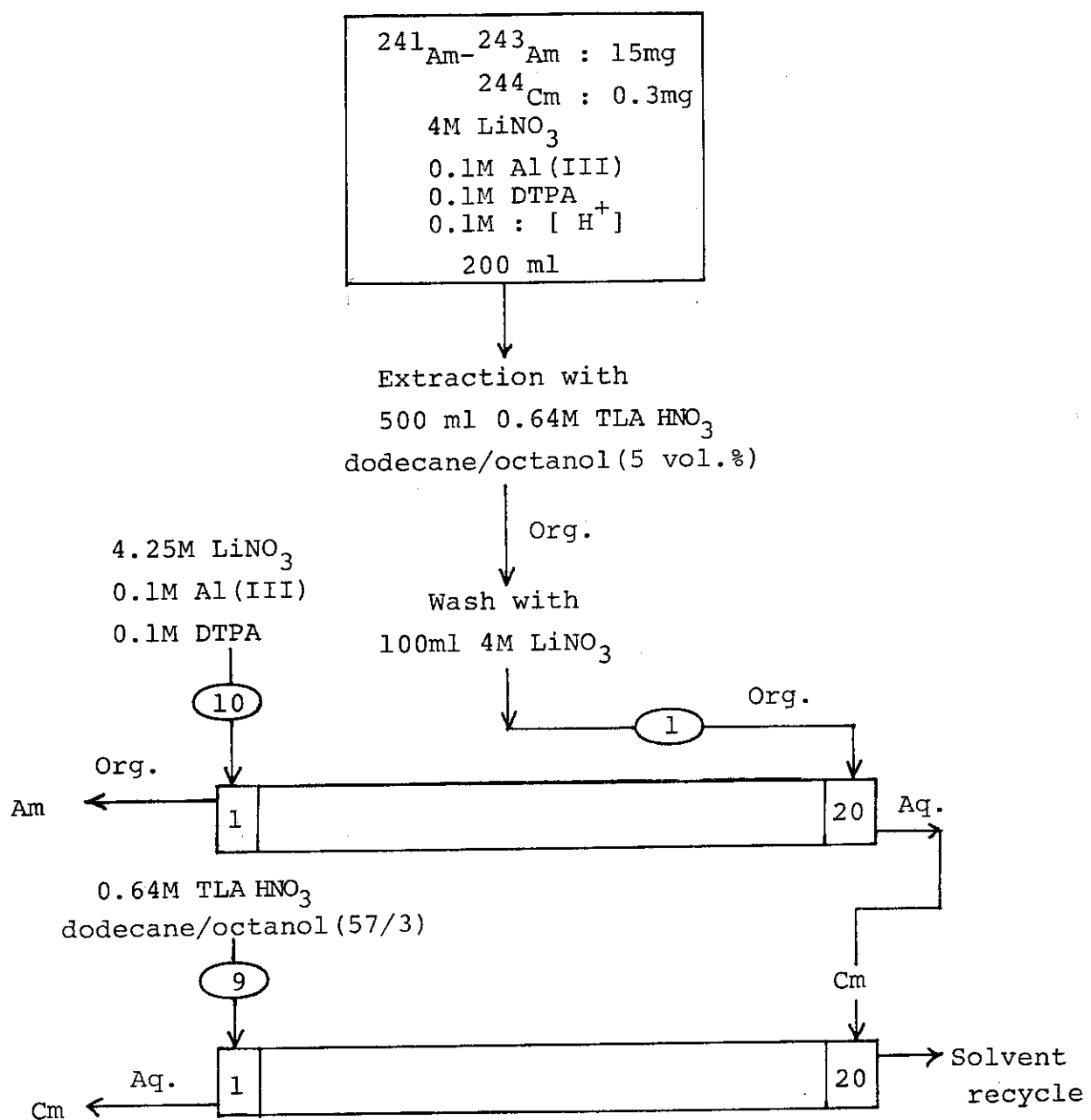


Fig. 2-58 Separation of Am and Cm by TLA extraction.

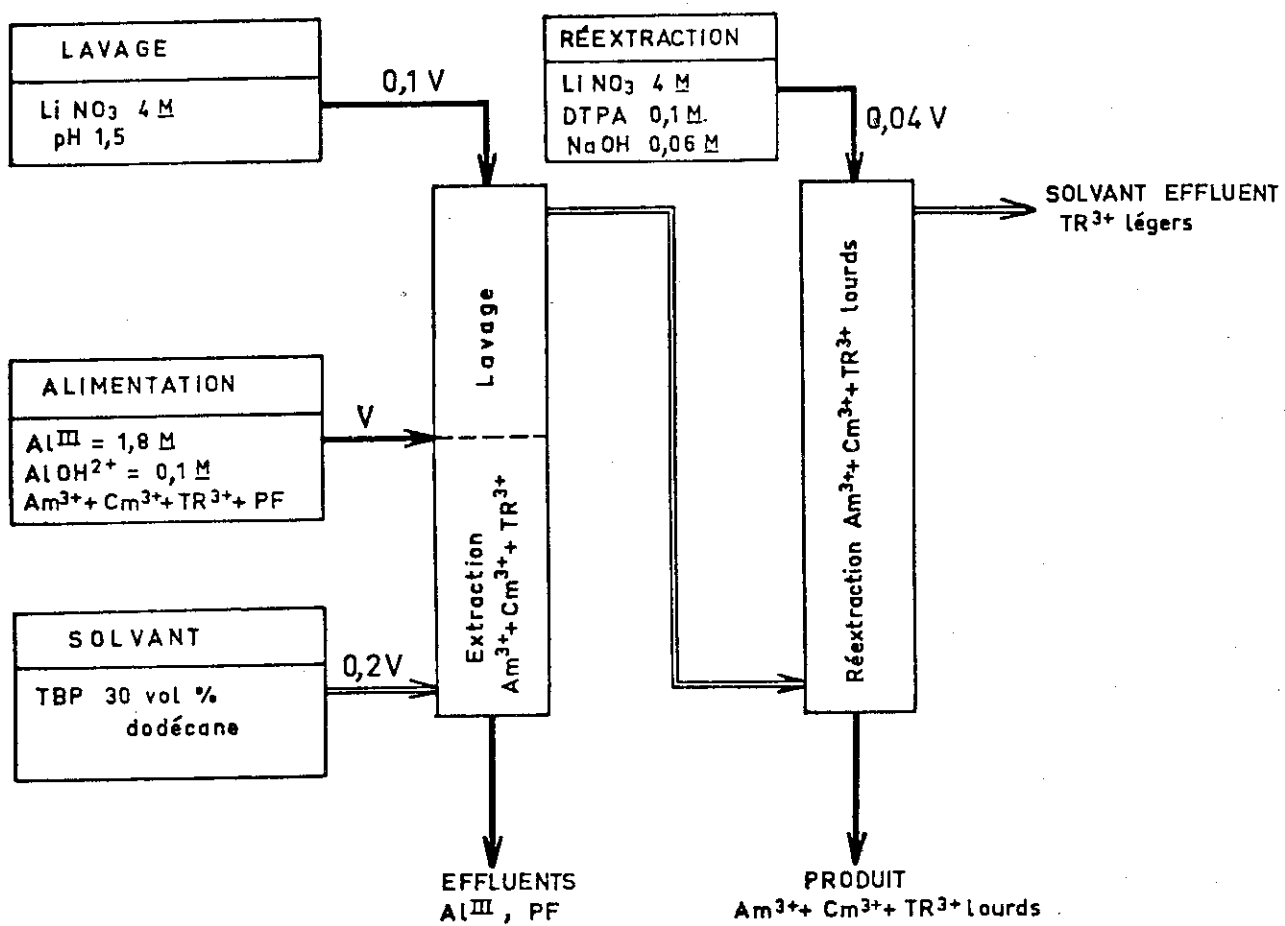


Fig. 2-59 Flowscheme for recovery of Am and Cm used in the pilot plant at Marcoule.

## 2.6 日本

日本で上野らによって行われた実験は、<sup>22), 23)</sup> <sup>241</sup>AmO<sub>2</sub> 約 62 mg を含むMgO ペレットをJMTR で約 1 年間照射 ( $3 \times 10^{21} \text{n} \cdot \text{cm}^{-2}$ ) し、10 ヶ月冷却後、イオン交換法、沈殿法、溶媒抽出法の組合せによってPu, Am, Cm, Bk, Cfを分離したものである。分離プロセスをFig. 2-60 に示す。MgO-AmO<sub>2</sub> ペレットは 8M HCl 处理、NH<sub>4</sub> OH 添加による水酸化物沈殿法で Mg などが除去され、不溶性酸化物と水酸化物は 7M HNO<sub>3</sub> で溶解された。Pu(V) は陰イオン交換カラムで除き、RE と TPE は LiCl 系陰イオン交換カラム (Dowex 1 × 8) で分離された。TPE は加圧型陽イオン交換カラム (Diaion CK-08-Y) で 0.5M AHIB (pH 3.7, 60 °C) により相互分離された。Bk - Cf フラクションは LaF<sub>3</sub> 沈殿法、LiCl 系陰イオン交換法、AHIB-陽イオン交換法等によってさらに精製し、Bk を NaBrO<sub>3</sub><sup>75)</sup> で酸化後、DEHPA 抽出法によって抽出分離し、Cf はさらに Table 陽イオン交換カラムで精製された。以上のプロセスによる Pu, Am, Cm の化学収率と DF を Table 2-6 に、また、元素の回収量と同位体比を Table 2-7 にそれぞれ示した。ここで得られた Cf は、次に JRR-2 で  $2 \times 10^{20} \text{n} \cdot \text{cm}^{-2}$  照射された。その結果約  $1 \times 10^{-6} \mu\text{g}$  の Cf から約  $2.9 \times 10^4$  個の<sup>258</sup>Es 原子が生成したことがわかった。

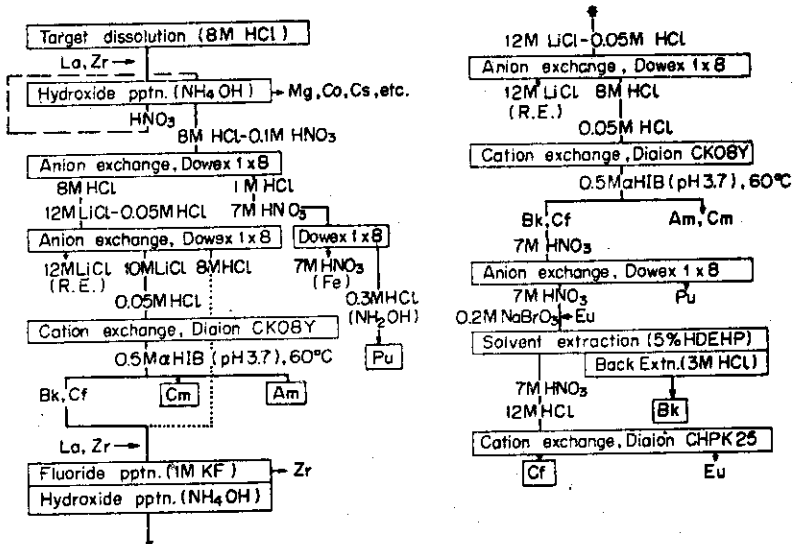


Fig. 2-60 Separation scheme used in processing of irradiated americium.

Table 2-6 Chemical yield and decontamination factor for plutonium, americium and curium

	Chemical yield (%)	Decontamination factor	
		From $\alpha$ -activity	From $\beta$ -activity
Plutonium	89	$3 \times 10^4$	$10^2$
Americium	80	$6 \times 10^2$	$2 \times 10^4$
Curium	79	$> 10^3$	$> 2 \times 10^6$

Table 2-7 Isotopic compositions

Nuclide	Quantity recovered ( $\mu\text{g}$ )	Isotopic ratio	
		Measured†	Calculated values at end of irradiation††
Pu-238	$7.3_1 \times 10^2$	1	1
239	$9.0_8 \times 10$	$0.1238 \pm 0.0012$	$0.32_8$
240	$1.9_3 \times 10$	$0.02613 \pm 0.00032$	$0.066_8$
241	$8.4_9$	$0.01147 \pm 0.00024$	$0.032_8$
242	$1.7_7 \times 10^2$	$0.2380 \pm 0.0038$	$0.63_4$
Am-241	$2.8_1 \times 10^2$	1	1
242m	$4.0_1$	$0.01420 \pm 0.00029$	$0.013_6$
243	$4.8_2 \times 10$	$0.1701 \pm 0.0015$	$0.17_0$
Cm-242	$1.0_9 \times 10^2$	1	1
243	$1.4_4 \times 10$	$0.1386 \pm 0.0012$	$0.028_7$
244	$1.6_2 \times 10$	$0.1560 \pm 0.0015$	$0.032_8$
245	$4.1_1 \times 10^{-1}$	$0.00394 \pm 0.00006$	$0.00079_7$
246	$7.0 \times 10^{-2}$	$0.00067 \pm 0.00008$	$0.00014$
Bk-249	$2.2 \times 10^{-8}$	—	—
Cf-249	$2.2 \times 10^{-7}$	17	—
250	$1.3 \times 10^{-8}$	1	1
252	$3.0 \times 10^{-9}$	$0.2_3$	$0.3_1$

† In Aug. 1973 for Pu, Am and Cm.

Oct. " Bk.

Dec. " Cf.

†† July 1972

### 3. ま　と　め

前節で主なTPEの分離製造法を国別にみてきた。これらの様々なプロセスを整理する事はその多様性からみて困難に思われる。<sup>76)</sup> Table 3-1 は、原料溶液の種類と化学分離の目的により様々な方法を分類したものである。逆にこの表から目的に応じて分離法を選ぶ事もできる。

TPE元素の分離製造法をまとめた例をもう1つあげる。Fig. 3-1に示したのは Pu の回収に始まり、Am-Cmの分離に到るプロセスを、種々の分離法の位置づけを明らかにしてフローシート<sup>77)</sup>に表わしたものである。この場合、TPEと RE は、TBPまたはDEHPAによる共抽出か、陰イオン交換樹脂への吸着、あるいは硫酸複塩沈殿等によって除染されてから、種々の水溶液系で抽出法、イオン交換法により分離される。

スケールの大きさで極立つ米国は、選択性に優れたアミン-塩酸系を主体とした分離プロセスを開発してきたが、高放射線下での材質の腐食によって苦い経験をした。それに対してヨーロッパ諸国は、TPEの小規模の応用と基礎研究を目的として、比較的小規模のTPE製造のみを行った。しかしながら、塩酸系以外の分離法を開発する事により、装置の材質にはSUSを使用している。

また、取扱う元素量が少ないので高い分離度を有する抽出クロマトグラフィー、イオン交換クロマトグラフィーをしばしば用いている。

群分離法への適応性については、このような容量の小さなクロマトグラフィーは好ましくない。また、アミン-塩酸系抽出法が抱える問題点はそのまま残る。硝酸系での各種抽出剤の群分離法への適応性は高いが、高濃度の塩析剤とかDTPAの使用は、後の廃液処理工程への影響の点で十分検討を要する。この様に考えてくると、TPEと RE の分離法では、無条件に群分離法に採用出来る方法は見当らない。反面、他の部分のプロセスに関しては応用出来るものが多い。現在、TPEと RE の分離に関しては今迄に挙げてきた方法以外に群分離に利用できる有用な方法を我々が見出していない事もまた事実である。

TPE製造は、今迄は、高中性子束の原子炉が必要なために、限られた国の少数の人々のみが遂行出来た。しかし、原子力発電と再処理事業の進行によって、群分離開発のみならず、他の分野の人々もTPE-FP溶液=HLW が容易に入手出来るようになるであろう。その結果として、より優れた化学分離法が見出される事も期待できる。Am と Cmの分離あるいは超キュリウム元素の分離は、群分離法では必要とはしないが、TPEの消滅サイクルでは、生成した中性子放出核種の分離のために必要となるかも知れない。

施設の面では、最もスケールの大きなものとして、SRPにおける再処理施設とMPPFの複合体があり、次にORNLのTRU, CRF が挙げられる。中規模では、西ドイツ、Euratom のケープ等がある。これらの施設および装置は、群分離法の開発実験において、種々のスケールに応じて参考になるであろう。

Table 3-1

Résumé of Processes Used to Recover Americium and Curium from Various Solution Types.

Solution Type Requirement	A To remove bulk contaminants such as $\text{Al}^{3+}$ , $\text{NO}_3^-$ , etc.	B To separate trivalent actinides and lanthanides	C To separate Am and Cm	D To remove ionic contaminants from separated fractions
Process Type				
Solvent Extraction	Neutral phosphate (TBP) Acidic phosphate (HDEHP) ("Dapex") Amine (tertiary and quaternary) ("Clanex") Phosphonate (DBBP)	Amine (tertiary) ("Tramex") Acidic phosphate (HDEHP) ("Talspeak")	Amine (tertiary)	Acidic phosphate (HDEHP) ("Dapex", "Cleanex")
Ion Exchange	Cation (Sulfonic acid resin) Elution-Chromatography	Cation (Sulfonic acid resin) Elution-Chromatography ("BUT Column") Displacement-Chromatography ("Zinc Barrier")	Same as for "B"	Same as for "B"
	Anion (Strong base resin)	Anion (Strong base resin) Elution-Chromatography ("LiCl column") Pressurized Systems (Any resin flowsheet)		
Precipitation	Fluoride (HF and KF) Hydroxide (NaOH, aqueous $\text{NH}_3$ ) Double sulfate	$\text{Ce}^{IV}$ peroxide precipitation	Am <sup>V</sup> carbonate precipitation	Oxalate Hydroxide

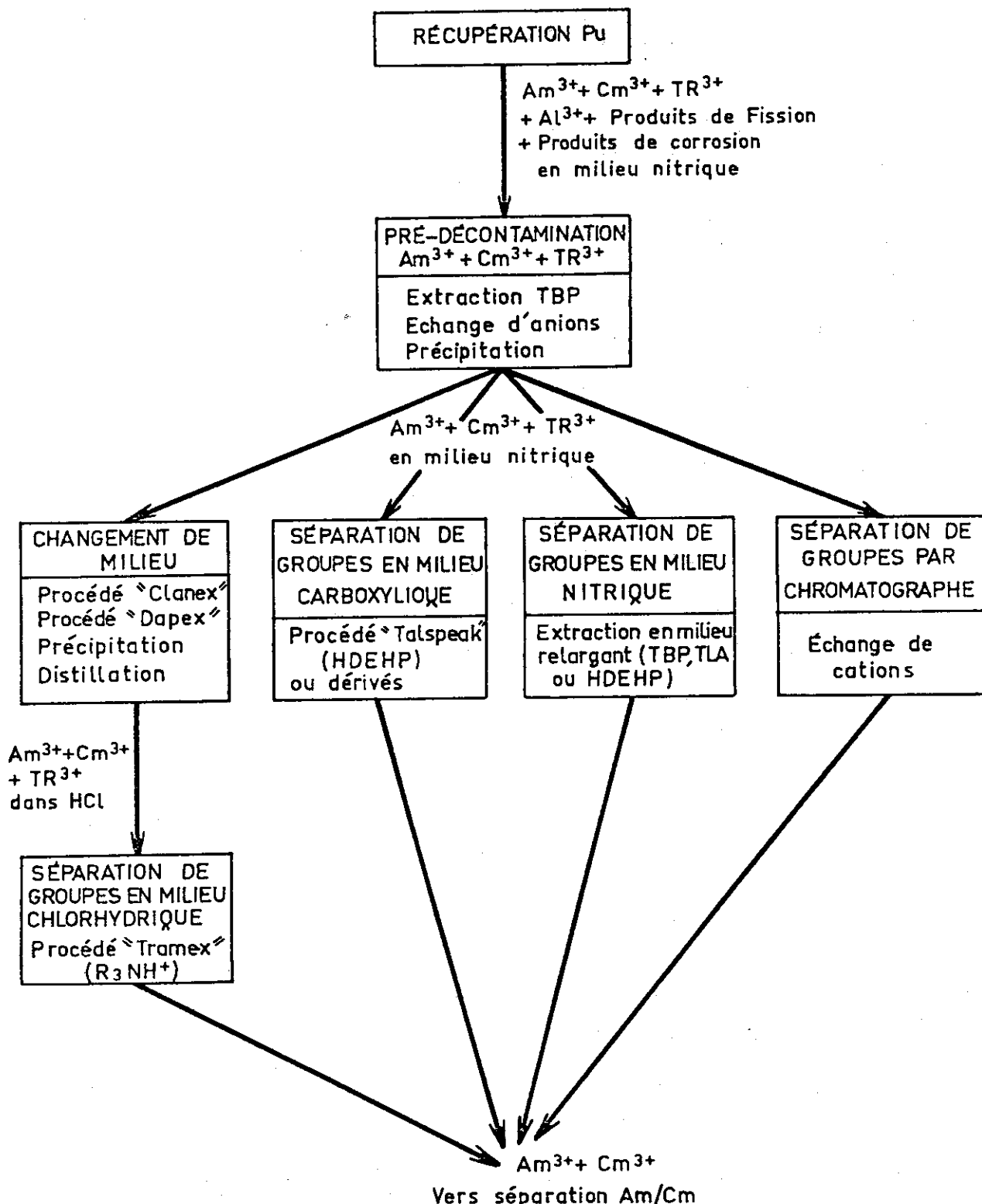


Fig. 3-1 Principal processes for the recovery of transplutonium elements.

## References

- 1) Milsted J., Fields P.R., Metta D.R.: Nucl. Appl., 1, 136 (1965)
- 2) Groh H.J., Huntoon R.T., Schlea C.S., Smith J.A., Springer F.H.: ibid., 1, 327 (1965)
- 3) Leuze R.E., Lloyd M.H.: "Progress in Nuclear Energy, Process Chemistry, Series III, Vol.4" Pergamon Press. Inc. New York, p 549 (1970)
- 4) Baxter R.G.: DP-1269 (1972)
- 5) Ferguson D.E., Chetham-Strode A., McWherter J.R.: ORNL-TM-165 (1962)
- 6) Crandall J.L., Smith J.A., Towler O.A.: DP-999 (1965)
- 7) Bentley W.C. et al.: "Proc. 1st Int. Conf. Peaceful Uses of Atomic Energy" Geneva, A/Conf 8/P/809, (1955)
- 8) Fields P.R., Sjoblom R.K., Barnes R.F., Younquist C.H., Mohr W.C.: TID-7599, Book 2, pp.364-381 (1960)
- 9) Penneman R.A., Ferguson D.E.: "Proc. Seminar on Radiation Protection Problems Relating to Transuranium Elements, Karlsruhe, 1970", EUR-4612, 85 (1970)
- 10) Chetham-Strode A.: "Proc. Research Materials Coordination and Planning Meeting", ORNL-TM-1047, 60 (1965)
- 11) Crandall J.L.: DP-MS-72-45 (1972)
- 12) Overbeck W.P., Ice C.H., Dessauer G.: DP-1000 (1965)
- 13) Ferguson D.E. et al.: Chem. Technol. Div. Ann. Progr. Report ORNL-3830, pp.140-173 (1965)
- 14) Orth D.A., McKibben J.M., Prout W.E., Scotten W.C.: "Proc. Intern. Solv. Ext. Conf. ISEC, Hague, 1971" 534 (1971)
- 15) King L.J.: "Paper presented at the Int. Symp. Californium-252 Utilization, Paris, 1976", CONF-760436-1 (1976)
- 16) Gureev E.S. et al.: "Progress in Nuclear Energy, Process Chemistry, Series III, Vol.4", Pergamon Press Inc., New York, p. 631 (1970)

- 17) Davidenko V.A. et al.: Atom. Energ., 33, 815 (1972)
- 18) Kooi J. et al.: EUR 2578 e (1965)
- 19) Berger R., Koehly G., Musikas C., Pottier R., Sontag R.: Nucl. Appl. and Technol., 8, 371 (1970)
- 20) Höhlein G., Gasteiger R.: "Proc. Seminar Rad. Protec. Prob. Relating to Transuranium Elements, Karlsruhe, 1970", EUR 4612, p.69 (1970)
- 21) "Projekt Actiniden, Erster Halbjahresbericht 1971", KFK-1456 (1971)
- 22) Ueno K., Watanabe K., Segawa C., Ishimori T.: J. Nucl. Sci. Technol., 11, 8 (1974)
- 23) Ueno K., Watanabe K., Segawa C.: ibid., 12, 356 (1975)
- 24) Perkins W.C.: DP-874 (1964)
- 25) Henry H.E.: DP-972 (1965)
- 26) Kelley J.A.: DP-1308 (1972)
- 27) Lowe J.T., Hale W.H.Jr., Hallman D.F.: Ind. Eng. Chem. Process Des. Develop., 10, 131 (1971)
- 28) Crandall J.L.: DP-MS-75-13 (1975)
- 29) Burney G.A., Harmon H.D., Hyder M.L.: DP-1419 (1976)
- 30) Culler F.L. et al.: Chem. Technol. Div. Ann. Progr. Report, ORNL-3452, p.100 (1963)
- 31) Ferguson D.E. et al.: Chem. Technol. Div. Ann. Progr. Report, ORNL-3945, pp.107-140 (1966)
- 32) Culler F.L. et al.: Chem. Technol. Div. Ann. Progr. Report, ORNL-3627, pp.113-152 (1964)
- 33) Ferguson D.E. et al.: Chem. Technol. Div. Ann. Progr. Report, ORNL-4145, pp.130-153 (1967)
- 34) Ferguson D. E. et al.: Chem. Technol. Div. Ann. Progr. Report, ORNL-4272, pp.92-128 (1968)
- 35) Moore F.L.: Anal. Chem., 33, 748 (1961)

- 36) Bigelow J.E., Chattin F.R., Vaughen V.C.A.: "Proc. Intern. Solv. Extn. Conf. ISEC. Hague, 1971", p.507 (1971)
- 37) Baybarz R.D.: ORNL-3273 (1962)
- 38) Culler F. L. et al.: Chem. Technol. Div. Ann. Progr. Report, ORNL-3314, pp.126-155 (1962)
- 39) Campbell D.O.: Ind. Eng. Chem. Process Des. Develop., 9, 95 (1970)
- 40) Burch W.D., Bigelow J.E., King L.J.: ORNL-4376 (1969)
- 41) Werner L.B., Perlman I.: J. Am. Chem. Soc., 73, 495 (1951)
- 42) King L.J., Bigelow J.E., Collins E.D.: ORNL-4833 (1973)
- 43) King L.J., Bigelow J.E., Collins E.D.: ORNL-5034 (1975)
- 44) King L.J., Bigelow J.E., Collins E.D.: ORNL-5305 (1977)
- 45) Williams A.K.: ORNL-TM-1047 (1965)
- 46) Williams A.K.: RFP-2347 (1964)
- 47) Proctor S.G.: RFP-2347 (1975)
- 48) Kington J.B., Long J.L., Franchini R.C., Auge R.G., Brown J.C., Meyer F.G.: RFP-1875 (1973)
- 49) Kudera D.E., Guyer R.H.: RFP-1642 (1971)
- 50) Schulz W.W.: TID-26971 (1976)
- 51) Coleman J.S.: J. Inorg. Nucl. Chem., 3, 327 (1956)
- 52) Ryan V.A., Pringle J.W.: RFP-130 (1960)
- 53) Proctor S.G.: RFP-1857 (1972)
- 54) Proctor S.G., Conner W.V.: J. Inorg. Nucl. Chem., 32, 3699 (1970)
- 55) Coleman J.S., Armstrong D.E., Asprey L.B., Keenan T.K., LaMar L.E., Penneman R.A.: LA-1975 (1955)
- 56) Horwitz E.P., Bloomquist C.A.A., Harvey H.W., Cohen D., Basile L.J.: ANL-6998 (1965)
- 57) Horwitz E.P., Bloomquist C.A.A., Griffin H.E.: ANL-7569 (1969)

- 58) Kosyakov V.N., Chudinov E.G., Shvetsov I.K.: "Proc. of the Moscow Symposium on the Chemistry of Transuranium Elements" ed. Spitsyn V.I. and Katz J.J., J. I. N. C., Suppl. 1976, p.99 (1976)
- 59) Zamyatnin Yu.S., Klinov A.V., Rykov A.G.: Radiokhimiya, 19, 421 (1977)
- 60) Kooi J.: Radiochim. Acta, 5, 91 (1966)
- 61) Buijs K., Müller W., Reul J., Toussaint J.Cl.: EUR 5040 e (1973)
- 62) Buijs K., Maino F., Müller W., Reul J., Toussaint J.Cl.: "Proc. of the Moscow Symposium on the Chemistry of Transuranium Elements", J.I.N.C. Suppl. 1976, p.209 (1976)
- 63) Müller W.: Atompraxis, 15, 35 (1969)
- 64) Müller W., Maino F., Toussaint J.Cl.: EUR-4409 e (1970)
- 65) " 2 Halbjahresbericht 1971", KFK-1544 (1972)
- 66) " 1 Halbjahresbericht 1972", KFK-1656 (1972)
- 67) " 2 Halbjahresbericht 1972", KFK-1788 (1973)
- 68) " Jahresbericht 1973", KFK-1849 (1974)
- 69) Höhlein G., Born H.L.: Radiochim. Acta, 8, 172 (1967)
- 70) Höhlein G., Born H.J., Weinländer W.: ibid., 10, 85 (1968)
- 71) Berger R., Faudot G., Sontag R.: CEA-R-4471 (1973)
- 72) Koehly G., Hoffert F.: CEA-N-856, pp.307-319 (1967)
- 73) Koehly G., Madic C., Faudot G., Sontag R.: Bull. Inform. Sci. Technol., No 185, 31 (1973)
- 74) Koehly G., Jouan C., Tessot M.: CEA-N-1419, pp.318-322 (1971)
- 75) Ueno K., Hoshi M., Sagawa C.: J. Nucl. Sci. Technol., 14, 532 (1977)
- 76) Vaughan V.C.A.: Gmelin Handbuch der Anorganischen Chemie, Transurane A 1, 8 Aufl. Band 7b, p.315, 1974
- 77) Gourisse D.: Bull. Inform. Sci. Technol., No 185, 5 (1973)

## む　す　び

超プルトニウム元素の製造法とその群分離法への適応性等について述べてきた。そこでは、処理すべき照射済ターゲットが Pu の場合と Am, Cm の場合では分離法に違いが見られた。定性的に言って、前者では群分離法で参考になる点が多く見られるが、後者ではTPE燃料の消滅処理における照射済燃料の再処理プロセスに関係すると思われる面も多かった。

当面の目標は、群分離プロセスすなわち HLW の処理法の開発であるが、後者のTPE燃料の消滅サイクルに関連した化学プロセスの開発も重要かつ興味深い。

次の第Ⅱ編では、特に群分離プロセスにおいて有力な分離法と考えられる溶媒抽出法とイオン交換法について、それらのPu, Am(Cm)に対する基本的特性と、それらの高レベル廃液処理における使用例を述べ、最後に、各国で開発されつゝある各種の群分離プロセスを述べる。それらを通して、第Ⅰ編で述べたプロセスと群分離プロセスとの間の類似点、相異点がなお一層明瞭に出来ると思う。

## 謝　　辞

本稿執筆にあたり、原子炉化学部放射化学研究室、上野馨室長に多大の御指導と御協力をいただいた。こゝに深く謝意を表します。

## む　す　び

超プルトニウム元素の製造法とその群分離法への適応性等について述べてきた。そこでは、処理すべき照射済ターゲットが Pu の場合と Am, Cm の場合では分離法に違いが見られた。定性的に言って、前者では群分離法で参考になる点が多く見られるが、後者ではTPE燃料の消滅処理における照射済燃料の再処理プロセスに関係すると思われる面も多かった。

当面の目標は、群分離プロセスすなわち HLW の処理法の開発であるが、後者のTPE燃料の消滅サイクルに関連した化学プロセスの開発も重要かつ興味深い。

次の第Ⅱ編では、特に群分離プロセスにおいて有力な分離法と考えられる溶媒抽出法とイオン交換法について、それらのPu, Am(Cm)に対する基本的特性と、それらの高レベル廃液処理における使用例を述べ、最後に、各国で開発されつゝある各種の群分離プロセスを述べる。それらを通して、第Ⅰ編で述べたプロセスと群分離プロセスとの間の類似点、相異点がなお一層明瞭に出来ると思う。

## 謝　　辞

本稿執筆にあたり、原子炉化学部放射化学研究室、上野馨室長に多大の御指導と御協力をいただいた。こゝに深く謝意を表します。